

Antenne e propagazione - Teoria

Richiami di Campi Elettromagnetici

La base per la descrizione di un sistema elettromagnetico sono le equazioni di Maxwell:

$$\begin{aligned} \nabla \times \underline{E} &= - \frac{\partial \underline{B}}{\partial t} - \underline{M} \\ \nabla \times \underline{H} &= \frac{\partial \underline{D}}{\partial t} + \underline{J} \\ \nabla \cdot \underline{B} &= \phi \quad (\text{Sm}) \\ \nabla \cdot \underline{D} &= \rho_e \end{aligned}$$

utili per teorema di equivalenza!

Nota: principio di dualità:

$$\begin{aligned} -\underline{B} &\leftrightarrow \underline{D} \\ -\underline{M} &\leftrightarrow \underline{J} \end{aligned}$$

Condizioni al contorno (per imporre la continuità dei campi anche in discontinuità di mezzi):

$$\begin{cases} \hat{n} \times (\underline{H}_2 - \underline{H}_1) = \underline{J}_s \\ (\underline{E}_2 - \underline{E}_1) \times \hat{n} = \underline{M}_s \end{cases}$$

(ve ne sono anche altre ma non le presentiamo, come le altre 2, o quelle di Meixner!)

Di solito, di queste si considerano i casi:

$$\begin{cases} \nabla \times \underline{E} = -j\omega\mu\underline{H} - \underline{M} \\ \nabla \times \underline{H} = j\omega\epsilon\underline{E} + \underline{J} \\ \nabla \cdot \underline{H} = \frac{\rho_m}{\mu} \\ \nabla \cdot \underline{E} = \frac{\rho_e}{\epsilon} \end{cases}$$

Si ricordi che: $\frac{1}{\sqrt{\mu\epsilon}} = c$; $\mu \approx 4\pi \times 10^{-7} \frac{H}{m}$
 $\epsilon \approx 8,854 \text{ pF/m}$

$\lambda = \frac{c}{f} = \frac{2\pi}{k}$ κ "periodo spaziale": fissato un certo $t = t_0$, κ è la distanza tra due picchi dell'onda.

Problema della irradiazione

Il problema della irradiazione è: trovare \underline{E} a partire da:

$$\underline{L}(\nabla, j\omega) \cdot \underline{E}(\underline{r}, \omega) = -j\omega\mu \underline{J}_{eq}(\underline{r}, \omega) \quad (\text{problema di inversione dell'operatore})$$

dove $\underline{J}_{eq} = \underline{J} - \frac{1}{\mu} \nabla \times \underline{M}$ e $\underline{L}(\nabla, j\omega) = \nabla \times \nabla \times \underline{I} - k^2 \underline{I}$

Si trova che:

$$\underline{E}(\underline{r}) = -j\omega\mu \int_V \underline{G}(\underline{r} - \underline{r}') \cdot \underline{J}_{eq}(\underline{r}') dV, \quad \underline{G} = \left[\underline{I} + \frac{\nabla \nabla}{k^2} \right] \phi(\underline{r})$$

\underline{r} , a grande distanza, questo diventa:

$$\underline{E}(\underline{r}) \approx -j\omega\mu \int_V \underline{I}_{tr} \cdot \underline{J}_{eq}(\underline{r}') \frac{\exp(-jk r)}{4\pi r} dV$$

$$\underline{G} = \begin{bmatrix} A & 0 & 0 \\ 0 & B & 0 \\ 0 & 0 & B \end{bmatrix} \begin{bmatrix} J_r \\ J_\theta \\ J_\phi \end{bmatrix} \begin{matrix} A \propto \frac{1}{r} \\ B \propto \frac{1}{r^2} \end{matrix}$$

Vale l'approssimazione di campo lontano:

$$\frac{\exp(-jkR)}{R} \approx \frac{\exp(-jk(R - \underline{r}' \cdot \hat{R}))}{R}$$

dove $|P-P'| > R_F$, $R_F = \frac{2D^2}{\lambda}$

(distanza di Fraunhofer)

D dimensione caratter. del sistema di carica/ corrente!

In questo caso l'integrale diventa:

$$\underline{E}(P) = -j\omega\mu \frac{\exp(-jkR)}{R} \int_V \underline{J}_{eq}(P') \exp(jk\underline{r}' \cdot \hat{R}) dV$$

(integrale di irradiazione in campo lontano)

condizioni:

$$\begin{cases} r \geq 10\lambda \\ r > \frac{2D^2}{\lambda} \end{cases}$$

Nota: l'int. di irr. si può vedere come una sovrapposizione di effetti di onde sferiche: come il principio di Huygens-Fresnel (onda sviluppabile in "base di onde sferiche").

Teorema di equivalenza

Obiettivo: ridurre l'ordine di integrazione (volume \rightarrow superficie)

Correnti equivalenti: supponendo di non avere nella "potata" corpo dotto o magnetico, applicando le cond. d'antenna:

$$\begin{cases} \underline{M}_s = \underline{E} \times \hat{n} \\ \underline{J}_s = \hat{n} \times \underline{H} \end{cases}$$

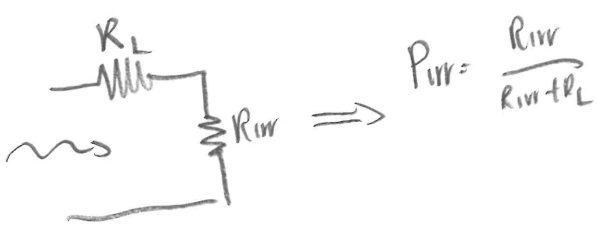


Adattamento:

$$\Gamma = \frac{z - z_0}{z + z_0} ; \text{SWR} : S = \frac{1 + |\Gamma|}{1 - |\Gamma|} ; \text{RLR} : |\Gamma|^2 = \frac{P_{\text{refl}}}{P_{\text{inc}}} \rightarrow P_{\text{refl}} = 20 \log_{10} |\Gamma|$$

(Return Loss Ratio)

Circuiti Tx antenna:



quadripolo:

$$G = \frac{\frac{dP}{ds}}{\frac{dP}{ds}|_{\text{isotropico}}} = \text{posso dire } ds = R^2 d\Omega ; \frac{dP}{ds}|_{\text{iso}} = \frac{P_e}{4\pi R^2} \Rightarrow \frac{dP}{R^2 d\Omega} = \frac{dP}{d\Omega} \frac{P_e}{4\pi}$$

P_e : potenza di alimentazione dell'antenna; $P_{irr} = \eta P_e$.

Direttività: stessa cosa, con P_{irr} : non tien conto di η !

$$G = \eta D$$

Nota: $G = G(\theta, \phi)$: completo! Di solito ho solo dei "tagli"!

Direttività normalizzata:

$D(\theta, \phi) = D_{max} d(\theta, \phi)$; so però che:

$$D(\theta, \phi) = \frac{\frac{dP}{d\Omega}}{\frac{dP}{d\Omega}|_{max}} = \frac{\frac{dP}{d\Omega}}{\frac{P_{irr}}{4\pi R^2}} = \frac{4\pi}{P_{irr}} \frac{dP}{d\Omega} \implies \frac{4\pi}{P_{irr}} \frac{dP}{d\Omega} = D_{max} d(\theta, \phi)$$

integro sull'angolo solido (4π steradiani):

$$D_{max} \int_{4\pi} d(\theta, \phi) d\Omega = \frac{4\pi}{P_{irr}} \int_{4\pi} \frac{dP}{d\Omega} d\Omega \quad \text{ma} \quad \int_{4\pi} dP = P_{irr}$$

$$C_s \quad D_{max} = \frac{4\pi}{\int_{4\pi} d(\theta, \phi) d\Omega} \quad \left(\text{ciò dimostra che più stretto è l'angolo del HPBW e più alto il guadagno} \right)$$

Formula magica del guadagno: Considero, per un'antenna direttiva con pol. lineare,

$$\theta_{3dB} \times \phi_{3dB} = \theta_1 \quad ; \quad \theta_{3dB} \times \phi_{3dB} = \theta_2$$

La porzione di angolo in steradiani è $\Delta\Omega = \theta_1 \theta_2$; la def. di direttività è:

$$D(\theta, \phi) = \frac{4\pi}{P_{irr}} \frac{dP}{d\Omega} \quad \text{se suppongo che la densità di potenza sia piatta rispetto all'angolo solido,}$$

$$\frac{dP}{d\Omega} = \frac{P_{irr}}{\Delta\Omega} \implies D_{max} = \frac{4\pi}{P_{irr}} \frac{P_{irr}}{\Delta\Omega} = \frac{4\pi}{\Delta\Omega} \approx \frac{31000}{\theta_1 \theta_2}$$

Altezza efficace:

$$V_o = |h_{eff}| I_{inc}$$

$$P_e = I_{AL} |h_{eff}| \quad \text{corrente di alimentazione:}$$



Antenna eff. / area eq. / G:

$$G = \frac{4\pi}{\lambda^2} A_{eq} \quad ; \quad A_{eq} = |h_{eff}|^2 \frac{Z_0}{4 R_g}$$

Quedapo: dà solo informazioni sulla potenza, non sulla direzione di E o H.

Questa sta nella polarizzazione.

Quando si parla di pol. lineare (p. es. verticale), si definisce la direzione del campo elettro rispetto al sistema dato \hat{x} l'asse orizzontale, \hat{y} quello verticale se $\hat{E} \equiv \hat{y}$ la pol. è lineare verticale, e così via. Ciò dà informazione sulla direzione dei campi.

Polarizzazioni:

- nominale: quello che "proiettiamo", quello che "vorremmo"
- incrociata: "spurio": componente indesiderata. Se voglio p. es. una pol. verticale, avrà una componente spuria orizzontale.

Antenne ad apertura

Ritorno l'espressione in far field dell'integrale di irradiazione:

$$\underline{E} = -j \frac{Z_0}{2\lambda} \frac{\exp(-jkR)}{R} \int_A \underline{J}_t \exp(jk \underline{r}' \cdot \hat{R}) dS$$

Note: \underline{r}' è il punto che individua una sorgente nel volume (o, in questo caso, nella superficie: l'integrale si estende in Δ , non in V), R il punto potenziato,

$$\underline{R} = \underline{P} - \underline{P}'$$

Risolveremo sto integrale: considero, come elemento di superficie, dS , quello cartesiano:

$$dS = dx dy$$

considero un'apertura su $z = \phi$, $\underline{r}' \in \mathbb{R}^3$, $z = \phi$.

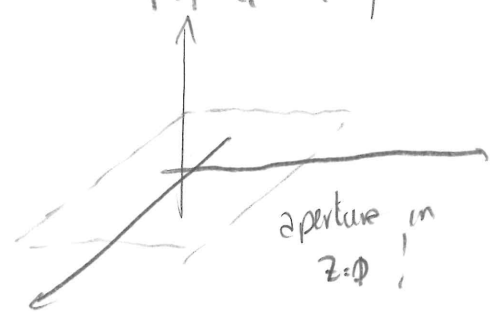
$$\underline{r}' = (x, y, \phi) = x \hat{x} + y \hat{y} + \phi \hat{z}$$

Per quanto riguarda \hat{R} :

$$\hat{R} = \hat{x} \sin \vartheta \cos \varphi + \hat{y} \sin \vartheta \sin \varphi + \hat{z} \cos \vartheta$$

Posso calcolare il prodotto:

$$\underline{r}' \cdot \hat{R} = k_x x \sin \vartheta \cos \varphi + k_y y \sin \vartheta \sin \varphi \triangleq k_x x + k_y y$$



Il PEG allora è:

$$P_e = \int_A \underline{j}_e \exp(j(k_x x + k_y y)) dx dy = \int_{S_2} \{ \underline{j}_+ \}$$

Devo integrare sull'apertura; di tutte le densità di corrente \underline{j}_e considero solo quelle superficiali! \underline{j}_s ! Applico su questo il th. di equivalenza:

$\begin{cases} \underline{j}_s = \hat{n} \times \underline{H} \\ \underline{M}_s = \underline{E} \times \hat{n} \end{cases}$ Lo applico in forme "PMC": solo correnti elettriche;

$$\underline{j}_s = 2 \hat{n} \times \underline{H} \quad \underline{H} = H_x \hat{x} + H_y \hat{y}$$

$$\hookrightarrow \hat{n} \times \underline{H}, \hat{n} = \hat{z}, \hat{z} = \begin{vmatrix} \hat{x} & \hat{y} & \hat{z} \\ 0 & 0 & 1 \\ H_x & H_y & 0 \end{vmatrix} = \hat{x}(-H_y) - \hat{y}(-H_x) = \underline{H_x \hat{y} - H_y \hat{x}}$$

Dato:

$$g_x \hat{x} = \int_{S_2} \{ H_{s,x} \}; \quad g_y \hat{y} = \int_{S_2} \{ H_{s,y} \}, \quad \text{no:}$$

$$\underline{E} = E_\theta \hat{\theta} + E_\phi \hat{\phi}$$

$$\text{nota: } \begin{aligned} \hat{x} &= \sin\theta \cos\phi \hat{r} + \cos\theta \cos\phi \hat{\theta} - \sin\phi \hat{\phi} \\ \hat{y} &= \sin\theta \sin\phi \hat{r} + \cos\theta \sin\phi \hat{\theta} + \cos\phi \hat{\phi} \\ \hat{z} &= \cos\theta \hat{r} - \sin\theta \hat{\theta} \end{aligned}$$

no:

$$g_x \hat{y} - g_y \hat{x} = g_x (\sin\theta \sin\phi \hat{r} + \cos\theta \sin\phi \hat{\theta} + \cos\phi \hat{\phi}) - g_y (\sin\theta \cos\phi \hat{r} + \cos\theta \cos\phi \hat{\theta} - \sin\phi \hat{\phi})$$

$\hookrightarrow E_\theta$ (raccolgo ciò che dipende da $\hat{\theta}$):

$$E_\theta = \hat{\theta} \cos\theta (g_x \sin\phi - g_y \cos\phi)$$

(Vedi "Coordinate Curvilinee", papers > Elettromagnetismo)

$$E_\phi = g_x \cos\phi + g_y \sin\phi$$

Questa usando un PMC; si può far lo stesso con un PEC.

Polarizzazione secondo Ludwig

Problema: identificare dei vettori \hat{p} e \hat{q} per la polarizzazione

Idea 1: $\hat{p} = \hat{y}$, $\hat{q} = \hat{x}$; funzione per $z = \phi$, perché $r \equiv r' (z = \phi)$; se però $z \neq \phi$, abbiamo $\sin \vartheta \neq 0$, nelle espressioni dei versori (c. curvilinee sferiche):

$$\hat{q} = \sin \vartheta \sin \varphi \hat{r} + \cos \vartheta \sin \varphi \hat{\vartheta} + \cos \varphi \hat{\varphi}$$

se $\sin \vartheta \neq 0$ (cosa che si ha per $z \neq \phi$), si ha una componente di polarizzazione lungo \hat{r} , cose insensata.

Idea 2: $\hat{p} = \hat{r}'$; $\hat{q} = \hat{\varphi}$ (versori dove l'asse polare è y)

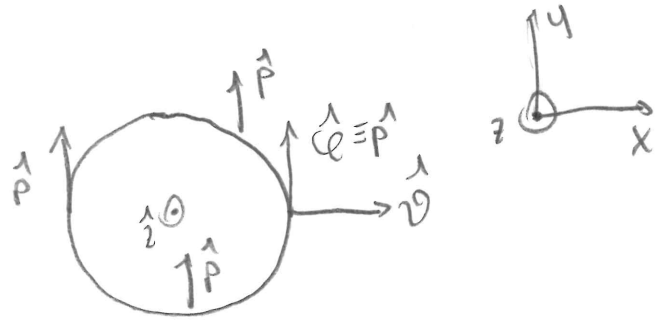
Non funzione per il piano xy per $\varphi = \pm \pi/2$: si hanno discontinuità.

Idea 3: la misura di un'antenna si effettua ruotando una sonda disposta secondo la p nulla > incrementata in piani a $\varphi = \text{costante}$; in realtà di solito si fissa la sonda e ruota l'antenna under test allora a y , incrementando di $\Delta \varphi$, si ricava:

$$\begin{cases} \hat{p} = \cos \varphi \hat{\varphi} + \sin \varphi \hat{r}' \\ \hat{q} = -\sin \varphi \hat{\varphi} + \cos \varphi \hat{r}' \end{cases} \quad \left(\begin{bmatrix} \hat{p} \\ \hat{q} \end{bmatrix} = \begin{bmatrix} \cos \varphi & \sin \varphi \\ -\sin \varphi & \cos \varphi \end{bmatrix} \begin{bmatrix} \hat{\varphi} \\ \hat{r}' \end{bmatrix} \right)$$

$\vartheta = \pi$ è un punto problematico.

Ora si ha così: sempre verso "l'alto"!



ALP

Separabilità delle variabili

Il guadagno, o comunque una funzione $f(\vartheta, \alpha)$ a esso associata, non è in generale a var. separabili, ma si ha la certezza che essa sia periodica: dopo 360° di rotazione di ϑ , essa torna "come prima".

Fisso $\vartheta = \vartheta_0$, e faccio variare α : posso fare uno "sviluppo per serie" in seno di Fourier:

$$f(\vartheta_0, \alpha) = \sum_{n=0}^{\infty} [a_n \cos(n\alpha) + b_n \sin(n\alpha)]$$

Sblocco ϑ : per ogni ϑ si avrà una diversa serie di Fourier, sempre di questa forma, ma con coeff. diversi: dipendenti da ϑ :

$$\hookrightarrow f(\vartheta, \alpha) = \sum_{n=0}^{\infty} [a_n(\vartheta) \cos(n\alpha) + b_n(\vartheta) \sin(n\alpha)]$$

se scelgo un opportuno sistema di riferimento, posso annullare uno dei coeff., ottenendo:

$$f(\vartheta, \alpha) = \sum a_n(\vartheta) \cos(n\alpha) \xrightarrow{\text{traccio al 1° ordine}} f(\vartheta, \alpha) \approx a_1(\vartheta) \cos \alpha$$

Questa è un'approssimazione che permette di vedere direttamente e/o meglio questo, con maggiore semplicità.

Guadagno di un'apertura

È noto che: $\text{max} \text{ Dmax}$

$$D_{\text{max}} = \frac{4\pi}{\int_{-4\pi}^{4\pi} |d(\vartheta, \alpha)| d\alpha}$$

L'integrale può essere problematico; nel nostro attuale caso però esso può essere calcolato solo sull'apertura: non devo calcolare il flusso sulla sfera di ∞ !

$$P_{\text{irr}} = \int_A \frac{dP}{ds} ds$$

Ricorda che:
$$D_{\text{max}} = \frac{\left. \frac{dP}{d\Omega} \right|_{\text{max}}}{\frac{P_{\text{irr}}}{4\pi}}$$

ma, dalla teoria, $\frac{dP}{ds} = \frac{|E|^2}{Z_0}$ (da Poynting) $\left(\frac{dP}{ds} = \frac{dP}{R^2 d\Omega} \right) \hookrightarrow \frac{dP}{d\Omega} = R^2 \frac{dP}{ds}$

$$\rightarrow D_{max} = \frac{\frac{dP}{ds}|_{max}}{\frac{P_{irr}}{4\pi}} = 4\pi R^2 \frac{\frac{|E_{max}|^2}{2\epsilon_0}}{\int_A \frac{dP}{ds} ds}$$

Dal modulo quadro dell'integrale di irradiazione, si sa anche che: (spesso $\exp(-jkr)$)

$$|E| = \frac{z_0}{2\lambda R} \left| \int_A 2 \frac{E_{\perp}^1}{r^2} ds \right| \quad \text{infalli, } J = \hat{n} \times H, \quad H = \left(\frac{1}{z_0}\right) \hat{n} \times E$$

\downarrow
 E_A , ci interessa la sola apertura!

$$\rightarrow \frac{\frac{1}{z_0} 4\pi R^2 \left| \int_A 2 E_{\perp} ds \right|^2}{\frac{1}{z_0} \int_A |E_A|^2 ds} = D_{max} = \frac{4\pi}{\lambda^2} \frac{\left| \int_A E_A ds \right|^2}{\underbrace{\int |E_A|^2 ds}_{A_{eq}}}$$

Apertura rettangolare

Ipotesi fondamentale: campo non nullo solo all'interno dell'apertura rettangolare.

Si ha il seguente integrale:

$$f_{xy} = \int_{-\frac{a}{2}}^{\frac{a}{2}} \int_{-\frac{b}{2}}^{\frac{b}{2}} E_{xy} \exp(jk_x x + jk_y y) dx dy$$

Altre ipotesi: campo sull'apertura (illuminazione) a variabili separabili:

$$E(x,y) = \sum_n E_{xn}(x) E_{yn}(y)$$

Le E_n è il prodotto delle due trasformate, grazie alla separabilità delle variabili.

Caso facilmente risolvibile: illuminazione uniforme (E costante sull'apertura)

Nomenclature: la dimensione spaziale massima, il "confine" della corrente, è $x = \frac{a}{2}$ o $y = \frac{b}{2}$;

come nota all'esponente si ha $k_x x + k_y y$; $k_x x_{max} = k_x \frac{a}{2} = \frac{2\pi}{\lambda} \frac{a}{2} \sin \theta \cos \phi$; definisco

$$u \triangleq \frac{\pi}{\lambda} a \sin \theta \cos \phi \quad \text{ma, sull'asse } x, \phi = 0, \cos \phi = 1: \text{ per il taglio } \phi = 0, u = \frac{\pi}{\lambda} a \sin \theta.$$

$$\text{Dualmente, } v \triangleq \frac{\pi}{\lambda} b \sin \theta \sin \phi \quad (\sin \phi = 1 \text{ per taglio } \phi = \frac{\pi}{2}), \quad u \triangleq k_x x \frac{a}{2} \Big|_{\phi = 0}$$

Nel caso di illuminazione uniforme si fa la trasformata di Fourier di un campo costante sull'apertura nullo altrove: una porta! La trasformata è ben nota ed è una sinc:

$\mathcal{F}\{\text{rect}(u)\} = \frac{\sin(u)}{u}$ e stessa cosa per "l'asse v".

Risolvendo equazioni $\frac{\sin u}{u} = c$, c per esmp uguale a $\frac{\sqrt{2}}{2}$, si può trovare, noto a, 0-3dB, poi si può vedere che il 1° lobo secondario vale -13dB.

Normalmente però l'illuminazione non è uniforme: quello che si fa di solito è illuminare con campi più bassi ai bordi che al centro dell'apertura. Esempio Comune:

$\frac{E(x)}{E(0)} = \cos\left(\frac{\pi x}{a}\right)$, $|x| \leq \frac{a}{2}$ [Comune: è l'autofunzione del TE₁₀ in guide rettangolare!]

Trasformata del cos(), quindi 2 delta, convoluta per quella della porta.

La trasformata di questa è ancora nota. Riassumendo, però:

- il lobo principale è più largo (apertura meno direttiva dunque che quest'ultima meno)
- zeri / lobi spostati "più avanti"
- 1° lobo secondario: -23dB !!!

↳ Tapering: se faccio in modo che il campo su un'apertura è più basso ai bordi che al centro, ho (ragionamento da matematico) che la trasformata di Fourier è di un qualcosa di "più stretto" (la trasformata è più stretta), dunque la trasformata è più larga => lobo principale più largo, dunque meno direttivo e meno lobi, dal momento che la potenza totale non cambia. Questo è il Tapering.

$t = -20 \log_{10} \left(\frac{E(\frac{a}{2})}{E(0)} \right)$ [è usualmente positivo]

t: collegato all'area efficace: minore è il campo ai bordi (meno uniforme la distribuzione), minore l'area equivalente.

Distribuzioni di campo "bore":

- coseno sul predistallo: $f(x) = t + (1-t) \cos\left(\frac{\pi}{a} x\right)$ [coseno o \cos^2 o \cos^4]
- distribuzione di Hamming: $f(x) = t + (1-t) \cos^2\left(\frac{\pi}{a} x\right)$ [particolare compromesso]

↳ per t=0,14, lobo a -43dB, v relativamente alta

Errore di fase

Per vari motivi, vi può essere un termine immaginario variabile funzione di x nell'esponente: Escludiamo: $E_0 \exp(j\omega t)$, $\omega(x)$ funzione "errore di fase";
è un termine che modifica la fase della funzione trasformata, creando a volte seni fastidiosi. Infatti:

$$F(\omega) = \frac{1}{2} \int_0^1 f(x) \exp(-j\psi(x)) \exp(j\omega x) dx$$

↳ questo termine "modifica il kernel della trasformazione".

Errore lineare: $\psi(x)$ è una retta. È come introdurre, in terra dei sardi, un "ritardo in frequenza", ed è così che capita: sposta la "u" del massimo, dunque $\omega_{max} \neq \omega^{\circ}$!

Errore quadratico: molto più difficile da studiare in forma chiusa (se non per errori piccoli, per cui si possono usare sviluppi di Taylor o simili), ma il risultato

- risultato è:
- 1) Abbassamento del massimo
 - 2) Riempimento di minimo (non più zero), unidirezionale lobi, spostamento
- Centro di fase \Rightarrow fastidioso. Da evitare.

Ciò capita perché per esempio una tromba ha un fronte d'onda che avanzando si incurva.

Apertura circolare

Si era detto per un sistema cartesiano, ho:

$$EA \propto \int_A f(x,y) \exp(j(k_x x + k_y y)) dx dy$$

Ora il sistema ha simmetria cilindrica, dunque conviene usare coordinate piane:

$$\begin{cases} x = \rho \cos \phi' \\ y = \rho \sin \phi' \end{cases}$$

dove ϕ' è l'angolo considerato nel piano dell'apertura: il "phi dello sorgenti".

$$\begin{aligned} &\hookrightarrow \int_A E \exp[j(\rho \cos \phi' k \sin \theta \cos \phi + \rho \sin \phi' k \sin \theta \sin \phi)] \rho d\rho d\phi' \\ &\hspace{15em} \hookrightarrow \text{Jacobiano} \\ &= (\text{per formule di addizione}) = \int_A E \exp[j\rho k \sin \theta \cos(\phi - \phi')] \rho d\rho d\phi' \end{aligned}$$

Definisco anche qua una "u", diversa da prima:

$$u \triangleq k a \sin \vartheta \quad (\text{dove } a \text{ è il raggio della apertura circolare!})$$

introduco inoltre un cambio di variabili (normalizzato):

$$r \triangleq \frac{\rho}{a} \Rightarrow \rho = r a \quad ; \quad d\rho = a dr$$

così che: l'integrale diventa (variabili separabili)

$$\hookrightarrow a^2 \int_0^1 \int_0^{2\pi} \exp[j a k r \sin \vartheta \cos(\varphi - \varphi')] r dr d\varphi' = a^2 \int_0^1 \int_0^{2\pi} \exp[j u \cos(\varphi - \varphi')] r dr d\varphi'$$

Ipotesi finale: distribuzione a simmetria assiale: indipendente da φ'

$$\hookrightarrow \int_0^{2\pi} \exp[j u \cos(\varphi - \varphi')] d\varphi' = 2\pi J_0(ur) \quad \left[\text{Appendo A.15 me da trovare/dimostrare!} \right]$$

$$\Downarrow E = 2\pi a^2 \int_0^L r J_0(ur) dr$$

Nel caso di illuminazione uniforme, per le proprietà delle funzioni di

Bessel, si ha:

$$F(u) = 2\pi a^2 \frac{J_1(u)}{u}$$

Nel caso di illuminazione non uniforme, si ha:

$$F(u, \varphi) = 2\pi a^2 \int_0^L f(r) r J_0(ur) dr \quad \text{Trasformata di Fourier-Bessel}$$

Una funzione "famosa" per le aperture circolari "taperate" è:

$$i(r) = (1-r^2)^p \quad \left[\text{Bale da trasformare secondo FBT} \right]$$

$$\hookrightarrow \text{FBT} \{ i(r) \} = (\text{si dimostra}) = \pi a^2 \frac{2^{p+1} p! J_{p+1/2}(u)}{u^{p+1/2}} \quad \begin{matrix} \text{aumenta } p, \\ \text{aumenta il tapering} \end{matrix}$$

Nota:

- nelle aperture rettangolari, si hanno lobi secondari elevati sugli assi x e y (del riferimento considerato), più bassi da altre parti; questo si vede valutando lo sinc su varie zone del piano (u,v)
- nelle aperture circolari, la potenza è distribuita in modo più uniforme, grazie all'ipotesi di simmetria assiale: lobi più bassi e più distribuiti, più uniformi.

Nota: aperture circolare e distribuzioni $f(r)$ generiche

Idea: parti da

$$F(u) = \int_0^1 f(r) J_0(ur) r dr$$

use: cambio di variabile $x = 1 - r^2$

$\hookrightarrow f(x) \approx \sum_{n=0}^N a_n x^n$ e la sviluppo in polinomi. $N=5$ per f molto ballerina. $N=2$ per funzioni smooth

$\hookrightarrow f(r) \approx \sum_{n=0}^N a_n (1-r^2)^n \Rightarrow$ sviluppo in base di 'ste funzioni!

$$\hookrightarrow F(u) \approx \int_0^1 \sum_{n=0}^N a_n (1-r^2)^n J_0(ur) r dr = \sum_{n=0}^N a_n \int_0^1 (1-r^2)^n J_0(ur) r dr$$

Contro di fase

Contro di fase: contro dell'onda sferica che parte dall'apertura.

Funzioni di campo irradiati un po' so un po' LO: considero solo il lobo principale per star sicuro di non aver sbagliato di fase.

Un'onda sferica ha modulo che si attenua come $\frac{1}{r}$, fase che va come $\exp(jkr)$, dove r è il punto considerato. Data per esempio tromba rettangolare, cosa si ha: l'apertura sta su di una porzione di piano, non di sfera;

la superficie a fase costante invece è una sfera. Questo significa che sull'apertura la fase non è costante: e per esempio il centro dell'apertura appartiene a una certa sfera (sup a fase costante), un altro punto NO, dal momento che un piano è una superficie diversa da una sfera!

La differenza tra punto dell'apertura e punto appartenente alla sfera a fase costante è l'errore di fase.

Anticipo: più la tromba è lunga, più la sfera sarà a raggio lungo, quindi più sarà "approssimabile a un piano"; per questo l'errore di fase è minore.

L'errore è quadratico! Infatti:

$$r = \sqrt{x^2 + L^2} \quad \text{per Pitagora.}$$

Vogliamo determinare, per un'apertura, il centro di fase: la zona per cui la fase resta circa costante.

Soluzione: considerare un punto potenziale NON nel piano $z = \phi_1$ ma in un altro punto: r' , vettore che descrive l'indice le sorgenti, sarà!

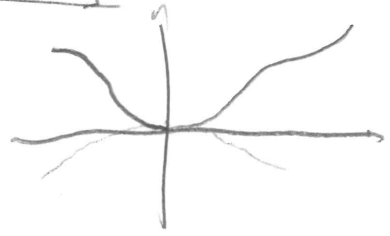
$$r' = x \hat{x} + y \hat{y} + d \hat{z}$$

$$\hookrightarrow Kr' \cdot \hat{r} = K_x x + K_y y + K d \cos \theta$$

Questo è ciò che si ottiene spostando il nostro vettore r' di "d" in z .

Ci è permesso di definire un riferimento di fase tale per cui si ha:

$$\underline{E} = \underline{E}_0 \exp(jk d \cos \theta) \xrightarrow[\downarrow \text{fase}]{\text{combo nf.}} \underline{E} = \underline{E}_0 \exp[jk d (\cos \theta - 1)]$$



Così che se $\theta = \phi_1$ l'incremento di fase è nullo.

Il fatto di aver introdotto questo "d" introduce una funzione di fase moltiplicativa (moltiplicazione per significa sommare) che COMPENSA l'andamento dell'errore quadratico.

Cosa si fa? Si sceglie un d tale da compensare la curvatura intrinseca di \underline{LE} richiedendo di non avere variazioni di fase su un arco α , dunque su un arco θ (per es. $\theta = \alpha/2$) - salto di θ_0 (per es. $\theta_0 = \theta - \alpha/2$)

Quindi:

$$\frac{d}{\lambda} = \frac{\phi_0}{2\pi [\cos \theta_0 - 1]} \quad \text{approssimo il coseno con } 1 - \frac{\theta^2}{2} \Rightarrow \frac{\phi_0}{2\pi \left[-\frac{\theta_0^2}{2} - 1 \right]} = \frac{\phi_0}{\pi \theta_0^2}$$

ALMO???

Tromba ottima

Più l'apertura è larga, più aumenta il suo guadagno ma, a parità di L , aumenta anche l'onore di fase (quadratico), che riduce il guadagno. Si ha:

$$G = 10 \left[\log \left(0,81 \times 4\pi \frac{ab}{\lambda^2} \right) \right] - \underbrace{L_e - L_h}_{\text{Losses}}$$

dove $L_e \approx 16 \left(\frac{\delta}{\lambda} \right)^2, \frac{\delta}{\lambda} \approx 0,7$
 $L_h \approx 7,2 \left(\frac{\delta}{\lambda} \right)^2, \frac{\delta}{\lambda} \approx 0,6$
(in dB)

(formule ottenute per interpolazione)

↳ perdita quadratiche rispetto a δ !

Tromba ottime: la tromba con massimo guadagno, a parità di lunghezza.

Si dimostra (abbastanza empiricamente) che la tromba ottimale si ha per:

$$b = \frac{3\lambda}{8}; \quad t = \frac{\lambda}{4} \quad \Rightarrow \quad \begin{cases} a = \sqrt{3\lambda l_n} \\ b = \sqrt{2\lambda l_e} \end{cases}$$

perdita 2 dB rispetto al guadagno senza onore di fase.

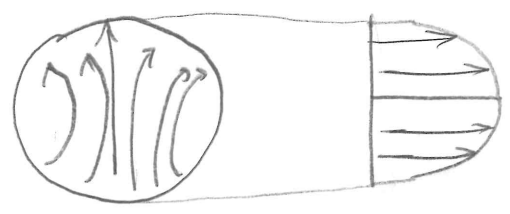
Tromba a fascio simmetrico: imponendo i 2 dB uguali, si ricava $\frac{a}{b} \approx \frac{1,2}{0,18} = 6,6 \approx \frac{4}{3}$

Nota: $l_e \approx L_e, l_h \approx L_h$. Dimostrato: posso usare Pitagora con:

$$l^2 = \left(\frac{b}{2}\right)^2 + (l - \delta)^2 = \frac{b^2}{4} + l^2 - 2l\delta + \delta^2 \Rightarrow l \approx \frac{b^2}{8\delta} \approx \frac{b^2}{8L} !!!$$

Trombe coniche

ripetendo anche la monomodalità, l'ampiezza del campo elettrico è ora non costante sul piano E; il modo fondamentale è un TE₁₁



distribuzione "toroide": una J_1 (funzione di Bessel) in questo caso l'onore di fase è uguale nei 2 piani: $S = \frac{D^2}{8L\lambda}$

• S è trascurabile ($L \frac{1}{10}$), $\gamma \approx 0,83 \hookrightarrow G_0 = 20 \log_{10} \left(\frac{\pi D}{\lambda} \right) - 0,8$

con onore più pronunciato, si ha un loss;

$$L \approx 13,8 \left(\frac{\delta}{\lambda} \right)^2$$

In realtà con l'onore di fase, più che riduce il guadagno, aumentano i lobi.

Impossibilità di avere il diagramma simmetrico: un cerchio è e resta tale.
Si può fare la tromba ottima invece.

Simmetria e polarizzazione.

La simmetria è importante perché permette di ridurre la X-polarization! Si ha che:

$$\begin{bmatrix} \hat{p} \\ \hat{q} \end{bmatrix} = \begin{bmatrix} \cos\theta & \sin\theta \\ -\sin\theta & \cos\theta \end{bmatrix} \begin{bmatrix} \hat{e} \\ \hat{h} \end{bmatrix}$$

La 2.104 è immutata a θ

Si ha:

$$\underline{E} = \underline{E}_0 \left[F_H(\theta) \cos\theta \hat{e} + F_E(\theta) \sin\theta \hat{h} \right] \quad \underline{E} \cdot \hat{q} = \sin\theta \cos\theta [F_H(\theta) - F_E(\theta)]$$

Faccio il prodotto con \hat{p} e \hat{q} :

Se $F_E = F_H$, ossia se si ha simmetria in modulo e fase, ho base pol. incrociata!

Ciò può essere utile per avere "multipolarizzazione".

Questo vuol dire: trasmettere informazione sia nella polarizzazione verticale, sia per quella orizzontale, e le 2 "non interferiscono"!! Ma le 2 devono essere

"ben disaccoppiate": non devono esserci polarizzazioni incrociate che sarebbero delle spurie rispetto all'informazione.

Per avere ciò, servirebbe avere circa lo stesso tapering nei 2 piani.

Trombe bimodale

Bimodale: che innesci 2 modi. Partiamo dalla propagazione guidata:

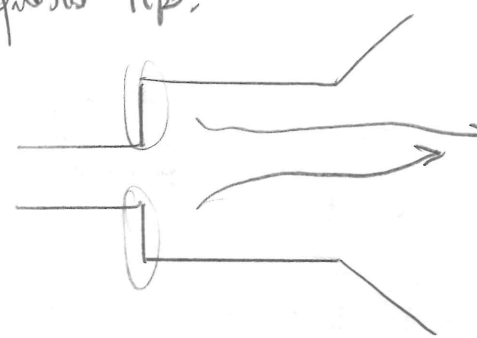
$$\nabla_{\perp}^2 \phi + k_{bi}^2 \phi = \Phi$$

applicando le condizioni al contorno, si possono ottenere le autofunzioni modali.

- Per i modi TM_n è di Dirichlet: $\phi(\omega) = 0$
- Per i modi TE_n di Neumann: $\frac{d\psi}{dy} = 0$

Dei modi superiori saremo interessati a combinare il TM_{11} , che però non è il primo modo superiore al TE_{11} (ciò si può vedere dalle fumate di Bend e dai loro seni).

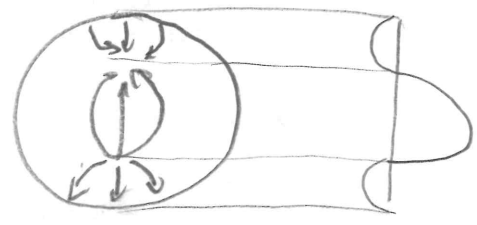
Prime vediamo come eccitarlo, poi perché ci interessa. L'idea è usare una discontinuità di questo tipo:




idea: per realizzare un modo TM si deve ridurre un gradino brusco nella guida d'onda, perché si ha una parete metallica (2) perpendicolare all'asse z ; qui, si richiede una componente assiale del campo elettrico, dunque un modo TM .
 Il fatto che il primo indice sia ancora L indica che si ha una variazione di sezione, ma non

si simmetria nella guida (medesima variazione azimutale).
 si ha una discontinuità radiale (varia il ρ), ma non azimutale, quindi, dalla teoria, m non può variare, e si, ma il primo modo è "m=1" dopo il TE_{11} è il TM_{11} !!!

(Vedi Hatakauts p.11) $\begin{cases} TE_{mn} \\ TM_{mn} \end{cases}$
 Perché tutto ciò? Beh, il TM_{11} ha una topografia di campo del tipo:



Sommandola alla TE_{11} con un certo peso (20/14), si ottiene:  distribuzione topografica circa quanto quella nell'ellisse (fino a +/- 10 dB di lbb).

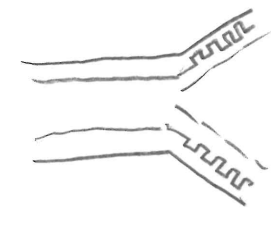
Come si fa? 1) Primo si introduce una restrizione graduale
 2) Si introduce uno spazio per l'allineamento dei 2 modi
 3) Si fa uno step per sopprimere il TE_{11} (solo propagare)
 Questo, perché in un solo gradino sarebbe troppo elevato, e le kT troppo diverse.



Tromba corrugata

$L \gg$ superficie interna è, per l'aperta corrugata.

Si hanno condizioni al contorno particolari essendo il contorno molto complicato; possiamo però trovare delle "condizioni al contorno macroscopiche", che permettono



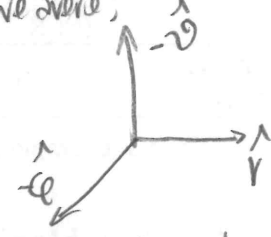
di avere condizioni "generalizzate" valide su tutta la superficie di separazione tra i solchi e spazio esterno.

Si può dimostrare che in questa struttura non sono possibili modi solo TE o solo TM, bensì solo ibridi: non completamente TE e non TM.

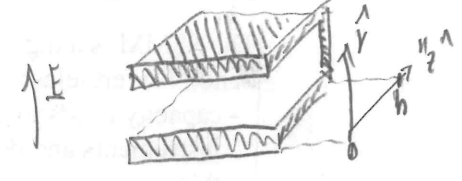
Per l'analisi che si vuole effettuare, dato g lo spessore di ciascun dente, g la distanza tra 2 denti, h l'altezza di ciascun dente, si deve avere:



- $g \ll \lambda$ (spessore dente \ll lunghezza d'onda)
- $g \ll \lambda$ (largh. dente $\ll \lambda$)
- si ha $|1/5 \div 1/6|$



Ecc = Φ : infatti, anche dentro ai solchi, si ha una "guida a forze pure parallele", con $g \ll \lambda$, dunque sotto taglio! Per la proprietà delle guide "planari", si ha dunque un "corto circuito" anche nei solchi.



ϵ_r : la lunghezza dei solchi è ∞ , e, guardando il campo elettrico, o meglio la sua componente verso \hat{y} , vediamo che possiamo ragionare come se avessimo una guida (su una ipotetica direzione longitudinale \hat{z} , che nel disegno della guida è tipo \hat{y}), caricata su uno short a distanza h (lunghezza \hat{z}). Vale però una relazione di impedenza:

$E_r = Z_T H_{\phi}$

Possiamo calcolare Z_T con il modello della linea di trasmissione in questo "guida":

$Z_T = j Z_0 \tan(kh)$

Queste condizioni sono anisotrope (dipendono dalla direzione, o secondo di essa cambiano), c'è una condizione di "relazione di impedenza superficiale", a differenza che nelle guide, dove no "di corto circuito". Queste danno vita a modi ibridi.

Ma prendendo l'eq. di Helmholtz, passandola in coordinate sferiche, applicando le cond. al contorno, per ϕ si hanno seni/coseni, per ψ l'equazione sferica di Bessel, per χ l'equazione di Legendre.

Nota: vengo fuori funzioni di Hankel, che sono combinazioni lineari delle Bessel (la Y^n , la f. di Neumann, non poteva esserci nella guida perché diverge per $r \rightarrow 0$ momento nullo), hanno un forte significato: la I^n e la Y^n si comportano come onde cilindriche rispettivamente progressive e regressive; se le Hankel derivano da un'eq. di Laplace/Helmholtz sferica, steno discorso con onde sferiche.

Tutto ciò deriva da eq. differenziali ma, se per le condizioni è tutto nullo al bordo, tutta la soluzione è nulla; non si hanno solo modi TE o TM.

Combinando i 2, con un peso $\gamma = 1$, $E_{\theta} = E_{\theta e}$; diagramma di modazione teoricamente simmetrico! L'integrale si fa solo in r .

Per avere $\gamma = 1$, il "modo ibrido bilanciato", $j\beta \tan kh$ deve andare a ∞ : vedi (2.116). ($\gamma = 1$). $\Rightarrow h = k/4, \frac{2\pi}{\lambda} \frac{\lambda}{4} = \frac{\pi}{2}, \tan(\frac{\pi}{2}) = \infty$: così è il modo ibrido bilanciato! $h = \frac{\lambda}{4}$.

Buonissima simmetria e, se progettati adeguatamente i denti, banda larga! (e dall'adattamento)
 supportabile.

Nota: impossibilità modo TEM, perché per questo la struttura potrebbe supportare, la guida circolare non potrebbe eccitare (parte da indici azimutali $m \geq 1$).

Optica Geometrica

Metodo approssimato di studio di fenomeni elettromagnetici basato su ipotesi di λ infinitesimo (o enorme, nel caso di campo vicino)

Oltre all'ipotesi in λ , se ne hanno altre 2:

- superfici di fase per E e H identiche
- ampiezze dei campi lentamente variabili rispetto alla fase (tenendo λ preso, per minimi spostamenti spaziali la fase varia di centinaia di gradi)

dunque:

$$\underline{E}(\underline{r}) = \underline{E}_0(\underline{r}) \exp(-jk_0 \psi) \quad \psi \text{ è la superficie di fase,}$$

$$\underline{H}(\underline{r}) = \underline{H}_0(\underline{r}) \exp(-jk_0 \psi) \quad k_0 = \frac{2\pi}{\lambda_0} = \frac{\omega}{c}$$

Le eq. del rotore sono:

$$\begin{cases} \nabla \times \underline{E} = -j\omega\mu_0 \underline{H} \\ \nabla \times \underline{H} = j\omega\epsilon_0 \underline{E} + \underline{J}_{cond} \end{cases} \quad \text{sostituisco in una:}$$

$$\nabla \times \underline{E} = \nabla \times (\underline{E}_0 \exp(-jk_0 \psi)) = \nabla \times \underline{E}_0 \exp(-jk_0 \psi) + \underline{E}_0 \times \nabla \exp(-jk_0 \psi)$$

$$= \exp(-jk_0 \psi) \nabla \times \underline{E}_0 + -jk_0 \exp(-jk_0 \psi) \underline{E}_0 \times \nabla \psi = -j\omega\mu_0 \underline{H}$$

Allora:

$$-j\omega\mu_0 \underline{H}_0 \exp(-jk_0 \psi) = \exp(-jk_0 \psi) [\nabla \times \underline{E}_0 - jk_0 \underline{E}_0 \times \nabla \psi]$$

Se vale l'ipotesi di variazioni di campo quasi nulla, $\nabla \times \underline{E}_0$, collegato alla densità di \underline{E}_0 nelle varie direzioni, $\epsilon \approx \phi$:

$$\rightarrow j\omega\mu_0 \underline{H}_0 \approx -jk_0 \underline{E}_0 \times \nabla \psi \rightarrow \underline{E}_0 \times \nabla \psi = \frac{\omega\mu_0}{k_0} \underline{H}_0$$

All'istesso modo si trova la densità:

$$\nabla \psi \times \underline{H}_0 - \frac{\omega\epsilon}{k_0} \underline{E}_0 \approx \phi$$

da cui:

$$\underline{H}_0 = \frac{k_0}{\omega\mu} \nabla \psi \times \underline{E}_0 \rightarrow \nabla \psi \times (\nabla \psi \times \underline{E}_0) \frac{k^2}{\omega^2 \mu \epsilon} - \underline{E}_0 = \phi$$

MA:

$$\underline{A} \times \underline{B} \times \underline{C} = \underline{B}(\underline{A} \cdot \underline{C}) - \underline{C}(\underline{B} \cdot \underline{A}) \rightarrow \underbrace{(\underline{E}_0 \cdot \nabla \psi)}_{\approx \phi} \nabla \psi \underline{E}_0 - |\nabla \psi|^2 \underline{E}_0 + n^2 \underline{E}_0 = \phi$$

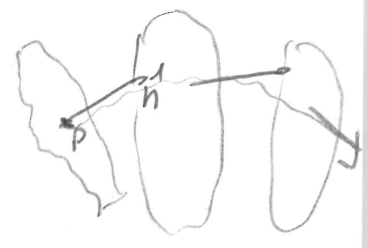
$$\rightarrow |\nabla \psi|^2 \underline{E}_0 = n^2 \underline{E}_0$$

Questa è:

$$|\nabla\psi|^2 = n^2(x,y,z)$$

Questa è detta "funzione eiconale", dal tedesco Eikonel, dal greco εἰκόνη, "immagine", ed è importante dal momento che fa dedurre due:

- \underline{E}_0 e \underline{H}_0 sono trasversali a $\nabla\psi$, essendo $\nabla\psi$ ortogonale a ψ ;
- questa eq. descrive i fronti di fase: lega la variazione della superficie a fase costante con l'indice di rifrazione!
- si ha che $k_0 \underline{E}_0 \times \nabla\psi = \omega \mu \underline{H}_0$: \underline{H}_0 è perpendicolare a $\underline{E}_0 \times \nabla\psi$, ma \underline{E}_0 è perpendicolare a $\nabla\psi$; il 3 formerà una terna ortogonale. $\underline{E} \times \underline{H}$ è parallelo a $\nabla\psi$, quindi $\nabla\psi$ è anche la direzione del flusso di potenza.



Definizione di raggio

Data superficie di fase ψ_1 e un punto su di essa, si può tracciare la normale alla superficie passante per esso.

Il fronte d'onda progredirà, spostandosi lungo la normale, verso una ψ_2 . Da qui, partendo dal punto P, arrivando alla ψ_2 , si trova una successione di punti dati dall'intersezione della normale alla superficie con fronte d'onda successivo.

Il raggio è il luogo delle normali alle superfici di fase passante per un punto, nella sup. di fase di partenza.

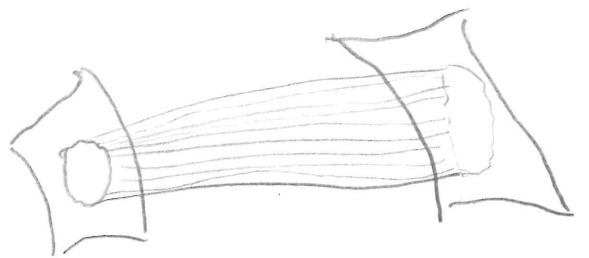
Se il mezzo è omogeneo, $n = \text{costante}$ e, per l'eq. dell'eiconale, è una retta.

Il raggio tende a curvarsi verso la direzione in cui il gradiente dell'indice di rifrazione è positivo: dove il mezzo è più denso, n maggiore. (Snell: $n_0 \sin \theta_i = n_1 \sin \theta_r$)
Se $\nabla\psi$ è parallelo a ∇n , il raggio è comunque retto.

tubo di flusso

raggi sono linee di flusso dell'energia; date due superfici di fase ψ_1 e ψ_2 , data

su ψ_1 una linea chiusa, dati tutti i raggi su questa linea chiusa, li si possono unire fino a ψ_2 : questo insieme di linee sembra un tubo: tubo di flusso.



Attraverso le pareti laterali di questo "tubo", non vi è flusso di potenza, dal momento che il vettore di Poynting è perpendicolare, non ha dunque componenti ortogonali al raggio.

Se il mezzo è senza perdite, il flusso del vettore di Poynting \underline{S} attraverso questa superficie è nullo; data S la superficie laterale del tubo, A_1 la superficie delimitata dalla linea chiusa su ψ_1 , A_2 quella della linea chiusa su ψ_2 , considerando le normali definite non tutte verso l'esterno, ma verso dx (direzione del raggio),
 $\hat{n}_1 \approx -\hat{n}_2$

Per la conservazione della potenza e per l'assenza di perdite, si ha:

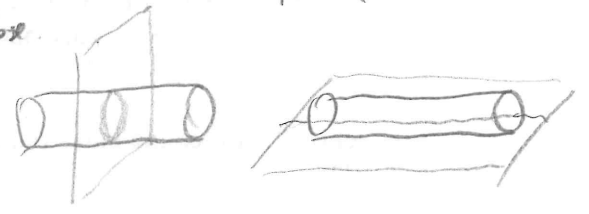
$$\int_{S+A_1+A_2} \underline{S} \cdot \hat{n} \, dA = \Phi = \int_S \underline{S} \cdot \hat{n} \, dA + \int_{A_1} \underline{S} \cdot \hat{n}_1 \, dA + \int_{A_2} \underline{S} \cdot \hat{n}_2 \, dA = \int_{A_1} \underline{S} \cdot \hat{n}_1 \, dA - \int_{A_2} \underline{S} \cdot \hat{n}_2 \, dA$$

$$\hookrightarrow \int_{A_1} \underline{S} \cdot \hat{n}_1 \, dA = \int_{A_2} \underline{S} \cdot \hat{n}_1 \, dA \rightarrow \text{CONSERVAZIONE ENERGIA NEI TUBI DI FLUSSO}$$

Ora: data superficie a fase costante ψ_1 , un punto $P_i \in \psi_1$, area pseudo-rettangolare identificata da segmenti dx e dy , vorremmo identificare il raggio di curvatura della superficie in P_i . Se la superficie è non-sferica, nel punto vi potrebbero essere infinite diverse curve che la attraversano, infiniti centri di circonferenze osculatrici nel punto, ∞ raggi!

Noi consideriamo un ρ_{min} e un ρ_{max} di curvatura! I "raggi principali" di curvatura, ossia quello minimo e quello massimo. Le direzioni di questi, si dimostra sono ortogonali: tagliare con piani la sup. di fase.

Cilindro: $\rho_{min} = \rho_{cerchio}$, $\rho_{max} = \infty$ (rotol)



Abbiamo detto che le direzioni dei raggi principali sono ortogonali; attribuiamo "x" al ρ_{min} , "y" al ρ_{max} (gli "effetti"); si ha:

$$dx_i = \rho_{Lmin} d\alpha \quad dx_i, \rho_i \text{ associati a } \psi_i, d\alpha \text{ incremento in funzione di angolo!}$$

$$dy_i = \rho_{Lmax} d\beta$$

$$\hookrightarrow dA_i = dx_i dy_i = \rho_{Lmin} \rho_{Lmax} d\alpha d\beta$$

superficie infinitesime sulla sup. a fase costante attorno a P_i

Consideriamo dA_2 : per ipotesi supponiamo che, nella nuova superficie a base costante da e db si preservino; se i raggi sono rettilinei per ipotesi, si può dimostrare che i piani principali di Ψ_2 su P_2 sono gli stessi di Ψ_1 su A_1 , dunque i raggi saranno:

$$dx_2 = (\sigma_{min} + p) da$$

$$dy_2 = (\sigma_{max} + p) db$$

\hat{p} "distanza" te
 P_1 e P_2
 $p \triangleq P_2 - P_1$

\hookrightarrow definizione $\sigma_{min} \triangleq \sigma_{1min}$
 $\sigma_{max} \triangleq \sigma_{1max}$

si "prolungano" i raggi di "p", considerando per ipotesi raggi rettilinei.

$\hookrightarrow dA_2 = (\sigma_{min} + p)(\sigma_{max} + p) da db$

Ragioniamo su Poynting: $\underline{S} = \underline{E} \times \underline{H}^*$ dove $\underline{H} = \frac{1}{Z_0} \hat{n} \times \underline{E}$

$\hookrightarrow |\underline{S}| = \frac{|\underline{E}|^2}{Z_0}$

$\hookrightarrow \int_{A_1} \underline{S} \cdot \hat{n}_1 dA = \int_{A_2} \underline{S} \cdot \hat{n}_2 dA \iff \frac{|\underline{E}_1|^2}{Z_0} \sigma_{min} \sigma_{max} da db = \frac{|\underline{E}_2|^2}{Z_0} (\sigma_{min} + p)(\sigma_{max} + p) da db$

$\hookrightarrow |\underline{E}_2|^2 = |\underline{E}_1|^2 \frac{\sigma_{min} \sigma_{max}}{(\sigma_{min} + p)(\sigma_{max} + p)}$

sempre poi che la base è legata alle superfici, se $\Psi_2 - \Psi_1 = p$

$\hookrightarrow \underline{E}_2 = \underline{E}_1 \exp(-jk_0 p) \sqrt{\frac{\sigma_{min} \sigma_{max}}{(\sigma_{min} + p)(\sigma_{max} + p)}}$

Nota: se $p = \{-s_1, -s_2\}$, la formula non VALE: punti di caustica.

ma l'ottica geometrica NON VALE.

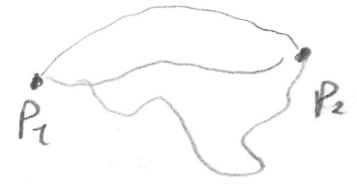
Nota: $\lim_{p \rightarrow \infty} |\underline{E}_2| \approx \frac{\sqrt{s_1 s_2}}{p} |\underline{E}_1|$: andamento del modulo a onde sferica!

Nel caso di onde piane, i tubi di flusso sarebbero paralleli tra loro, essendo tutte le normali parallele alla sup. a base costante (o un piano...). Non si avrebbe, in questo caso, allungamento, essendo costanti le superfici dei tubi di flusso. Più il tubo di flusso si allarga, più la densità di potenza si "spalma", si riduce.

Nota: l'int. di indifferenza dice che il campo dipende da ∞ onde, ma solo del campo in un altro punto. Date approssimazioni (molto base costante) i 2 nodi si collegano.

Principio di Fermat

Dati 2 punti P_1 e P_2 , esistono infiniti cammini che possono collegarli; di tutti questi, il "cammino ottico" è l'integrale di linea dell'indice di rifrazione n :



$$C_{ottico} = \int_{P_1 \rightarrow P_2} n \, dl$$

Il principio di Fermat dice che il cammino ottico reale, quello che il corpo effettivamente percorre, è quello minimo, ossia quello per cui l'integrale di linea diventa un integrale su un intervallo:

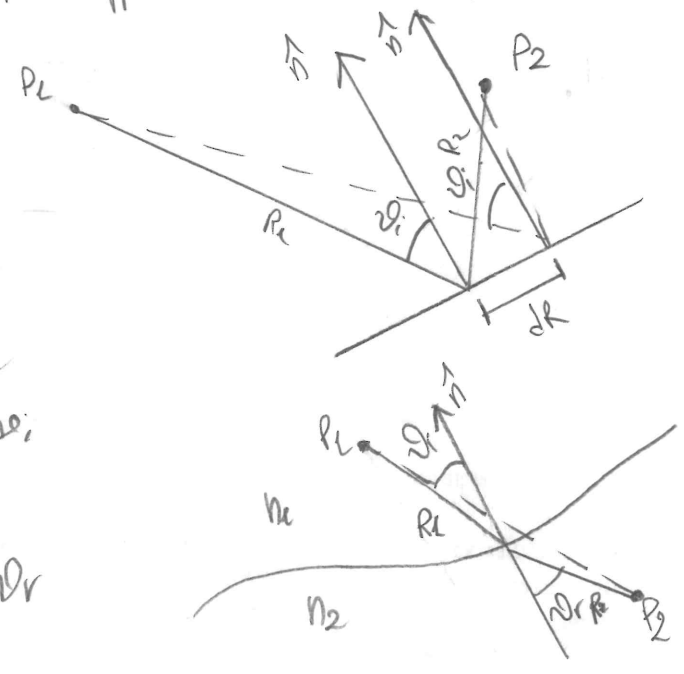
$$= \int_{P_1}^{P_2} n \, dl$$

questo, in un mezzo omogeneo; in un mezzo non omogeneo, si ha un cammino stazionario (dim.: Collin - Antennas and radiowave propagation, p. 162 - appendix)

Da Collin, una nota: il principio di Fermat corrisponde, in ottica, al "principio di minime azione", noto in meccanica razionale. In effetti si recuperano, per dimostrarlo, le eq. di Eulero-Lagrange, note per il calcolo delle variazioni, spesso applicate in meccanica razionale.

Approccio: leggi di Snell

Ricavo le leggi di Snell con il principio di Fermat: la condizione che rendono stazionaria la differenza tra i due cammini si ottengono imponendo il "differenziale della differenza tra cammini" nullo. Si ha, in un caso:



$P = R_1 + R_2$. θ_i è circa uguale:

$$\begin{cases} dR_1 = dR \sin \theta_i \\ dR_2 = dR \sin \theta_r \end{cases} \Rightarrow dR = dR \sin \theta_i - dR \sin \theta_r$$

$$\hookrightarrow \sin \theta_i = \sin \theta_r$$

Per la rifrazione, si fa qualcosa di simile: il cammino totale è $n_1 R_1 + n_2 R_2$; faccio gli incrementi, e ottengo:

$$\hookrightarrow n_1 R_1 + n_2 R_2 + \underbrace{dR n_1 \sin \theta_i - dR n_2 \sin \theta_r}_{\text{annullando così:}}$$

$$\frac{n_1}{n_2} = \frac{\sin \theta_i}{\sin \theta_r}$$

Le antenne ad apertura hanno una superficie curva e dunque i raggi principali di curvatura di un raggio su esse incidenti sono diversi: i fronti d'onda si "deformano", dunque cambia per esempio la direzione di riflessione, se per esempio la superficie curva è usata da riflettore.

Antenne e riflettore - introduzione/correttivi preliminari

Che tipo di superficie usiamo, per riflettere il campo elettromagnetico?

Supponiamo di avere una superficie PEC, regolare fino alla derivata II^a, in modo da poterla descrivere mediante un'espansione tridimensionale di Taylor al II^o ordine:

$$z = -\frac{1}{2} \left(\frac{x^2}{R_1} + \frac{y^2}{R_2} \right) \quad \left[\begin{array}{l} R_1, R_2 \text{ raggi principali di curvatura,} \\ x, y, \text{ direzioni principali} \end{array} \right]$$

Il sistema di riferimento scelto è:

- Origine sul punto P della superficie considerata
- Vettore dell'asse \hat{z} del sistema di riferimento coincidente con la normale \hat{n} della superficie, su P.

→ Ciò annulla i termini di I^o e 0^o grado!

Si consideri, di tutte queste, la famiglia delle "superfici di rivoluzione": si tratta di superfici, espresse in un sistema di coordinate cilindriche, per cui, data la curva che si fa ruotare attorno all'asse $f(\rho)$ funzione di $\rho = \sqrt{x^2 + y^2}$, detta $g(\rho) = 1 + [f'(\rho)]^2$, valgono le seguenti proprietà sui raggi principali di curvatura:

$$R_1 = \frac{[g(\rho)]^{\frac{3}{2}}}{f''(\rho)} ; \rightarrow R_1: \text{raggio di curvatura del profilo}$$

$$R_2 = \rho \sqrt{g(\rho)} / f'(\rho) ; \rightarrow R_2: \text{raggio di curvatura del meridiano}$$

DATA l'equazione del profilo, ora sappiamo, nel particolare caso delle superfici di rivoluzione, calcolare i raggi di curvatura.

Informazioni sul fronte d'onda riflesso dalla superficie non-piana vogliamo trovare, dal campo in una sorgente S, il campo riflesso da una superficie di cui conosciamo i raggi di curvatura; ci sono 3 step:

- 1) Trovare il campo al punto di riflessione R a partire dalla sorgente S
- 2) Determinare il campo riflesso dalla sup. curva
- 3) Determinare il campo nel punto di osservazione P a partire da quello riflesso; ciò, se la sup. di riflessione è curva va fatto con la formula di propagazione dell'ottica geometrica!

Problema: per lo step 3, servono i 2 raggi di curvatura dell'onda riflessa, ossia caratterizzare la superficie a fase costante dell'onda riflessa. Per ora, non sappiamo farlo.

Per lo step 1, vale la seguente formula:

$$|E| = \frac{|E_i|^2}{Z_0} \quad ; \quad S = \frac{P_T G_T |v_i|}{4 \pi R^2} \implies |E| = \sqrt{\frac{Z_0 P_T G_T}{4 \pi R^2}} \approx \boxed{5.5 \frac{\sqrt{G_T P_T}}{R}}$$

Ciò va bene, finché non interviene la curvatura della superficie di riflessione a distorcere il fronte d'onda di portanza!

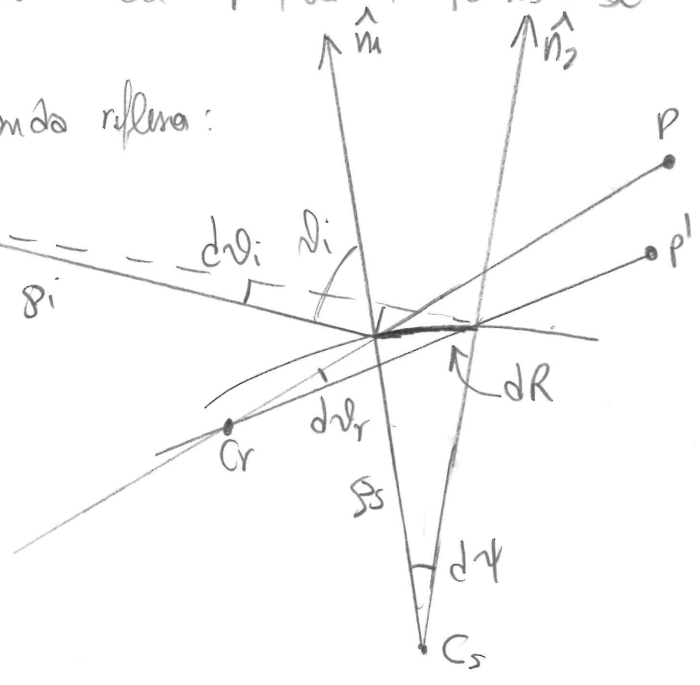
Calcoliamo i raggi principali di curvatura dell'onda riflessa:

Vi sono 3 angoli fondamentali: gli incrementi di ν_i , ν_r , e γ , considerando un $R+dR$ invece di R .

C_s è il centro di curvatura della superficie, P_S il raggio.

Si vede che:

$$dR = P_S d\gamma$$



Ordiniamo altri modi: considerando paralleli (dato che è grande distanza) i 2 raggi incidenti,

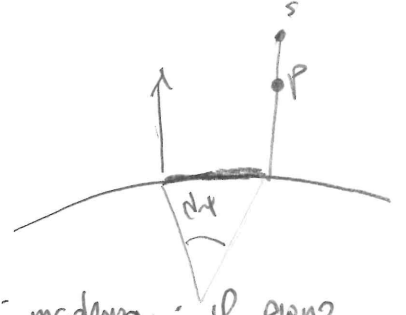
$$P_i d\nu_i = dR \cos \nu_i$$

Allo stesso modo, coi raggi riflessi,

$$P_r d\nu_r = dR \cos \nu_r$$

Inoltre serve una relazione tra gli angoli: $d\nu_r = d\nu_i + 2d\gamma$: infatti, $d\nu_r$ agisce sia aumentando l'angolo di incidenza, sia aumentando l'angolo di riflessione; sostituendo:

$$d\nu_r = \frac{dR \cos \nu_r}{P_r} \quad ; \quad d\nu_i = \frac{dR \cos \nu_i}{P_i} \quad ; \quad d\gamma = \frac{dR}{P_S}$$



$$\hookrightarrow \frac{dR \cos \nu_r}{P_r} = \frac{dR \cos \nu_i}{P_i} + \frac{2dR}{P_S}$$

$$\hookrightarrow \frac{1}{P_r} = \frac{1}{P_i} + \frac{2}{P_S \cos \nu_i}$$

ma $\nu_i = \nu_r$
 ciò vale per il piano di incidenza: il piano della normale e del raggio di incidenza. "Giungendo" la figura, nel piano perpendicolare a quello di incidenza, si dimostra:

(vedi quaderno)

$$\frac{1}{P_r} = \frac{1}{P_i} + \frac{2 \cos \nu}{P_S}$$

Metodi di analisi delle antenne a riflettore: 3 metodi

Soluzione esatta

Volendo studiare il campo mediato da un punto, si deve imporre, in quel punto, la condizione al contorno:

$$\hat{n} \times \underline{E}_{totale} = \phi$$

dove \underline{E}_{totale} è, nell'ordine esatto.

$$\underline{E}_{totale} = \underline{E}_{incidente} + \frac{j}{\omega\mu} \int_A \underline{G}(\underline{r}-\underline{r}') \cdot \underline{J}_e dS \Rightarrow \phi = \hat{n} \times \underline{E}_{incidente} + \frac{j}{\omega\mu} \hat{n} \times \int_A \underline{G}(\underline{r}-\underline{r}') \cdot \underline{J}_e dS$$

\underline{G} è nota, \underline{J} è l'incognita del problema. Ciò si risolve numericamente.

Optica fisica

Metodo di approssimazione basato su alcune ipotesi:

- assenza di correnti nella regione "in ombra" del conduttore
- distribuzione di correnti nella zona illuminata che si ottiene come se in ogni punto illuminato, il campo incidente (l'illuminazione) interagisse con la superficie allo stesso modo di un'onda piana incidente sul piano tangente alla superficie nel punto considerato

Valgono le relazioni:

$$\begin{cases} \underline{E} = \underline{E}_{inc} + \underline{E}_{rfl} \\ \underline{H} = \underline{H}_{inc} + \underline{H}_{rfl} \end{cases}$$

ricercabili con le condizioni di impedenza!

$$\underline{H}_i = \sqrt{\frac{\epsilon}{\mu}} \hat{s}_0 \times \underline{E}_{inc}$$

$$\underline{H}_r = \sqrt{\frac{\epsilon}{\mu}} \hat{s}_1 \times \underline{E}_{rfl}$$

Un approccio è basato sul calcolo della corrente indotta mediante il campo magnetico:

$$\underline{J}_s = \hat{n} \times \underline{H}_{totale}$$

Un'onda è decomponibile in componente TE e in componente TM; vediamo che:

- Onde TM: il campo magnetico "raddoppia":
 $\underline{H}_{totale} = 2 \underline{H}_{incidente}$
- Onde TE:
 $\underline{H}_{totale} = 2 \underline{H}_{incidente} \cos \nu_i$

formula valida per entrambi:

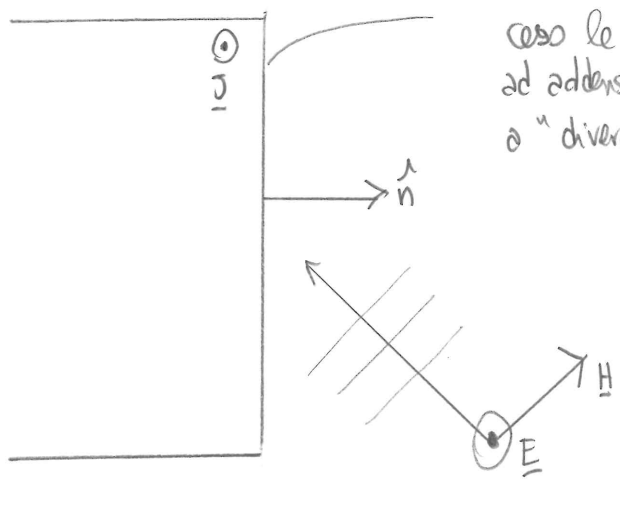
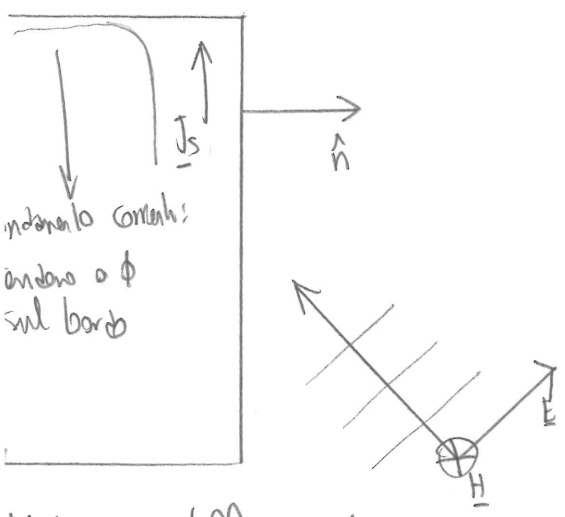
$$\underline{H}_{totale} = 2 \hat{n} \times \underline{H}_{incidente}$$

Limite del modello: non funziona sui bordi, dal momento che l'ottica geometrica è alle base di questi conti, e, per esso, uscendo dai bordi di illuminazione, si avrebbe una discontinuità spaziale di corrente.

Perché? Ottica geometrica richiede raggi di curvatura e sugli spigoli non sono definiti: non ha senso usare l'OG.

Altro effetto: le correnti indotte sono localizzate sugli spigoli e "irradiano anche dietro".

Il $\|E_t\|$ e in questo caso le correnti tendono ad addensarsi, quindi a "divergere blandamente".



Metodo delle aperture

Il terzo metodo usato consiste nell'applicare il teorema di equivalenza a un piano, posto in prossimità della superficie del riflettore.

Si sa che:

$$\underline{J}_s = \hat{n} \times \underline{H}$$

$$\underline{M}_s = \underline{E} \times \hat{n}$$

Il campo di illuminazione sarà quello su questo piano, e così l'integrale di irradiazione è riconducibile a una trasformata di Fourier. Il campo di illuminazione si ricava col modello di ottica geometrica.

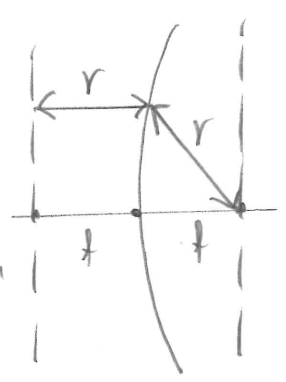
Nota: il campo incidente studio quello riflesso mediante l'applicazione delle condizioni al contorno TE/TM, quindi integrale (\int), per aver il campo che si propaga.

Nota: prima, basterebbe calcolare il campo incidente e integrare, ma era un integrale di superficie, non su un piano! Molto più complicato!

Antenne a parabola

In coordinate sferiche, una parabola ha equazione:

$$r = 2f - r \cos \vartheta \Rightarrow r = \frac{2f}{1 + \cos \vartheta}$$



della ρ la distanza di un punto della parabola dall'origine,

$$\rho = r \sin \vartheta = \frac{2f \sin \vartheta}{1 + \cos \vartheta}$$

Recupero la trigonometria: $\cos(\frac{\vartheta}{2}) = \sqrt{\frac{1 + \cos \vartheta}{2}}$; $\sin(\vartheta) = 2 \sin(\frac{\vartheta}{2}) \cos(\frac{\vartheta}{2})$

$$\hookrightarrow \frac{2f \sin(\frac{\vartheta}{2}) \cos(\frac{\vartheta}{2})}{\cos^2(\frac{\vartheta}{2})} = 2f \tan(\frac{\vartheta}{2}) = \rho$$

Applicazione del metodo delle aperture

Nota: mentre il campo va dall'illuminatore al riflettore lo fa sotto forma di onde sferiche, onde che, come nota, si attenuano come $\frac{1}{R}$; dopo essere "uscite" dal riflettore, è piano: no attenuazione.

Supponiamo, per ottenere ciò, che la sorgente di raggi sia sul fuoco; il campo incidente sulla superficie sarà: (solita formula):

$$E_{incidente} = \frac{5,5 \sqrt{G_T P_T}}{r}$$

dove " r " è il punto della parabola considerato. (non ρ); il campo non incide nello stesso punto, alla stessa distanza, essendo una parabola!

$$\hookrightarrow r = \frac{2f}{1 + \cos \vartheta} \Rightarrow E_{incidente} = 5,5 \frac{\sqrt{G_T P_T}}{2f} \underbrace{(1 + \cos \vartheta)}_{\text{attenuazione spaziale}}$$

A seconda del ϑ , si ha un'attenuazione diversa perché il "campo sferico" fa più strada!

Una volta riflessa, il campo ha fase costante su ogni punto esterno al paraboloide (fronto d'onda piano: come uno specchio parabolico!)

Nota: spill-over: in realtà parte dello pletta del feed va fuori: questa è potenza persa, e riduce la γ .

Ha mai mettere al riflettore bobine sintonizzatrici: se no vengono integrate e, quindi, perbopeno, con la loro fase (negativa) al quadrato, riducendob.

Chiamiamo ora un'espressione per le attenuazioni: il campo sull'apertura ha una forma del tipo:

$$E_{apertura} = \frac{V_0 F(\vartheta)}{2f} \quad (1 + \cos \vartheta) \quad F \text{ funzione lineare, colposta al quadrato.}$$

$$F \propto \sqrt{G} \quad [V_0] = V. \text{ (una costante).}$$

Il quadrato finale va come il quadrato di $|E_{apertura}|$; quindi l'attenuazione spaziale per un $\vartheta = 90^\circ$ (ma si va oltre), è: $|1 + \cos(90)|^2 = 1$, mentre $|1 + \cos(0)|^2 = 4$. Si perdono, aumentando ϑ , 6 dB.

Studiamo l'espressione appena vista: riportiamo il campo dell'apertura in un generico ρ (a un certo ϑ) con quello in θ :

$$\frac{E_{apertura}(\rho)}{E_{apertura}(\theta)} = \left| \text{recuperando la formula iniziale} \right| \frac{\frac{\sqrt{G} F(\vartheta)}{r'}}{\frac{\sqrt{G} F(\theta)}{f}} = \underbrace{\sqrt{\frac{G(\vartheta)}{G(\theta)}}}_{\text{attenuazione di feed}} \underbrace{\frac{f}{r'}}_{\text{att. spaziale}} \rightarrow \text{dB} \text{ di feed + dB sp}$$

Nota su dB:

$$dB = 20 \log\left(\frac{f}{r'}\right) \text{ ma } r' = \frac{2f}{1 + \cos \vartheta} = \frac{f}{\cos^2(\frac{\vartheta}{2})}$$

$$\rightarrow dB_{sp} = 40 \log \sec\left(\frac{\vartheta}{2}\right)$$

L'att. di feed si approssima con una funzione quadratica "fittante".

Ricorda:

$$\vartheta_{max} = 2 \arctan\left(\frac{D}{4f}\right) ; \frac{f}{D} : \text{rapporto fuoco su diametro; fondamentale } f/D \in [0,25; 0,5]$$

• se f/D è troppo grande, serve un illuminatore a fascio stretto quindi largo quindi le sboccaglie; altrimenti spillover.

• se f/D è troppo piccolo, servono feed con fascio principale troppo largo, e se noi in fondo si mandano lobi secondari! Inoltre si ha più att. spaziale: sopra i 90° , essa crolla molto più rapidamente!

Efficienza di spillover:

$$V_s = \frac{\text{potenza nel cono del riflettore}}{\text{potenza totale}} = \frac{\int_0^{\vartheta_0} |F(\vartheta)|^2 \sin \vartheta d\vartheta}{\int_0^\pi |F(\vartheta)|^2 \sin \vartheta d\vartheta} \quad \vartheta_0 : \text{massimo angolo del riflettore.}$$

Nota: aumentando ϑ_0 , aumenta V_s si riduce V_{ap} . $V_{eq} = V_s V_{ap}$

Dalle Fig(2.58), $t \approx 10dB$ per avere la v_{eq} massima. In realtà bisogna anche guardare i lobi secondari! Ovviamente, bisogna ridurli, ma non esagerare meno qui: al di sotto di una certa potenza non si può andare a causa del bloccaggio.

$t = 14 dB$ è per esempio un buon valore.

Si hanno, spesso, delle maschere, dei profili.

Di solito comunque, queste antenne sono grosse, dunque con G elevati.

Esempio: campo uniforme \rightarrow porta!

$$F(\vartheta) = \frac{\sin(\frac{\pi a}{\lambda} \sin \vartheta)}{\frac{\pi a}{\lambda} \sin \vartheta} \rightarrow G = G_{max} |F(\vartheta)|^2 = \frac{4\pi}{\lambda^2} a^2 \left| \frac{\sin(\frac{\pi a}{\lambda} \sin \vartheta)}{\frac{\pi a}{\lambda} \sin \vartheta} \right|^2$$

l'involuppo è solo il denominatore; a noi interessa l'involuppo, cioè la maschera:

$$G_{involuppo} = \frac{4\pi}{\lambda^2} a^2 \left| \frac{1}{\frac{\pi a}{\lambda} \sin \vartheta} \right|^2 \quad \text{ma, per } \vartheta \ll 35^\circ, \sin \vartheta \approx \vartheta$$

$$\hookrightarrow G(\vartheta) \sim \frac{4}{\pi \vartheta^2 \text{ radenti}^2} \quad \text{e poi si passa in dB.}$$

Tipi di illuminatori

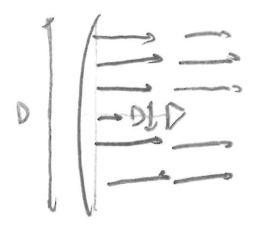
- Comunque tromba magari corrupte
- Basse frequenze: dipole-disk (dipolo su pannello di massa) o dipoli + direttore (Yagi-Uda)
- Guida d'onda troncata, $\lambda/4$ in allungo, riproposta "goose-neck".

Bloccaggio

Il fatto di dover mettere degli illuminatori, porta a avere zone in cui il campo viene "bloccato": la presenza fisica del feed "blocca" dei raggi.

2 contributi:

- bloccaggio ombra: quello del feed
- bloccaggio dovuto ai supporti del feed: molto importante anche esso. (gli stelli sono infatti dei diffragenti).



Bloccaggio centrale

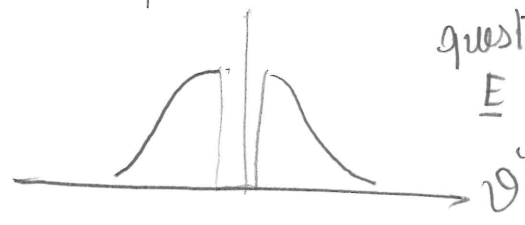
Dato paraboloide di diametro D , c'è un beam di dimensione d che blocca dei raggi.

Uso la seguente idea: i campi sull'apertura sono:

$$E_a = E_{a0} - E_b$$

E_{a0} → campo totale all'apertura
 E_b → campo che si avrebbe all'ap. senza blocco
 E_b → campo all'ap. di bloccaggio

Questo è solo quello sull'apertura; per avere quello irradiato, devo trasformare secondo Fourier: questa è la trasformata del totale E ; si vede che, a una, manca un termine stretto in meno



$$\Rightarrow E(\theta) = E_0(\theta) - E_b$$

Essendo il termine in meno "stretto", quello dell'apertura, dunque l'illuminatore di bloccaggio, sarà molto lunga, e bassa.

Essendo E_0 o quasi o termi, essendo quello di bloccaggio positivo (troppo lungo per diventare negativo), andò a sommarsi ai lobi dispari, saltarsi a quelli pari! Dopo un po', poi, ci sarà solo più uno: per questo non ha senso ridurre troppo i lobi.

Facciamo conti: il paraboloide è un'apertura circolare, immaginiamo di avere come beam una tramba circolare: il formalismo è quello della tesi (Fourier-Bessel Transform)

$$E = + \frac{j2\pi}{2\lambda R} \exp(jkR) \int_0^a E_0 J_0(ur) r dr \cdot \exp(-j2\pi f)$$

Usando le proprietà delle funzioni di Bessel, si ha:

$$= jk E_0 \frac{\exp(-jkr)}{R} \exp(-j2\pi f) a^2 \frac{J_1(u)}{u} \quad \left[u = \frac{\pi D}{\lambda} \sin \theta \right]$$

Il campo "a partire dalla fine del bloccaggio" è: ponendo $\beta = \frac{d}{D}$, $r' = \frac{r}{\beta}$

$$E = jk E_0 \frac{\exp(-jkr)}{R} \exp(-j2\pi f) \int_{\frac{d}{2}}^{\frac{D}{2}} J_0(kr \sin \theta) r dr = \int_{\frac{d}{2}}^{\frac{D}{2}} J_0(kr \sin \theta) r dr = \beta^2 \int_0^1 J_0(\beta u r') r' dr' \cdot \beta^2 \frac{J_1(\beta u)}{\beta u}$$

$$= jk E_0 \frac{\exp(-jkr)}{R} \exp(-j2\pi f) \left(\frac{D}{2} \right)^2 \left[\frac{J_1(u)}{u} - \left(\frac{d}{D} \right)^2 \frac{J_1(\beta u)}{\beta u} \right] \quad \left[\beta = \frac{d}{D} = \text{rapporto di bloccaggio} \right]$$

mettendo $\theta = \theta_1$ si ottiene: $E = E_0 - E_b = E_0 \left[1 - \frac{E_b}{E_0} \right]$

$$SG_{dB} = 20 \log \left[1 - \frac{E_b}{E_0} \right] \approx -8.7 \frac{E_b}{E_0} = -8.7 \left(\frac{d}{D} \right)^2 \gamma$$

$\gamma = 2$, per ill. non disomogenea.

Nota: tanto più sei bassi i lobi secondari, tanto più si alzaemmo!

Il primo lobo secondario è una copia del tipo:

$$L_1 = \beta E_0 + E_b, \quad E_b = \beta^2 E_0$$

$$\hookrightarrow L_1 = \beta E_0 + \beta^2 E_0$$

$$SL_1 = \frac{L_1(\text{con lobe})}{L_1(\text{no lobe})} = \frac{E_0(1+\beta^2)}{E_0 \beta} = 1 + \frac{\beta^2}{\beta} \quad \text{in dB:}$$

$$\hookrightarrow SL_1 \text{ [dB]} = 8.68 \frac{\beta^2}{\beta}$$

ovvero: meno lobi abbiamo, maggiore è il "contributo relativo" del campo bloccato!

Per la tramba rettangolare, basta fare un'analoga: dal momento che contano solo le aree,

basta fare:

$$\frac{d}{2} = \sqrt{\frac{2b}{\pi}} \quad (\text{infatti, se le aree son uguali, } \underbrace{\pi \left(\frac{d}{2}\right)^2}_{\text{cerchio}} = \underbrace{a \times b}_{\text{onde rettangolo}})$$

Bloccaggio dei supporti

La zona d'ombra è molto più estesa di quello del bloccaggio centrale; quello che si può fare è vedere il campo d'ombra come rettangolare, di spessore w e altezza $(d-d)/k$; quindi usare il formula dell'apertura rettangolare; la sinc.

Sul piano di " w " il fascio sarà larghissimo, su quello di $(d-d)/k$ molto più stretto.

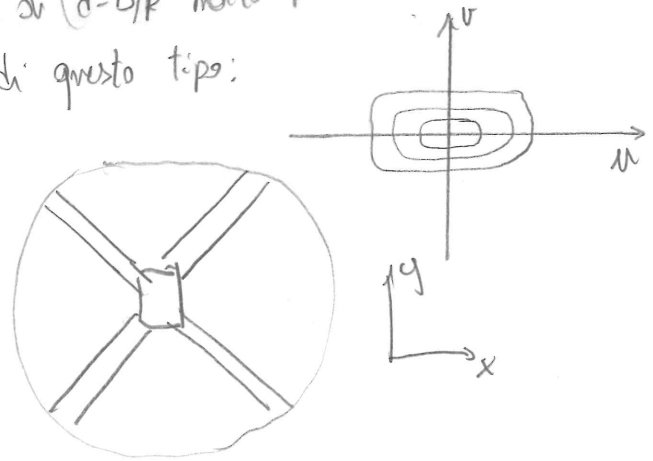
Nella fattispecie, le curve di livello sono qualcosa di questo tipo:

(per gli stralli).

Ciascun supporto genera un campo non trascurabile prevalentemente nel piano ortogonale a esso; ciò che si può dunque fare è ciò:

in questo modo si evita di toccare i piani principali

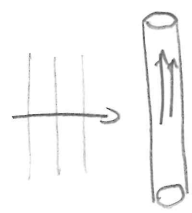
Col campo "pasticcioso"



Scattering da cilindro metallico

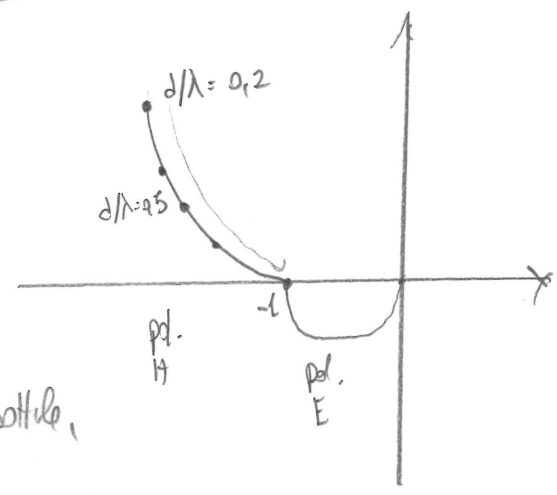
Un'analisi più esatta è quella che studia la diffrazione del cilindro. Data un'onda piana che incide sul cilindro metallico, la si può esprimere in onde cilindriche rappresentate mediante una somma di funzioni di Bessel.

Fatto ciò, si applicano le condizioni al contorno, si hanno delle correnti indotte dalle onde cilindriche e questo "genera il campo scatterato".



e correnti; tendono a concentrarsi sulla parte più illuminata, dunque il campo scatterato dipende anche dal diametro; se $d \ll \lambda$, le correnti sono circa uniformi. Si definisce il IFR (Induced Field Ratio) come il rapporto tra il campo diffratto dal cilindro, e il campo incidente da un'apertura con le stesse dimensioni e illuminata dalla stessa onda piana.

Per $\omega \gg \lambda$, IFR tende a -1; per $\omega \ll \lambda$, i due valori di campo (apertura e scatterato) van in direzioni opposte: uno a ϕ , uno a ∞ .



Nota: Questo modello dipende dalla polarizzazione dell'onda piana incidente: immaginando che il cilindro sia sottile,

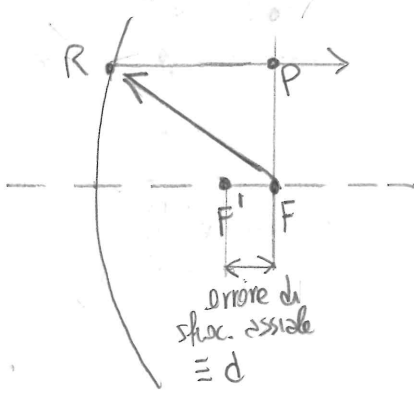
- se il campo è parallelo al filo le correnti vanno "nel verso del filo", quindi si possono "muovere"; (si parla di E)
- se il campo è perpendicolare al filo, essendo "direzionato lungo la direzione dello spessore del filo", esse non possono muoversi, dunque non si ha interazione del cilindro.

IFR quantifica ciò: con $\frac{d}{\lambda}$ piccolo e pol. H, più è corto il filo, più addensate le correnti, maggiore è il campo; nell'altro caso, le correnti come d'oro non riescono a "scorrere".

RIASCOLTA L'ULTIMISSIMA PARTE

Stocamento assiale

L'illuminatore, o meglio il suo centro di fase, deve essere esattamente sul fuoco del paraboloide; per vari motivi (dilatazioni/pressioni termiche, cattiva determinazione del centro di fase...) Proviamo a studiarlo:



determiniamo il cammino ottico da F' a P' : se d è piccolo, i raggi RF' e RF sono circa paralleli, quindi l'errore da F' a P è: $\approx d \cos \theta$, θ angolo tra piano tangente a R e raggio.

$$\overline{F'P'} - \overline{FP} \approx d \cos \theta \approx d \left[1 - \frac{\theta^2}{2} \right]$$

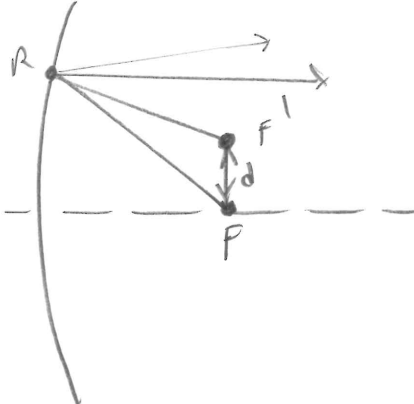
si possono fare conti più precisi, e trovare che:

$$\Delta G_{dB} = 9,1 \frac{(d/\lambda)^2}{1 + (4f/D)^2}$$

questo per un dipolo.

Sfocamento trasversale

si tratta di un errore nel posizionamento dell'illuminatore, spostato trasversalmente all'asse. Si ha qualcosa di questo genere:



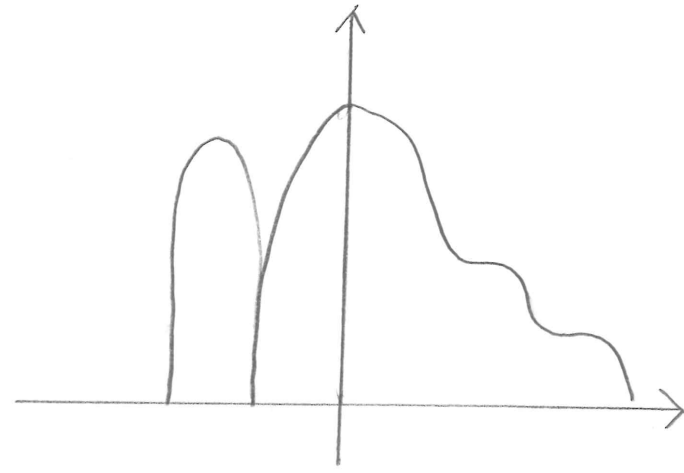
ora, la differenza di cammino sarà:

$$\Delta \phi = kd \sin \theta$$

↳ non più coseno ma seno!

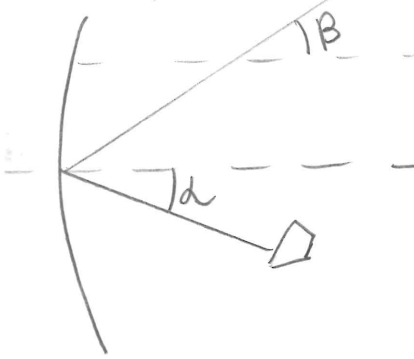
$$\sin(x) \approx x - \frac{x^3}{3}$$

Partiopp ora si ha a che fare con un errore di fase cubico: il termine lineare trasla in θ il d. di irradiazione, quello cubico è molto peggio: si ha una distorsione asimmetrica del diagramma di irradiazione.



Como Lobe: si tratta di un'aberrazione

Si definisce il BDF (Beam Deviation Factor) come il rapporto tra angolo di spostamento del feed rispetto all'asse di ρ : $BDF \triangleq B/d$



dato l'asse del feed, esso sta con un certo α dal vertice del paraboloide; B è l'angolo che il massimo del d. di irradiazione forma rispetto all'asse.

BDF varia con f/D e t ($B \in [0,6 \div 0,8] \alpha$)

se ho t (tappino) alto, vuol dire che il feed illumina prevalentemente il bordo, che è la zona più povera;

se f/D diminuisce, il paraboloide è più piatto.

Rozzono sull' illuminatore

il fatto che il feed sia sulla stessa dei raggi, porta ad avere un' illuminazione sul feed; questo vuol dire che, anche se il feed e' adattato, si ha della "potenza regressiva":

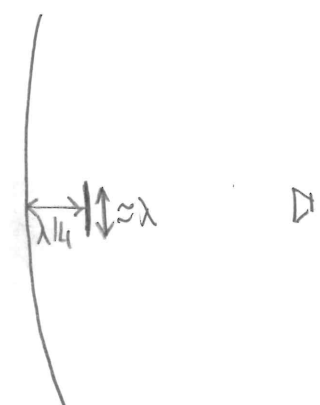
$$\left| \frac{P_{\text{riflitta}}}{P_{\text{trasmitto}}} \right| = |\Delta \Gamma|^2$$

Determiniamo ad con l'ottica geometrica:

$$\left. \frac{dP}{dS} \right|_{\text{incidente}} = \frac{G_{\text{feed}} P_t}{4\pi f^2} = \left. \frac{dP}{dS} \right|_{\text{riflitta}} \quad ; \quad P_{\text{riflitta}} = A_{\text{eq}} \left. \frac{dP}{dS} \right|_{\text{riflitta}} = \frac{\lambda^2}{4\pi} G_{\text{feed}}^2 \frac{P_{\text{trasmitto}}}{4\pi f^2}$$

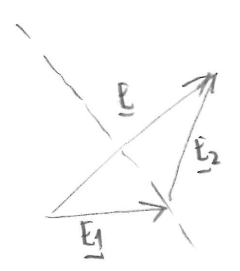
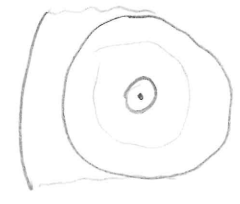
$$\hookrightarrow |\Delta \Gamma|^2 = \frac{P_{\text{riflitta}}}{P_{\text{trasmitto}}} = \left(\frac{\lambda G_{\text{feed}}}{4\pi f} \right)^2$$

Cio' si puo' migliorare con la tecnica del matching plate: si mette a $\lambda/4$ dal vertice, al centro, una piastra che rifletta il campo, ma in controfase, in modo che vada al feed e si annulli con quello gia' presente, "adattando", ossia non facendo tornare indietro della potenza.



Nota: essendo il problema $\approx \lambda$, l'ottica geometrica non vale molto.

Il modello esatto sarebbe basato sul dividere l'apertura in anelli, in modo da "dividere l'integrale sui vari anelli"; ogni anello ha un contributo con una fase diversa. Dato \underline{E} vettore che collega 2 punti, \underline{E}_1 e \underline{E}_2 due vettori che collegano il punto di partenza all'ansa e piano al punto di arrivo, $\underline{E} = \underline{E}_1 + \underline{E}_2$; dato \underline{E}_1' il particolare \underline{E}_1 con modulo $|\underline{E}_1|$, fase opposta a \underline{E}_2 , $\underline{E}_1' + \underline{E}_2 = \Phi$



Cio' si ottiene introducendo un ritardo dei raggi che provengono dalla zona centrale:

Tolleranza superficiale

La presenza di onori sulla ridondanza del riflettore riduce il guadagno:

$$\Delta G_{dB} \approx 686 \left(\frac{\epsilon}{\lambda}\right)^2 \quad \text{o} \quad \frac{G}{G_0} = \exp\left(-\left(\frac{4\pi\epsilon}{\lambda}\right)^2\right)$$

dove ϵ è l'errore quadratico medio.

Un buon valore è $\epsilon = \frac{\lambda}{50}$.

Per misurare ϵ :

- o si usa un profilo piatto da 10 pa e vedere, e con degli estensimetri si fa la misura
- o si fa misura con markers e laser.

Paraboloidi off-set: punti

- vantaggi: riduce il bloccaggio
- svantaggi: difficile posizionare bene il feed; molto ingombrante a parità di dimensioni rispetto con un paraboloide (Huygens-Stenar: aumenta il momento di inerzia J , quindi offset grandi son faticosissimi da gestire).
- struttura asimmetrica: si avrà maggior X-polarization: un piano presenta simmetria (quello orizzontale), l'altro no. Si hanno nel per. normale (simmetrici), orienti disposti in modo tale da cancellare contributi spuri, una no. \odot (simmetrico) \ominus (offset)

Nota di progetto: il feed va puntato, per compensare l'alt. spaziale, a:

$$\nu_0 = 2 \arctan\left(\frac{d + \frac{D}{2}}{2f}\right) \left[\begin{array}{l} \text{proiezione del centro sull'asse} \\ \text{verticale} \end{array} \right] \left\{ \begin{array}{l} \text{questa è una} \\ \text{regola empirica} \end{array} \right\}$$

I valori standard, dato D , sono $f/D \approx [0.5 \div 1]$ [D è la dimensione diametro del cilindro che taglia l'offset]

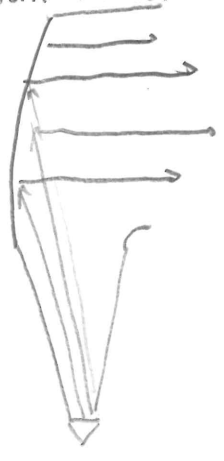
Per il piano orizzontale, dato "D" il diametro del paraboloide padre, si ha: θ_{max} orizzontale

$$\theta_e = 2 \arctan\left(\frac{p_e}{2f}\right), \quad p_e = \sqrt{\left(\frac{D}{2}\right)^2 + \left(d + \frac{D}{2}\right)^2}$$

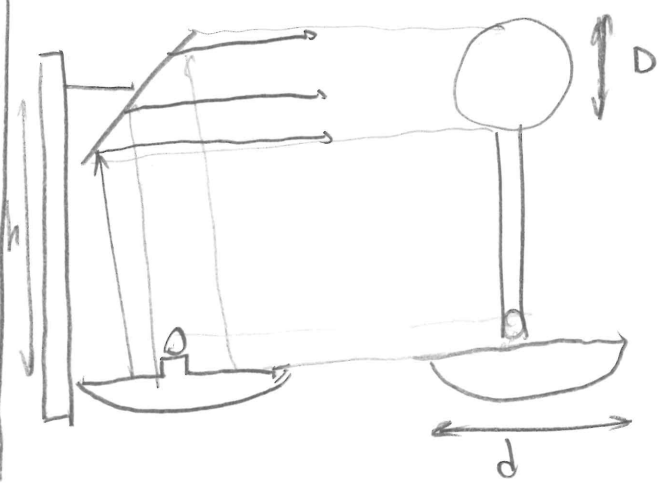
↓
Pitagora

Altre antenne o riflettore

Horn collector: tromba + parabola: tromba non troppo grosse per angolo di loss, parabola "molto allungata" troppo grosse



Antenne e periscopio:



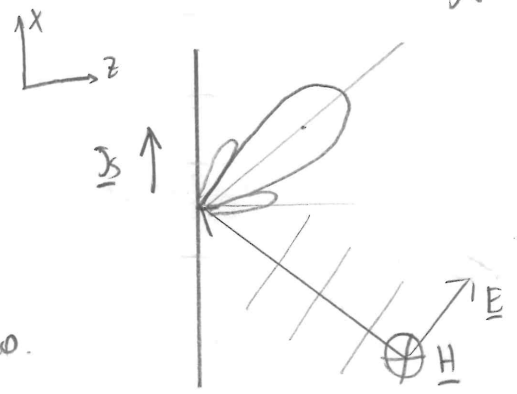
vantaggio e periscopio: se si ha un riflettore nella zona di Fresnel, campo vicino, si evita di portare il cabinet a quota elevata! si diventa a terra!
 Il riflettore piano è a 45°, è ellittico in modo da apparire, visto di fronte, come un cerchio. È ellisse con rapporto di ellitticità $\sqrt{2}$.
 Di solito, $D = 1,25 d$: con $D = d$ si perde circa 1 dB. $h \propto \frac{D^2}{\lambda}$

Riflettore passivo

È un ripetitore in campo lontano.
 Per il modello di ottica fisica,

$$J_s = 2n \times H$$

Si ha ω : J_s è diretta verso l'alto.



Visto che il fronte d'onda incide obliquamente, cambia la loss!

Facciamo 2 conti: data 2 antenne, una delle quali è un riflettore passivo, che riflette verso l'altre, determinare P_r (ricevuto).

$$P_r = \frac{\lambda^2}{4\pi} G_r S_r, \quad S_r = \frac{P_t \times G_s}{4\pi R^2} = \frac{S_i A_s}{4\pi R^2} \frac{\lambda^2}{\lambda^2} \Rightarrow P_r = \frac{\lambda^2}{4\pi} G_r \frac{S_i A_s}{R^2} =$$

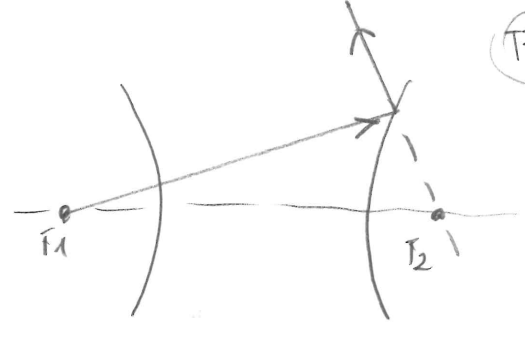
$$\hookrightarrow P_r = G_r \frac{S_i A_s}{R^2} \quad \text{volendo riportare nella formula} \quad P_r = \frac{\lambda^2}{4\pi} G_r S_i, \quad \Rightarrow \frac{\lambda^2}{4\pi} G_r \frac{A_s}{\lambda^2 R^2} \rightarrow G_{eq} = G_r \left(\frac{A_s}{\lambda R}\right)^2$$

Altro caso: se si ha solo l'antenna ricevente, senza ripetitore:

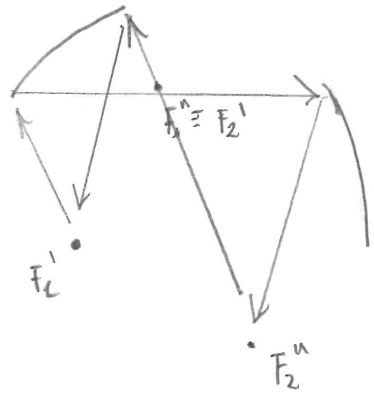
$$P_r = \frac{\lambda^2}{4\pi} G_r S_i \quad \text{(più l'attenuazione del cavo)}$$

Antenne a doppio riflettore

Idea di base: sfruttare la proprietà per cui, se un raggio parte da un fuoco e incide sull'altro lato, il prolungamento del raggio riflesso parte dal fuoco; posso fare in modo da far così:



se faccio coincidere i 2 fuochi, il raggio fa questo giro



Cassegrain

Idea: come riflettore "finale" uso il solito paraboloide, e faccio coincidere uno dei fuochi di un iperboloido con quello del paraboloide; un raggio uscente da un fuoco F_2 di una sorgente puntiforme è riflesso come se venisse da F_2 : io faccio coincidere F_2 e $F_{parabola}$.

Vantaggio: così f/D aumenta molto: $f/D \in [1.5, 3]$. Ciò riduce molto l'alt. spaziale.

Si può dimostrare che: data "e" l' eccentricità, $e = \frac{c}{a}$, $\pm c$ i fuochi dell'iperbole,

$$M \triangleq \frac{\tan(\frac{\theta_r}{2})}{\tan(\frac{\theta_i}{2})} = \frac{e+1}{e-1}$$

θ_i : massimo angolo di incidenza (θ_{feed})
 θ_r : massimo angolo di riflessione ($\theta_{parabola}$)

M è "di quanto il fascio viene allungato dall'iperboloido".

$$\hookrightarrow \tan(\frac{\theta_r}{2}) = M \tan(\frac{\theta_i}{2}) \quad ; \quad \text{ma, dalla parabola, } g = 2f \tan \frac{\theta}{2} \quad | \theta = \theta_r$$

$$\rightarrow 2f \tan \frac{\theta_r}{2} = 2fM \tan \frac{\theta_i}{2} \quad \rightarrow \quad f_{eq} = Mf \quad \left\{ \begin{array}{l} \text{distanza focale} \\ \text{equivalente!} \end{array} \right.$$

Note:

- il feed sta sul vertice: portare l'alimentazione è più semplice
- come già detto L_{sp} è minore (f/D è grande)
- taper minore ai bordi \rightarrow \checkmark maggiore
- maggior ingombro sub-reflettori: più bloccaggio.

Di solito si fanno grandi: (50-100) λ almeno! (per ridurre il bloccaggio).

↳ avendo il subiniettore (S=0) λ

Nota: il vncolo è dovuto anche al fatto che il progetto è basato sull'uso dell'ottica geometrica; altrimenti, la diffrazione ai bordi introduce ripple molto importanti.

Equazione del radar

$$S_{inc, target} = \frac{P_T G_T}{4\pi R^2}$$

L'oggetto interagisce solo su una certa sezione efficace σ_i della "sezione radar";

$$P_S = \sigma_i S_{inc, target} = \sigma_i S_i$$

↳ $P_R = \frac{A_{eq} P_S}{4\pi R^2}$ P_S potenza scattata dal sistema "target" da trovare

$$= \frac{A_{eq} \sigma_i P_i}{4\pi R^2} = \frac{A_{eq} \sigma_i P_T G_T}{(4\pi R^2)^2} \quad \text{ma} \quad A_{eq} = \frac{4\pi}{\lambda^2} G$$

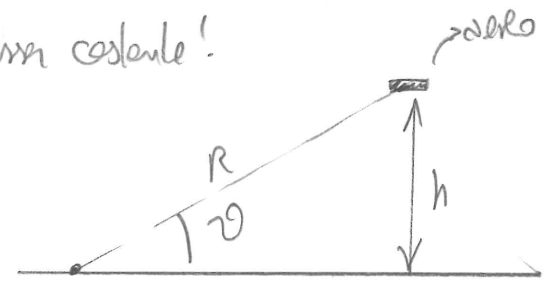
$$\hookrightarrow P_R = \frac{\lambda^2 \sigma_i G_T G_R}{(4\pi)^3 R^4} = \frac{\lambda^2 \sigma_i G^2}{(4\pi)^3 R^4} P_T$$

se un aereo vola a quota costante, $\frac{G}{R^2}$ deve essere costante!

Si ha:

$$h = R \sin \theta \implies R = \frac{h}{\cos \theta}$$

$$\hookrightarrow \frac{G(\theta)}{\cos^2(\theta)} = \text{costante}$$



Si fa ciò dividendo qualcosa elevato all'incubo, farlo più tendere a θ verso $\theta = 60^\circ$.

ALTRA ANTENNA!

Antenne a lente

Invece che riflessione, rifrazione!

Soluzione presentata: abbiamo bisogno, per le lenti, di 2 superfici: "di ingresso" e "di uscita".

NOSTRA (non unica) soluzione: superficie di uscita piana.

Dobbiamo determinare quella di ingresso.
 Obiettivo: data per ipotesi una superficie piana di uscita, serve che, per il principio di Fermat,

$$FP + PP' = FV + VO$$

ossia che i cammini ottici siano uguali tra loro, in modo da avere, all'uscita, cammini con la stessa fase. In realtà "dentro" la lente si ha un $n = \sqrt{\epsilon_r}$ e "rallentano" i raggi quindi:

$$\overline{FP} + n \overline{PP'} = \overline{FV} + n \overline{VO}$$

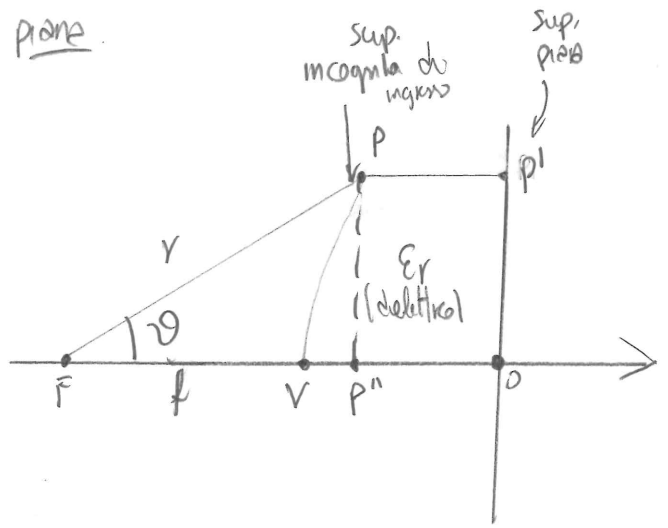
Nota: nel dielettrico, tutti i raggi son rallentati uguali; e la differenza tra parte di eggio nel e fuori dal dielettrico che fa rallentare! Posso togliere $n \overline{PP'}$:

$$\overline{FP} = \overline{FV} + n \overline{VP}$$

$$\text{ma } \overline{VP} = r \cos \theta - f$$

$$\hookrightarrow r = f + n(r \cos \theta - f) \rightarrow r(1 - n \cos \theta) = f(n-1)$$

$$\hookrightarrow r = f \frac{n-1}{n \cos \theta - 1} \quad \text{questa \u00e8 l'equazione del profilo necessario!} \quad \text{Ed \u00e8 un'iperbole}$$



Interpretazione:

- la superficie piana di uscita "adatta" l'onda piana all'apertura; l'iperbole adatta il fronte d'onda sferico al piano
- il contrario si e' a dire la forma d'onda di ingresso, ossia una sfera, con una superficie di ingresso sferica; in uscita si dimostra che si ha un ellissoide.

Vantaggi: no bloccaggio, banda larghissima

svantaggi: peso, risolvibile con zodi mezza, la quale però riduce drasticamente la banda. (altro vantaggio con $\lambda/4$) si ha inoltre influenza di sintonizzatori, e adattare perdono di nuovo banda.

$$\Delta P = n \frac{2\pi}{\lambda} h - \frac{2\pi}{\lambda} h = 2\pi(n-1) \frac{h}{\lambda} = 2\pi n \Rightarrow \frac{h}{\lambda} \approx \frac{n}{n-1}$$

Lenti periodiche:

- materiali artificiali: $(NL1)$; questi si fanno per esempio con fogli di polistirolo $(TL2)$ espansi con $Er=1$ (corto: son vuoti); se $a > 0,7\lambda$, ce sono avere guide sopra taglia,

quindi $k_y = \sqrt{k_0^2 - \left(\frac{\pi}{2a}\right)^2} LK \rightarrow n \cdot \sqrt{1 - \left(\frac{\lambda}{2a}\right)^2} LL$

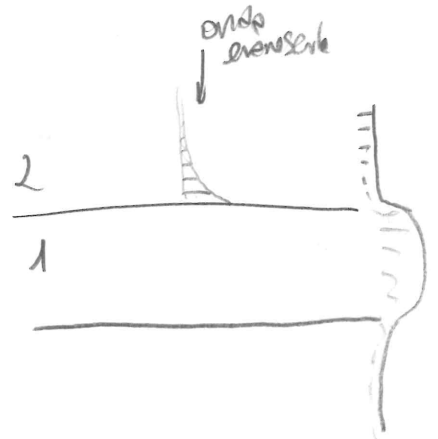
- bootlace lens: microstriscia o entermer e sfasatori.

Antenna a onde progressive - cemi

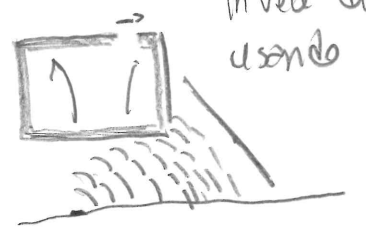
- A onda superficiale; data guida in ana, do un corto pento la si rompe di dielettrico! Studiando il problema, si vede che si ha un'onda evanescente per la c. di cortura: (superficie di separazione)!

$E_{t1} = E_{t2} \iff k_{t1} = k_{t2}$ dove $k_1^2 = k_{t1}^2 + k_{z1}^2$
 $k_2^2 = k_{t2}^2 + k_{z2}^2$

$\left\{ \begin{array}{l} \epsilon_r k_0^2 = k_{t2}^2 + k_{z2}^2 \\ k_0^2 = k_{t1}^2 + k_{z1}^2 \end{array} \right. \rightarrow k_{z1}^2 L\phi : \text{NO propagazione ma attenuazione lungo } z$



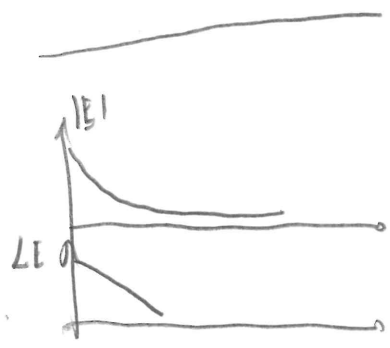
- A onda leaky; data guida, si fa cò:



Invece di avere il domo TET_1 , la topografia di comp è perturbata; usando il th. di equivalenza con \underline{M}_1 si ha un corpo elettrico che, per la fessura, ha una variazione di fase l'onda progressiva

ha un andamento tipo $\exp(-jk_z z)$, $k_z = k_0 \sqrt{1 - \left(\frac{\lambda}{2a}\right)^2}$

Questa fessura è come un elemento irradiante, e "irradare" è sinonimo di "perdersi": per questo, si ha un leakage. Si ha, sull'apertura, un campo con modulo che decresce esponenzialmente, la fase lineare (o) trasformando si trova qualcosa di moderatamente direttivo.



$\theta_{max} = \arcsin \left[\sqrt{1 - \left(\frac{\lambda}{2a}\right)^2} \right]$

Antenne a filo

A differenza di quelle ad apertura esse si usano a basse frequenze.

Coni della resistenza di irradiazione

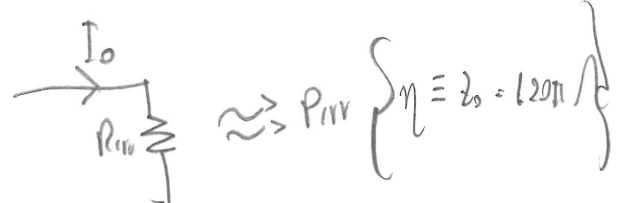
$$\Sigma = \frac{1}{2} \mathbf{E} \times \mathbf{H}^* = \frac{1}{2} (\mathbf{E}_r \hat{r} + E_\theta \hat{\theta}) \times (\mathbf{H}_\phi \hat{\phi})^* = \frac{1}{2} (E_\theta H_\phi^* \hat{r} - E_r H_\phi^* \hat{\theta})$$

$$P = \iint_S \Sigma \cdot d\mathbf{s} = \int_0^{2\pi} \int_0^\pi (S_r \hat{r} + S_\theta \hat{\theta}) \cdot \hat{r} r^2 \sin\theta d\theta d\phi =$$

$$= \eta \frac{\pi}{3} \left| \frac{I_0 l}{\lambda} \right|^2 \left[1 - \frac{1}{(kr)^3} \right]$$

Di questo, la potenza attiva è quella irradiata:

$$P_{irr} = \eta \frac{\pi}{3} \left| \frac{I_0 l}{\lambda} \right|^2$$



$$\approx P_{irr} \left\{ \eta = Z_0 = 120\pi \Omega \right\}$$

Usando un equivalente circuitale dell'antenna,

$$P_{irr} = \frac{1}{2} I_0^2 R_{irr} = \eta \frac{\pi}{3} \left| \frac{I_0 l}{\lambda} \right|^2 \rightarrow R_{irr} = \eta \left(\frac{2\pi}{3} \right) \left(\frac{l}{\lambda} \right)^2 = 80 \pi^2 \left(\frac{l}{\lambda} \right)^2 \approx 800 \left(\frac{l}{\lambda} \right)^2$$

Un'antenna a filo è un insieme di sorgenti elementari filiformi: una sovrapposizione di elementi del tipo:

$$\underline{E} = \underline{M} \frac{Z_0 \exp(-jkr)}{2\lambda R} \sin\theta, \quad \underline{M} = \underline{l} I$$

Questi sono "representanti" che, se sommati, danno luogo a un'antenna a filo.

Il discorso è, però: per ciascun "representante" serve conoscere I , la distribuzione di corrente.

Per trovare la distribuzione di corrente la cosa più facile da fare è considerare un modello di un filo, come una linea di trasmissione biconica a θ_0 variabile; una linea biconica (vedi Collin - Antenna and Propagation ---) è una linea di TE con 2 coni affacciati; supporta un modo TEM, e la sua Z_0 è:

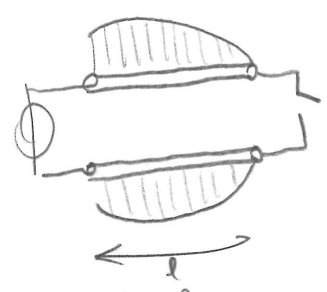
$$Z_{00} = \frac{Z_0}{\pi} \log \left| \coth \left(\frac{\theta_0}{2} \right) \right| \quad \theta_0 \text{ angolo di apertura dei coni.}$$

Si ricava, mediando, che per un dipolo,

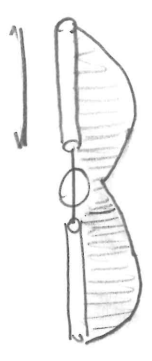
$$Z_{0d} = 120 \left[\ln \left(\frac{2l}{a} \right) - 1 \right] \Omega$$



Ragionamento più brutale: una linea di te chiuse an open line:



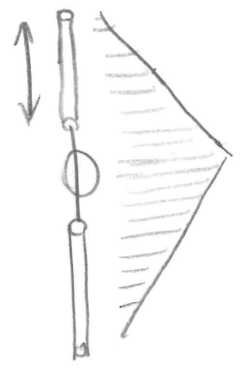
(ricorda diagramme a onde stazionarie)
 \hookrightarrow ne^[~] raddrizzo i bracci
 l : lunghezza di 1 braccio; metà del dipolo!



raddrizzare i bracci non varia K , ma l'alle costante primario, Z_{in} che sappiamo come stanno.

Casi particolari:

- dipolo corto: l'andamento della corrente è sinusoidale; dal momento che però un seno, per $x \ll \lambda$ è circa lineare, si può dire che, se il dipolo è corto, si ha qualcosa di questo tipo: (heff può venire, essendo collegata a A_{eq} , per stimolare G)



Si ha che:
 $h_{eff} = \frac{P_{rad}(r^1)}{I_{ant}^2 \text{ alimentato}}$ dal circuito: $\frac{|I_{ant}|}{x}$

Per un dipolo, vale (vedi pag. 146)

$$E = -j \frac{z}{2\pi R L} \exp(-jkr) I_{ant} h_{eff}(r^1)$$

\downarrow onde sferica I_{ant} \downarrow proprietà di direttività

dove per un dipolo: (146)

$$h_{eff}(r^1) = -\frac{\hat{\theta} \sin \theta}{I_{ant}} \int_0^L I(z) \exp(jk_0 \cos \theta z) dz$$

Dipolo corto: considero I_{ant} costante sull'intervallo;

$$I(z) = I_{ant} \text{rect}(z)$$

$$\hookrightarrow h_{eff} = -\hat{\theta} \frac{\sin \theta}{I_{ant}} \int_0^L I_{ant} \text{rect}(z) \exp(jk_0 \cos \theta z) dz$$

dato $\xi = k_0 \cos \theta$

$$\hookrightarrow = -\hat{\theta} \sin \theta L \text{sinc} \left(\frac{\xi L}{2\pi} \right) \Big|_{\frac{L}{2}}^L = -\hat{\theta} \sin \theta L \text{sinc} \left(\frac{k_0 L \cos \theta}{2\pi} \right)$$

\hookrightarrow se uso η , $\text{sinc}(x) = \frac{\sin \pi x}{\pi x}$, o abbreviato

$$F_E(\eta) = \frac{\sin \eta}{\eta} = \text{sinc} \left(\frac{\eta}{\pi} \right) \rightarrow h_{eff} = -\hat{\theta} \sin \theta L F_E \left(\frac{k_0 L \cos \theta}{2} \right)$$

Per $L \ll \frac{\lambda}{4\pi} \ll \lambda$: $F_E \left(\frac{2\pi L \cos \theta}{\lambda} \right) = F_E \left(\pi \frac{L}{\lambda} \cos \theta \right) \approx L$

$$\hookrightarrow h_{eff}(r^1) = -\hat{\theta} \sin \theta (L)$$

F_E, F_A le funzioni "radici del sinc"; η "variabile provvisoria"

Dipolo mezz'onda: si ha $L = \lambda/2$; $I(z) \approx I_{ant} \cos \left(\frac{\pi}{L} z \right) \text{rect}(z)$

$$\hookrightarrow h_{eff} = -\hat{\theta} \sin \theta \int_0^L \cos \frac{\pi z}{L} \text{rect}(z) \exp(jk_0 \cos \theta z) dz =$$

$$= -\hat{\theta} \sin \theta L \frac{2}{\pi} F_A \left(\frac{k_0 L \cos \theta}{2} \right), \text{ dove}$$

$$F_A(\eta) = \frac{\cos \eta}{1 - \left(\frac{\eta}{\pi} \right)^2} \rightarrow \left\{ \begin{array}{l} \text{trasformata di} \\ \text{Fourier del coseno su} \\ \text{porta} \end{array} \right.$$

dunque:

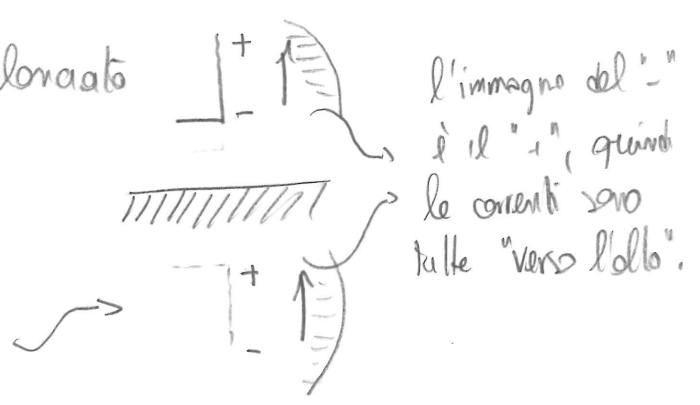
$$F_A(\eta) \Big|_{\eta = \frac{\pi}{2}} = F_A \left(\frac{\pi}{2} \frac{\lambda}{2} \cos \theta \right) = F_A \left(\frac{\pi \cos \theta}{2} \right)$$

$$\hookrightarrow h_{eff} = -\hat{\theta} \sin \theta \left(\frac{2L}{\pi} \right) F_A \left(\frac{\pi \cos \theta}{2} \right)$$

I dipoli si possono semplificare mediante:

- lunghezza
- alimentazione: bilanciata (simmetrica) // sbilanciata

↳ al posto del dipolo, si può far ciò: mettere, al posto del I° braccio, un piano di massa. Dall'applicazione del principio delle immagini, si ha cioè: stessa distribuzione di corrente.



Differenza: l'impedenza di antenne! Per avere la stessa corrente in un monopolo o in un dipolo, nel monopolo basta metà della tensione; si può infatti alimentare non tra V_0 e $-V_0$, ma tra V_0 e ϕ : metà della tensione, stessa corrente, metà impedenza di ingresso!

NOTA: questa impedenza di cui stiamo parlando ora è la Z_{in} , che non è la Z_0 della linea, per questo collegata a essa (vedi Orfice, 3.12 p. 208)

Il parametro $\frac{2l}{\lambda}$ è detto "snellezza"; maggiore è la snellezza, maggiore è Z_{in} .

Si ha:

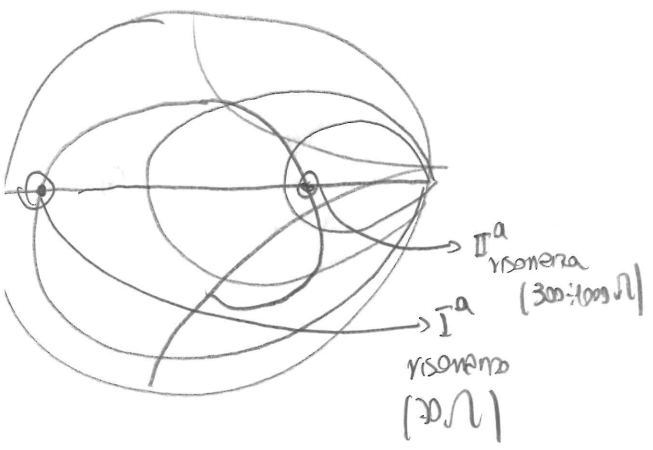
$$\begin{cases} R_{in} \approx 800 \left(\frac{l}{\lambda}\right)^2 \\ X_{in} = -j Z_0 \cot(\beta l) \end{cases}$$

NOTA: la resistenza modellante le perdite ohmiche può essere non trascurabile: potrebbero avere valori confrontabili; ciò riduce molto η .
Comportamento capacitivo per $l < \lambda/4$

Per $2l = \lambda/2$ si ha una condizione di risonanza = "dipolo a mezz'onda".
Aumentando ancora l , dopo un po' si arriva a $2l = \lambda$: una seconda condizione di risonanza.

più lunghi di λ è difficile che se ne facciano, se non i dipoli "a $3\lambda/4$ ";

Nota: 3 casi di Z_{in}



dipolo corto ($l < \lambda/4$)	:	$\begin{cases} R \approx \phi \\ X \ll \phi \text{ (molto capacitivo)} \end{cases}$	
dipolo $\lambda/4$ ($l = \lambda/4$)			
	:	$\begin{cases} R \approx Z_0 \\ X \approx \phi \end{cases}$	$\begin{cases} \text{dipolo full-wave} \\ (l = \lambda/2) \end{cases}$
			$\begin{cases} R \approx 300-1000 \Omega \\ X \approx \phi \\ \text{più snello, maggiore è R.} \end{cases}$

Nota: in realità, la ℓ per la risonanza non è $\lambda/4$, ma è un po' inferiore! La seconda, per molto meno.

Nota: fino a circa 80° le resistenze son uguali tra loro, poi si han le differenze.

Parliamo ora di diagramme di irradiazione; considerando un elemento di campo fondamentale,

derivante dalla seguente dipolo:

Si ha che: $\underline{J}_e(x, y, z) = \delta(x) \delta(y) I(z)$ (Vecchi, 2.172 | 2.160) le δ son annullare i termini in x e y

$$\underline{M}_e = \int \underline{J}_e(x) dx dy dz = \int \delta(x) \delta(y) I(z) \exp(jk r' \cdot \hat{R}) dx dy dz$$

$$= \int I(z) \exp(jk r \cos \theta) dz$$

Da Vecchi, 2.253, si ha:

$$\underline{E} = +j\omega \mu \frac{\exp(-jkr)}{4\pi r} \sin \theta \hat{\theta} = j\omega \mu \frac{\exp(-jkr)}{4\pi r} \int_0^1 I(z) \exp(jk r \cos \theta) dz \quad \left| \begin{array}{l} \text{come da b)} \\ 9-1 \end{array} \right.$$

Si può determinare D_{max} ; a rotto che: dove la nostra "d" è; da Orifice, 1.21,

$$D_{max} = \frac{4\pi}{\int_0^\pi \int_0^{2\pi} d(\theta, \phi) \sin \theta d\theta d\phi} \quad \underline{E} = V_0 F(\theta, \phi) \frac{\exp(-jkr)}{r} \hat{p}$$

$\hookrightarrow d \propto \sin^2(\theta) \Rightarrow$ si trova $\frac{4\pi}{\int \sin^2 \theta}$, che si fa in forme chiusa! $G_0 \approx 1.5$.

Caricane dipli corti

Nota: per frequenze molto basse, servirebbero dipli lunghissimi (a meno costosi); ci piacerebbero dipli corti, ma con una distribuzione di corrente uniforme, in modo da avere il guadagno (la heff).

Idea: se il "seno" parte da ϕ ha un triangolo; se parte "dopo", quando siamo "sul massimo", $\epsilon \approx$ costante

Idea: invece di far vedere l'open, metterlo un "simulatore di tratto di linea", ma concentrato: una capacità di cuoco! Si ha, data una "placca" lunghezza "h" della "linea simulato",

$\omega C Z_0 = \tan(kh) \rightarrow$ posso progettare C!
 senza C:  con C: 

\approx costante! molto più heff!

Qd si fa con qualcosa che crei capacità rispetto a massa: una bobina di ferro, una piastra di metallo.

NOTA: si parla di massa ma l'antenna deve essere solida, in modo che se da dell'elettrostatica essa non vada verso l'antenna, distruggendola. Si usano induttori.

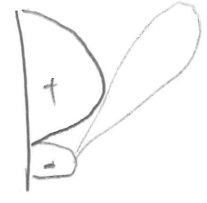
Si ha poi anche bobina d'accordo, per eliminare i contributi capacitivi, ed eventualmente ingegnerizzare la frequenza di risonanza.

Risultati:

- il dipolo corto ha $Q \approx 1,5$;
 - il dipolo $\lambda/2$ ha $Q \approx 1,64$ (corrente maggiore, non controllata di quella triomfale, dunque Q si stringe e Q sale)
- $\hookrightarrow \varphi_{\text{max}} \approx 76^\circ$ (da 90°)

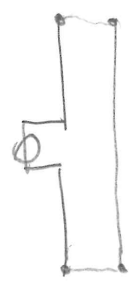
No "2λ": si ha sfasamento della corrente, quindi contributi fuori fase anche se l'area maggior direttività.

$\exists \lambda/2$: "a margherita": bobina positivo e bobina negativo!
 \hookrightarrow bobina sarà "rusticata", utile per Conyar urbani.

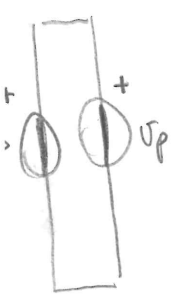


Dipolo ripiegato

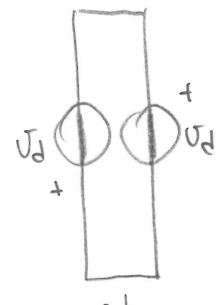
Idea: 2 dipoli cilindrici, uno alimentato congiunti alle estremità.



Analisi: scomposizione alimentatore in modo pari e modo dispari:



modo pari



modo dispari

dove:

$$\begin{cases} V_p - V_d = \phi \\ V_p + V_d = V \end{cases}$$

$$\rightarrow V_p = V_d = \frac{V}{2}$$

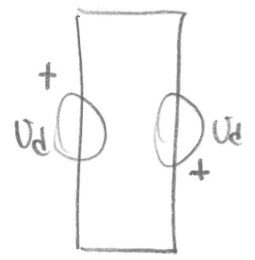
Per il modo pari, il fatto di avere 2 dipoli lunghi uguali e con la stessa tensione, implica il non avere una ΔV sui collegamenti tra i 2; questo è come avere cioè:



un dipolo "tozzo", dove $Z_{dodo} = 2Z_p$:

$$Z_{pari} = \frac{V}{2I_p} = \frac{V}{4I_p} = 4 Z_{dipolo}$$

Per il modo dispari, si ha 2 fili paralleli in cui una corrente è entrante e una è uscente; se $l = \lambda/4$ (lunghezza del braccio), dato un corto circuito in fondo, il $\lambda/4$ "inverte" l'impedenza, e lo troverà in aperto: $I_d = \phi$



De:

$$I = I_d + I_p = I_p; \quad V \times \infty \Rightarrow Z_{dipolo \text{ aperto}} = 4 Z_{dipolo}$$

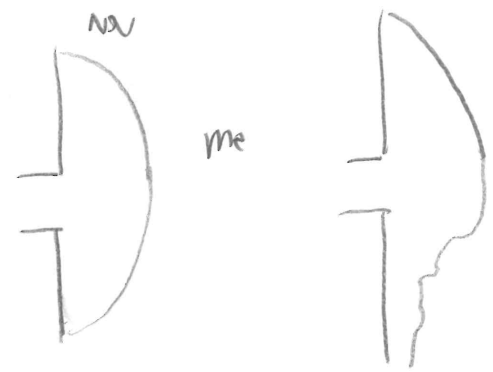
L'analisi fatta presuppone $2l = \lambda/2$; per un dipolo a mezz'onda $Z_0 \approx 70 \Omega$

$$\hookrightarrow Z_{dipolo \lambda/2} \approx 4 \times 70 \Omega \approx 300 \Omega$$

il fatto che sia 250Ω piuttosto che 300Ω dipende dalla nullone.

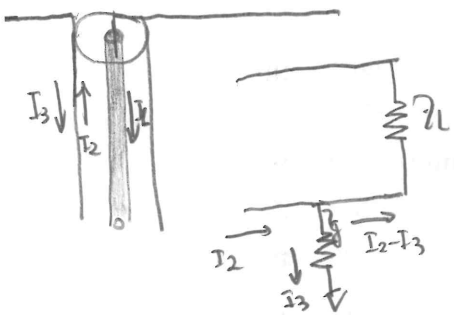
Note sull'alimentazione: un dipolo deve essere alimentato con una linea simmetrica: una bifilare! Ma una, a frequenze sulle centinaia di MHz, dissipa: non va => devo usare il coassiale che però è sbilanciato: la colpa è a GND.

Problema: se collegassimo il dipolo a un coassiale, un morsetto all'antenna uno alla colza, la linea sarebbe alimentata in maniera scorretta: non si avrebbe infatti una distribuzione come quella desiderata:



visto che il d. di irradiazione dipende fortemente dalla corrente è necessario aver la corrente giusta.

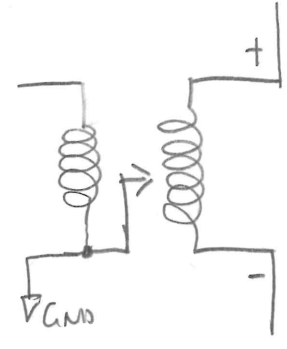
Non è tutto: il fatto di alimentare in coassiale potrebbe avere delle correnti di ritorno sulla superficie esterna del coassiale, che diventerebbe un'antenna non intenzionale, disturbando ulteriormente l'irradiazione. Da Balmain, Antenna theory, p. 540, capita così!



Z_L è la resistenza tra la parte esterna dello cavo e GND;
 I_3 è la corrente di sbilanciamento: è quello che rovina tutto.
Obiettivo: ridurre I_3 .

BALUN: BALanced-UNbalanced

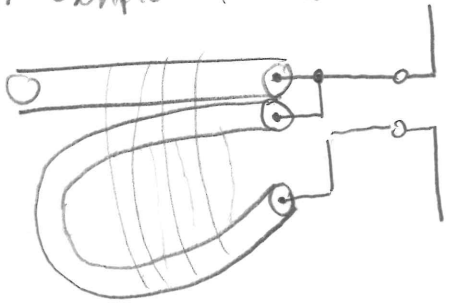
ci serve qualcosa per passare da alimentazione sbilanciata a bilanciata: questo può essere un trasformatore o prese centrate.



il problema di questa struttura è che lavora a qualche centinaio di MHz, ma non so!

Un esempio di BALUN a coassiale è il "BALUN a tromba": dato un

coassiale di alimentazione, più uno $\lambda/2$ "ripiegato", si collega uno dei morsetti al punto caldo, l'altro al morsetto; le masse (colza) se tutte collegate tra loro mediante fili metallici, il $\lambda/2$ sfasa V di 180° ; questa configurazione fa anche uno step-up:

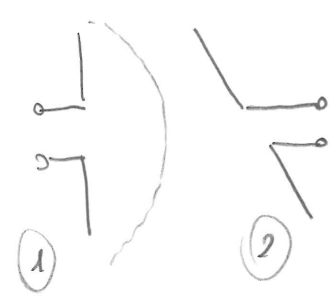


quando la corrente esce, dati i vari adolamenti simmetrici, si "smorza", e la tensione "raddoppia" (da $V-0$ del sbilanciato si ha $V-(-V)$ del BAL):

$\frac{2V}{I_0} = 4Z \rightarrow$ l'impedenza è quadruplicata!

Dipoli accoppiati

Per aumentare la direttività, un'idea è quella di mettere dei dipoli vicini tra loro.



il campo di ① interagisce con ②, genera delle correnti indotte che re-irradiano.

Questo sistema di 2 dipoli (caso base) può essere visto come un 2-porta, caratterizzabile con la sua \underline{Z} :

$$\begin{cases} V_1 = Z_{11} I_1 + Z_{12} I_2 \\ V_2 = Z_{21} I_1 + Z_{22} I_2 \end{cases}$$

Z_{11} e Z_{22} sono le impedenze proprie delle antenne; le Z_{irr} di ciascun dipolo

(Nota: la Z_{irr} del sistema finale "array di dipoli" sarà anche diversa, eh).

Z_{21} e Z_{12} sono le "impedenze mutue": termini che derivano dalla presenza di dipoli vicini.

Valde la relazione $Z_m \hat{=} Z_{21} = Z_{12}$

Se i dipoli sono vicini, si avrà una mutua, dunque aumentando L dipolo, per la mutua, ne avrò 2 "irradianti". Quello non alimentato da generatore è detto "antenna passiva".

Nota: Z_m si può o dedurre ricorrendo alla grafica, o con Friis, facendo considerazioni sui moduli dei campi.

I grafici ci sono sia per dipoli affiancati sia allineati (stesso caso).

Esempio di calcolo: 1 dipolo alimentato e 1 passivo (questo, con morsetti in corto).

$$\underline{Z} \begin{cases} V_1 = Z_{11} I_1 + Z_{12} I_2 \\ V_2 = Z_{21} I_1 + Z_{22} I_2 \end{cases} \implies \begin{matrix} \text{se cortocircuito, } V_2 = 0 \\ \hookrightarrow I_2 = - \frac{Z_{21}}{Z_{22}} I_1 \end{matrix}$$

$$\hookrightarrow \frac{V_1}{I_1} = Z_{11} - Z_{12} \frac{Z_{21}}{Z_{22}} = Z_{11} - \frac{Z_m^2}{Z_{22}}$$

MM!

Antenne Yagi-Uda

Idea: fare una schiera endfire di dipoli, ma in cui L è dimenticata agli altri NO. Scegliendo opportunamente le lunghezze degli elementi e le distanze, si può ottenere un d. di irradiazione direttivo.

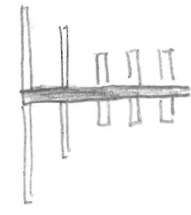
I dipoli spesso sono reciprocati, in modo da avere lo Z_m : ciò è importante perché Z_m abbassa l'impedenza di un dipolo.

2 tipi di elementi, oltre al dipolo principale (2 tipi di passivi):

- riflettore: elemento più lungo, posto nella direzione backfire, per riflettere il campo verso la endfire
- direttore: elemento che "fa andare dritto" il segnale, un po' più corto

Si usa 1 riflettore, e non più di 20 direttori.

La differenza sta nella lunghezza, dunque nella Z_{22} !



Nota: il punto centrale su cui si attaccano i dipoli,

può sia esser isolante, sia conduttore: in un dipolo passivo, il punto centrale è a tensione nulla; la cosa vale soprattutto per il dipolo ripiegato il quale è un certo circuito a frequenza basse; un dipolo ordinario va scaricato elettrostaticamente prima di essere collegato a un ricevitore, essendo composto da "2 pezzi"; uno ripiegato non ha di questi problemi.

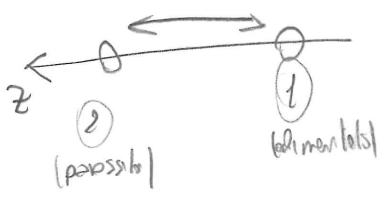
Ciò deriva dalla teoria delle linee di tx: data linea kL , dato campo elementare, V e I son dadi; se il dipolo è risante al centro si ha il massimo di I , e lo zero di V .

Esempio: dati 2 dipoli a distanza $d = 0,15\lambda$, fare considerazioni sul campo (direttore)

@ $0,15\lambda$, $\begin{cases} X \approx P \\ R \approx 00\Omega \end{cases}$ ho: $Z_{11} \approx 70\Omega$,
 $Z_{22} \approx 80 + j80$ (poco più lungo di $\lambda/2$)

$\rightarrow I_2 = - \frac{Z_m}{Z_{22}} = 0,53 \exp(j135^\circ)$

dalla th. dello schiere:



$E_1 \propto I_1$

$E_2 \propto I_2 \exp(jkd \cos \theta)$

$I \propto I_1 + I_2 \exp(jkd \cos \theta)$

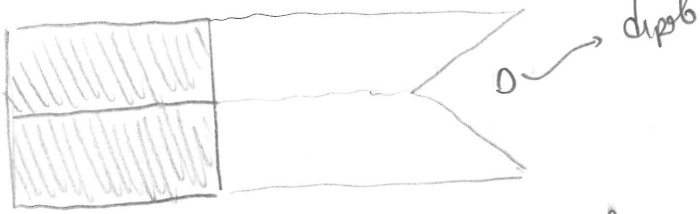
$kd = \frac{2\pi}{\lambda} d = 0,15 \times 2\pi = 54^\circ$

Orò: I_2 di $\exp(j135^\circ)$; se ci aggiungiamo 56° , vale a 190° : praticamente il campo è un controfase, e si ha $E \propto I_1 - I_2 \approx \phi$.

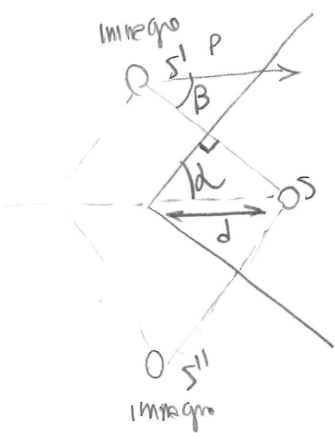
se $\theta = 180^\circ$, i due vettori son circa in quadratura, e si ha il massimo di campo: il campo "forma indotto".

Corner reflector

L'idea del corner reflector è la seguente:



Si vedrà anche qui un effetto schiera usando dei piani di massa messi "a die dro".



Come si fa il progetto? Il cammino ottico deve essere tale per cui tutti i contributi sian in fase. Vedendo che:

$$SS' = 2 \times (d \sin \alpha)$$

e che:

$$P = SS' \cos \beta \quad \text{dove } \beta = 90^\circ - \alpha$$

per gli archi associati,

$$P = 2d \sin^2 \alpha$$

Questo deve essere $\lambda/2$: infatti, nota dell'inversione la fa il primo rimbollo; l'immagine è spostata di 180° ; P deve sfasare di altri 180° :

$$\frac{\lambda}{2} = 2d \sin^2 \alpha \implies \frac{d}{\lambda} = \frac{1}{4 \sin^2 \alpha}$$

Nota: se $\alpha = 45^\circ$, le immagini delle immagini coincidono; questo lo ottiene una schiera quadrata equivalente.

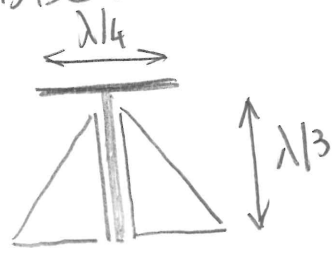
Antenna bionica - discone

Bionica:



2 coni affacciati per il vertice, alimentati per il punto di contatto.
 Simmetria assiale → irradiazione multidirezionale.
 È simile al dipolo, ma a bande più larghe: larghissima.

Discone: disk + cone: evoluzione della precedente:



Antenne bilanciate, prese dal "tagliare a metà" una biconica, e metterle al posto un piano di massa.
 Si alimenta in corrente dove il cono arriva da sotto, si solda il cono alla calza e l'antenna al protello.

Antenna log-periodica

Antenne indipendenti dalla frequenza

Il principio di Babinet dice che le irradiazioni di un'antenna e della sua complementare sono identiche: scambiando i "vuoti" col "piombo", l'antenna è uguale, per il metodo delle aperture.

Si ha un conduttore:

$$Z_{\text{antenna}} Z_{\text{complementare}} = \left(\frac{Z_0}{2}\right)^2 \Rightarrow \text{se } Z_{\text{ant}} = Z_{\text{complementare}}, \text{ le impedenze sono uguali a ogni frequenza!}$$

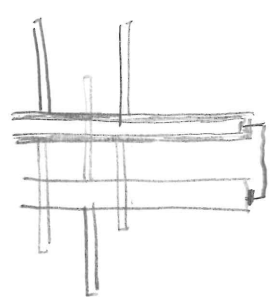
$Z_0 = 377 \Omega$

Ciò è ideale: servirebbero antenne di dim. infinito e con dimensione infinita.

Log-periodica (LPDA: Log-Periodic Dipole Array)

Data una bifilare che distribuisce la potenza, si fa una schiera con periodicità logaritmica: man mano che si va avanti, gli elementi diventano progressivamente più piccoli e le spaziature inferiori, secondo un rapporto costante.

Così si fanno: conoide saldato con la calza a un filo, con l'antenna all'altro: ad avere punto caldo e punto freddo.



Per la spaziatura per esempio (per le lunghezze vale lo stesso),

$$d_n = d_{n+1} \tau \quad \tau \text{ rapporto di periodicità}$$

Idea: se invece dello stesso λ_0 , associato a f_0 tanto τ fa,

$$\lambda_i = \frac{\lambda_0}{\tau^i} : \text{un po' come un insieme di radioré, dei quali solo 2 o 3 risuonano per volta!}$$

Data f_{min} e f_{max} :

$f_{min}: l_1 = \frac{\lambda_{max}}{4}$

f_{max} : essendo il dipolo più corto vicino all'alimentazione, il d. di momento è distale, serve un fattore correttivo $B \approx 1,5$ (grafico):

$f_{max}: l_n = \frac{\lambda_{min}}{4 B}$ B : fattore di banda attiva

Trova l_1 e l_n , si trova N :

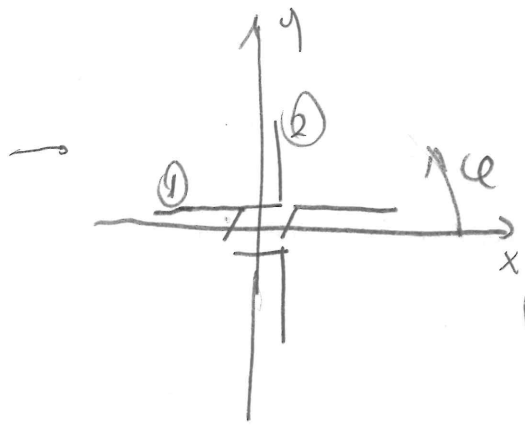
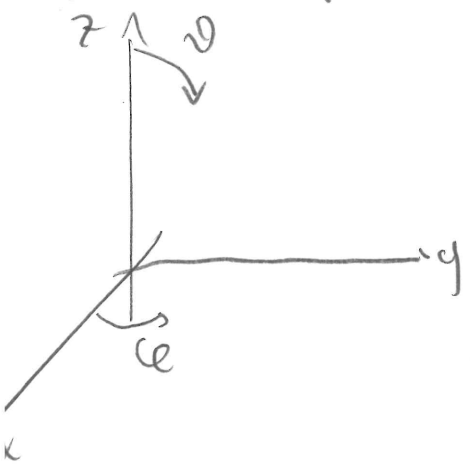
$$N = L + \frac{\log_{10} \left(\frac{f_{min}}{B f_{max}} \right)}{\log_{10}(2)}$$

Nota: come disegreto, la struttura deve essere tale da essere alternata in modo da avere dipoli alternati alternativamente: una volta il + sopra, una volta sotto...
Ciò deriva dalla desiderata autocomplementarità.
Grazie a questa inversione, inoltre la struttura è endfire.

Antenna turnstile

Esigenza: avere un'antenna omnidirezionale a polarizzazione orizzontale.

Idea: dato il seguente sistema di riferimento:



ho 2 dipoli: (1) e (2)

Si vede che:

$$E_z \approx \frac{N_2}{2\lambda R} \sin \alpha$$

$$E_x \approx \frac{N_1}{2\lambda R} \cos \alpha$$

("normali" i riferimenti dei dipoli, usualmente con l'asse in z)

Si suppone di avere conduttori in quadratura e quindi in modulo:

$$I_2 = j I_1 \rightarrow M_2 = j M_1$$

$$\hookrightarrow E = E_1 + E_2 = \frac{M}{2\lambda} \frac{\exp(-j\omega R)}{R} (\cos \omega t + j \sin \omega t)$$

da Eulero, ciò è il cerchio di raggio unitario!

Nota: in ampiezza, non si ha dipendenza da ω ! Ciò vale se i corpi son come spiro e coseno (dipoli elementari) ma la realtà non cambia troppo.

Nella direzione ortogonale (\hat{z}), che si ha? Su un piano una pol. orizzontale, sull'altra una verticale! \rightarrow pol. circolare risultante!

E questa è la "direzione più direttiva": su questo piano il campo è dato dalla somma dei moduli quadratici dei dipoli, dunque doppio!

Sull'axe orizzontale agisce solo 1 dipolo per volta, 2 su quello \hat{z} !

Data l'ortogonalità, non c'è rotta mutua.

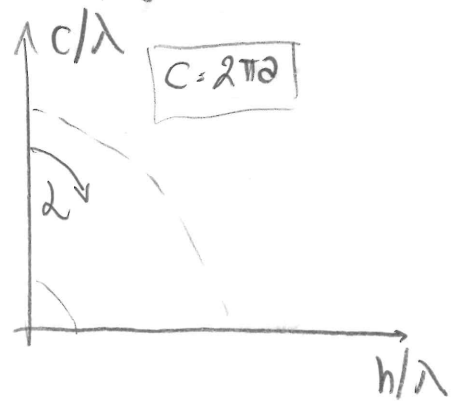
Antenne a elica

Un'elica (intesa come curva) è descrivibile come:

$$\begin{cases} \varphi = \alpha \\ z = \frac{h}{2\pi} \varphi \end{cases} \quad \left. \begin{array}{l} \text{dove } \alpha \text{ è una costante, detta} \\ \text{"raggio dell'elica", } h \text{ il "passo" dell'elica!} \end{array} \right\} \begin{array}{l} \text{Come } \varphi \text{ varia di } 2\pi \\ \text{(circonferenza) } z \\ \text{aumenta di } h. \end{array}$$

$h \rightarrow \varphi \Rightarrow$ spirale
 $C \rightarrow \varphi \Rightarrow$ linea

Per progettare l'elica si parte da qua:



l'angolo di inclinazione α è:

$$\alpha = \tan^{-1} \frac{h}{\pi a}$$

$$L_{\text{spira}} = \sqrt{(2\pi a)^2 + h^2}$$

2 tipi di eliche:

- in modo normale: molto piccole
- per cui $L/\lambda \approx 1$

La propagazione è simile a quella di una guida circolare metallica/dielettrica, ma, a causa dello cond. al contorno, la corrente scorre solo con angolo α ;

- modo assiale: la potenza è principalmente lungo l'asse;
- modo normale: la potenza è diretta perpendicolarmente all'asse.

Il fatto che la corrente fluisca solo con angolo α (lo cond. al contorno), $r_1 = r_2 = r_0$, dall'applicazione di ciò, l'equazione di dispersione, si ha $k_z > k_0$, quindi

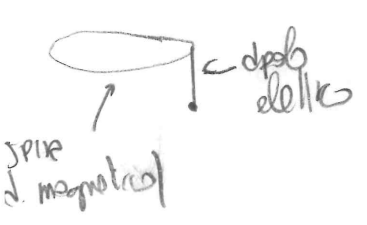
$v_f < \frac{\omega}{k_0} \Rightarrow$ onde lente

Modo normale

L'elica in modo normale ha un comportamento non troppo dissimile da quello di un dipolo, con un enorme vantaggio: esso è molto più corto! Il fatto che nella struttura le onde son lente, fa avere un λ_{eff} (monopolo + piano di massa) molto inferiore a quello del braccio del dipolo fisico.

La polarizzazione, per questo modo, può essere circolare o verticale: come detta un'elica può (al variare di α) degenerare in una spirale o in un filo; se:

- $\pi D = \sqrt{2} h \lambda$ allora la pol. è circolare: si come avere un dipolo elettrico e un dipolo magnetico con correnti di entità uguali
- se $\pi D \ll \sqrt{2} h \lambda$, prevale il comportamento del dipolo elettrico: pol. verticale.



Questo vale per $L \ll \lambda$: condizione di modo normale

Si può ricavare che:

$$\left(\frac{C}{v_z}\right)^2 = 1 + \left(\frac{h \lambda}{\pi D}\right)^2 \quad M \text{ da grafico.}$$

$\frac{v_z}{c}$ è "di quanto si vede ridurre la lunghezza della struttura rispetto al dipolo".

Modo assiale

In questo caso si ha a che fare con potenza prevalentemente sull'asse; in questo caso si chiede che C/λ sia circa unitario ($D \approx \lambda/\pi$), e si usi un angolo $\alpha \approx 25^\circ$; anche h è circa pari a $\lambda/3$ (regola generale empirica)

↳ ciò permette un'irradiazione di tipo omnidirez., e polarizzazione circolare.

Un metodo per studiare ciò è considerare l'elico come una schiera di spire, distanzate h , con dimensionamento di tipo progressivo.

L'impedenza di ingresso è abbastanza elevata, quindi (150Ω circa) bisogna "adattarla"; ciò si fa modificando la prima spira, avvicinandola al piano di massa, aumentando il diametro equivalente o ergo la capacità. Al più, 20 spire.

Il fattore di schiera può essere:

$$\Delta = \sin \frac{\pi}{2n} \frac{\sin(\frac{n\psi}{2})}{\sin(\frac{\psi}{2})}, \quad \psi = 2\pi \left(\frac{h}{\lambda} \cos \vartheta - \frac{L}{\lambda p} \right)$$

???

da Kraus: lottre do
 si ha, al posto di $\frac{L}{n}$,
 essendo una "onda"
 in direzionalità curvato
 (Hansen & Woodgard)

Si ricava che:

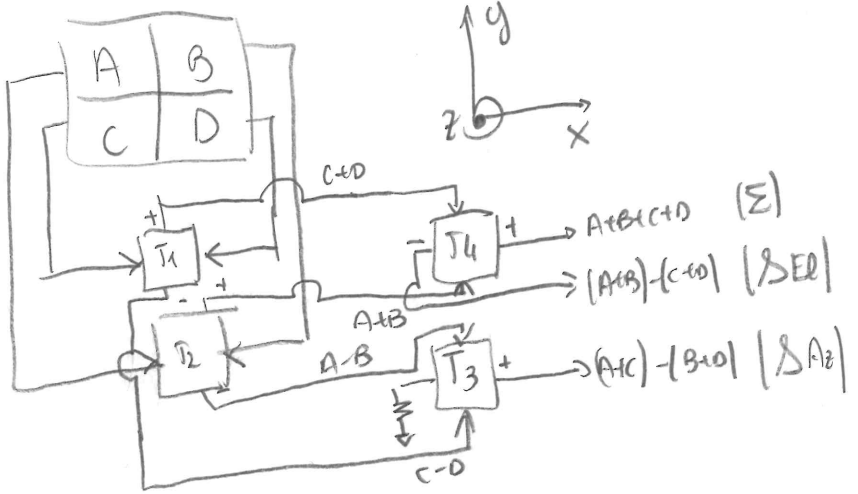
$$R \approx 140 \frac{c}{\lambda} \approx 140 \Omega$$

(come detto prima)

Quadri helix

Arrangement di antenna, per realizzare sistemi di tracking. Un poco direttiva (15 ÷ 20 dB)

Topologia: è una schiera planare 2x2;



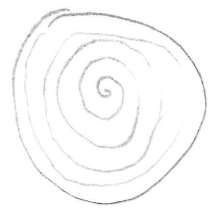
Si hanno 4 ibridi che fanno le combinazioni lineari dei segnali.

Modo Σ (somma): diagramma di irradiazione frontale, lungo z. Come normale schiera

Modo ΔE : $(A+B) - (c+d)$: i diagrammi di irradiazione di $(A+B)$ e $(c+d)$ si eliminano sul piano xz (quello che sono A+B da c+d); quando si localizza la sorgente in elevazione, si mantiene una nullo di percorso della cancellazione

Modo ΔA : analogo a prima, $(A+C) - (B+D)$.

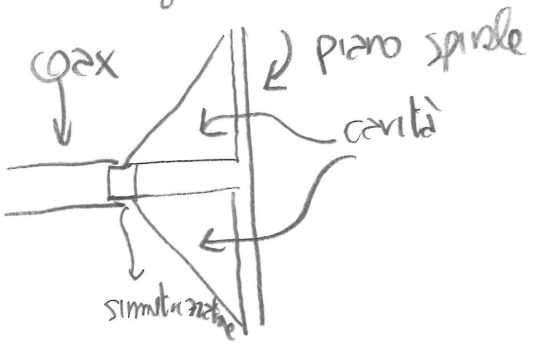
Antenna a spirale



si tratta di un altro tipo di antenne ideamente indipendente della frequenza; se si prende una spirale, un'altra e si rotano a 90° , si trova una struttura autoconplementare.

Vi sono diversi tipi di spirale: di Archimede, logaritmica...

Se la spirale è piena, si ha simmetria, ma in 2 direzioni: entrata e uscita del foglio. Si fa così:



In questo modo, la cavità fa tornare il segnale "verso destra", oltre tutto con una banda comunque larga.

Schiere di antenne

Le schiere sono degli insiemi di radiatori, disposti nello spazio in modo opportuno. Sono possibili disposizioni di ogni tipo, ma noi considereremo in particolare il caso di radiatori tutti uguali tra loro, egualmente orientati.

Supponendo che i radiatori siano modellabili con sorgenti di tipo "corrente elettrica", si ha:
 I_n : fattore di alimentazione
 r_{0n} : termine di traslazione del n-esimo elemento

$$J_e(\underline{r}) = \sum_{n=0}^{N-1} I_n J_{e0}(\underline{r}) \quad \text{dove } J_{e0}(\underline{r}) = \frac{I_n}{I_0} J_{e0}(\underline{r} - \underline{r}_{0n})$$

In far-field, il MEA di questa struttura è:

$$\begin{aligned} P_e(\hat{r}) &= \int_{V'} \underline{J}_e(\underline{r}') \exp(jk_0 \hat{r} \cdot \underline{r}') dV' = \int_{V'} I_0 \sum_{n=0}^{N-1} \frac{I_n}{I_0} J_{e0}(\underline{r}' - \underline{r}_{0n}) \exp(jk_0 \hat{r} \cdot \underline{r}') dV' = \\ &= \int_{V'} I_0 \sum_{n=0}^{N-1} a_n J_{e0}(\underline{r}') * \delta(\underline{r}' - \underline{r}_{0n}) \exp(jk_0 \hat{r} \cdot \underline{r}') dV' = \\ &= \int_{V'} I_0 \sum_{n=0}^{N-1} \int_{V''} \delta(\underline{r}'' - \underline{r}_{0n}) J_{e0}(\underline{r}' - \underline{r}'') \exp(jk_0 \hat{r} \cdot \underline{r}') \exp(jk_0 \hat{r} \cdot \underline{r}'') \exp(-jk_0 \hat{r} \cdot \underline{r}'') dV' dV'' = \\ &= \int_{V'} I_0 \sum_{n=0}^{N-1} a_n \int_{V''} \delta(\underline{r}'' - \underline{r}_{0n}) \exp(jk_0 \hat{r} \cdot \underline{r}'') \int J_{e0}(\underline{r}' - \underline{r}'') \exp(jk_0 \hat{r} \cdot (\underline{r}' - \underline{r}'')) dV'' = \\ &= \int_{V'} I_0 \sum_{n=0}^{N-1} a_n \exp(jk_0 \hat{r} \cdot \underline{r}_{0n}) \int_{V'} J_{e0}(\underline{r}' - \underline{r}_{0n}) \exp(jk_0 \hat{r} \cdot (\underline{r}' - \underline{r}_{0n})) dV' \end{aligned}$$

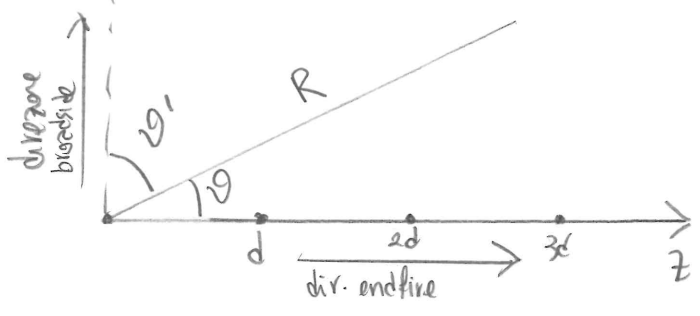
pongo $\underline{r}'' \cong \underline{r}' - \underline{r}_{0n}$

$$\hookrightarrow P_e(\hat{r}) = P_{e0}(\hat{r}) \sum_{n=0}^{N-1} a_n \exp(jk_0 \hat{r} \cdot \underline{r}_{0n}) \cong P_{e0}(\hat{r}) A(\hat{r})$$

\hookrightarrow fattore di schiera
 \hookrightarrow momento ottico generalizzato di uno dei radiatori (tutti uguali)

Questo è il "teorema fondamentale delle schiere":

il campo totale è dato dal prodotto del campo di uno dei radiatori, moltiplicato per il fattore di schiera.



Schiere lineari equispaziate

ulteriore semplificazione: si supponga che gli elementi stiano su una retta e siano tra loro equispaziati.

dato R il vettore del punto polarizzato è evidente che:

$$\underline{r}' = n d \hat{z} \rightarrow \underline{r}' \cdot \hat{R} = n d \cos \theta$$

$$\hookrightarrow A = \sum_{n=0}^{N-1} a_n \exp(jk_0 n d \cos \theta)$$

Ciò che a noi interessa determinare, per caratterizzare la schiera son gli a_n ; essi sono, in generale, numeri complessi:

$$a_n = |a_n| \exp(j \angle a_n) \text{ dove poi definisco } \angle a_n \hat{=} \angle a_n$$

Di solito, $\angle a_n = n\Phi$: valore di $\angle a_n$ che cresce progressivamente con n ;
 Φ : valore di sfasamento progressivo

$$\hookrightarrow A = \sum_{n=0}^{N-1} |a_n| \exp(jn(kd \cos \theta + \Phi)) \text{ definisco } \gamma \hat{=} kd \cos \theta + \Phi$$

$$\hookrightarrow A = \sum_{n=0}^{N-1} |a_n| \exp(jn\gamma) \text{ se ora, infine, definisco un } z \hat{=} \exp(j\gamma), \text{ ho:}$$

$$\hookrightarrow A = \sum_{n=0}^{N-1} |a_n| z^n, \quad z \in \mathbb{C}$$

Questa è la "formulazione polinomiale del fattore di schiera": il fattore di schiera è a tutti gli effetti un polinomio in campo complesso

Nel sistema di riferimento, θ varia da 0 a 180°: $\cos(0) = 1; \cos(180^\circ) = -1$

$$\hookrightarrow -kd + \Phi \leq \gamma \leq kd + \Phi \quad \Phi \text{ e } kd \text{ sono angoli; } \gamma \text{ può variare di } 360^\circ.$$

Ora: dati Φ e kd noti, si detta "campo di visibilità" l'insieme di angoli assumibili da γ ; se per esempio (il valore più importante) $kd = \pi$, ciò che si fa è coprire il "cerchio" intero una volta sola: almeno a Φ , γ varia di $\pm \pi$.

3 possibilità:

- $kd < \pi$: "copro" meno del cerchio di raggio unitario
- $kd > \pi$: "copro" più di una volta (un giro e qualcosa) il cerchio di raggio unitario.
- $kd = \pi \rightarrow \frac{2\pi}{\lambda} d = \pi \rightarrow \frac{d}{\lambda} = 0.5$: copro una sola volta il cerchio di raggio unitario.

$A(\gamma)$ è una funzione periodica di γ : dopo che γ fa il suo giro, riparte uguale al prima.

Se $d > \lambda/2$, si ha la "ripetizione parziale o totale" del fattore di schiera; il rischio è quello di avere "più di un lobo principale", cosa che riduce enormemente il guadagno (grating lobes)

Schiere uniformi:

Ulteriore semplificazione: $a_n = 1 \forall n$.

$$\rightarrow A(\gamma) = \sum_{n=0}^{N-1} \exp(jn\gamma) = \sum_{n=0}^{N-1} z^n = \frac{z^N - 1}{z - 1}$$

Questa espressione è interessante; determiniamone gli zeri!

Trick: si ha =

$$\frac{z^N - 1}{z - 1} = \frac{\exp(jN\gamma) - 1}{\exp(j\gamma) - 1} = \frac{\exp(j\frac{N}{2}\gamma)}{\exp(j\frac{\gamma}{2})} \frac{\exp(j\frac{N}{2}\gamma) - \exp(-j\frac{N}{2}\gamma)}{\exp(j\frac{\gamma}{2}) - \exp(-j\frac{\gamma}{2})} =$$

$$= \frac{\sin(N \frac{\gamma}{2})}{\sin(\frac{\gamma}{2})} \frac{\exp(-j)}{\exp(-j)} \Rightarrow |A(\gamma)| = \left| \frac{\sin(N \frac{\gamma}{2})}{\sin(\frac{\gamma}{2})} \right|$$

il secondo termine è di sola fase, dunque con il modulo si annulla

(T6)

Normalizziamo:

$$\lim_{\gamma \rightarrow 0} A(\gamma) = \frac{N \frac{\gamma}{2}}{\frac{\gamma}{2}} = N \rightarrow \text{per avere } \max\{A(\gamma)\} = \lim_{\gamma \rightarrow 0} A(\gamma) = 1$$

$$\hookrightarrow A(\gamma) = \frac{1}{N} \left| \frac{\sin(N \frac{\gamma}{2})}{\sin(\frac{\gamma}{2})} \right|$$

Caso particolare: $N=2$

Ripartiamo dalla sommatoria:

$$A(\gamma) = \sum_{n=0}^{N-1} z^n = 1+z \Rightarrow 1+z = 1+\exp(j\gamma) = \exp(j\frac{\gamma}{2}) \left[\exp(j\frac{\gamma}{2}) + \exp(-j\frac{\gamma}{2}) \right] \frac{1}{2}$$

$$|A(\gamma)|_{N=2} = \left| \cos\left(\frac{\gamma}{2}\right) \right|$$

Calcolo ora il livello dei lobi secondari: Considero il cambio di variabile $x = N \frac{\gamma}{2}$ voluto cioè per N molto

$$\hookrightarrow A(x) = \frac{1}{N} \left| \frac{\sin(x)}{\sin(\frac{x}{N})} \right|$$

grande: $\frac{x}{N} \rightarrow 0 \Rightarrow \sin\left(\frac{x}{N}\right) \approx \frac{x}{N}$

$$\hookrightarrow A(x) \approx \frac{1}{N} \frac{\sin(x)}{\frac{x}{N}} \rightarrow \text{come noto dalla teoria delle aperture, } \frac{\sin(x)}{x} \text{ ha il SLL a } -13 \text{ dB.}$$

Con una schiera uniforme i lobi secondari sono alti.
L'ipotesi dietro all'approssimazione dell'array factor con una $\text{sinc}(x)$ è " N grande"; a questa condizione, la schiera si comporta come un'apertura. A questa ipotesi, dunque, ho:

$$D_{3dB} \approx 0.88 \frac{\lambda}{L} = 0.88 \frac{\lambda}{Nd} \quad \text{(schiera Broadside)}$$

Per una schiera broadside, si può dimostrare (Balanis - Antenna Theory - 6.4.1 p. 313) che

$$D_{max} \approx 2 \frac{L}{\lambda} \quad \text{(data ipotesi di spaziatura piccola tra gli elementi) } (L \gg d)$$

Per una endfire (Balanis - 6.4.2)

$$D_{max} \approx 4 \left(\frac{L}{\lambda}\right) \quad L \gg d$$

Abbiamo parlato di schiera broadside e endfire; che significa?

- endfire: il massimo è diretto lungo l'asse della schiera
- broadside: i massimi (2) sono diretti normalmente alla schiera.

Sappiamo che il massimo del d. di irradiazione è per $\psi = \phi$; qual è il θ corrispondente al massimo del d. di irradiazione?

$$\psi = kd \cos \theta + \Phi \rightarrow kd \cos \theta + \Phi = \phi \rightarrow \cos \theta = -\frac{\Phi - \phi}{kd} \rightarrow \theta = \arccos\left(-\frac{\Phi - \phi}{kd}\right)$$

Dipende dallo sfasamento progressivo che imposto!

Volendo una endfire, $\theta = 0 \Rightarrow \cos(0) = -\frac{\Phi - \phi}{kd} \rightarrow \boxed{\Phi = -kd}$

Volendo una broadside, $\theta = 90^\circ$

$\hookrightarrow \cos 90^\circ = -\frac{\Phi - \phi}{kd}$ avendo $kd = \phi$ per broadside, $\boxed{\Phi = \phi} !!$

Separature ottimale

G dipende da L dalla lunghezza della schma; non solo dal numero di elementi!
Più lunga è la schma, meglio è la sua direttività, ma non si può stare, altrimenti si includono grating lobes nel visibile

Come si può determinare il d più grande per cui non si abbiano grating lobes? Beh, sappiamo che:

$$\Phi - kd \leq \psi \leq \Phi + kd$$

Il massimo kd è la posizione dell'ultimo zero, meno Φ !



Gli zeri sono equispaziati: essendo $\sin(N \frac{\psi}{2})$, $\sin(x) = 0$ per $x = n\pi$

$N \frac{\psi}{2} = n\pi \rightarrow \psi = \frac{2n\pi}{N} \rightarrow$ separature di π tra due zeri

Partendo da ϕ , l'ultimo zero prima del grating lobe è a $\frac{2\pi(N-1)}{N}$

$\hookrightarrow kd_{max} = 2\pi \frac{N-1}{N} - \Phi$

$\Phi = kd |\sin \psi_s|$: ψ_s angolo preso in direzione broadside (θ') [il cos. per questo diventa sin]

$\hookrightarrow kd_{max} = 2\pi \frac{N-1}{N} - kd |\sin(\psi_s)| \rightarrow kd (1 + |\sin \psi_s|) = 2\pi \frac{N-1}{N}$

$\hookrightarrow \frac{2\pi}{\lambda} d = 2\pi \frac{N-1}{N} \frac{1}{|\sin \psi_s| + 1}$

Nel caso broadside, $\psi_s = 0$, $\sin \psi_s = 0$, $d_{max} = \lambda \frac{N-1}{N}$

Nel caso endfire, $\psi_s = 90^\circ$, $\sin \psi_s = 1$, $d_{max} = \lambda \frac{N-1}{2N}$

Schiere non uniformi

Problema schiere uniformi: lobi alti

↳ si introduce un concetto simile a quello del tapering, al fine di ridurre o eliminare i lobi.

Schiere binomiale

Una funzione che NON ha lobi secondari e il coseno: $N=2$!

↳ $N=2 \rightarrow |A(\psi)| = |1+z| = \left| \cos\left(\frac{\psi}{2}\right) \right|$



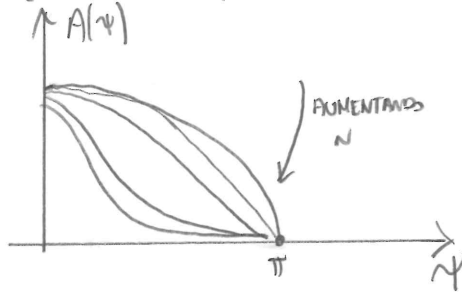
Consideriamo ora: data questa, si eleva alla $N-1$ il suddetto binomio:

$\cos^{N-1}\left(\frac{\psi}{2}\right) = |1+z|^{N-1}$

si han $N-1$ zeri, ma tutti su $z = -1$! $\psi = \pi$, ma non si han zeri!

Si ha qualcosa di questo tipo:

accumantando N , $A(\psi)$ diventa più direttiva ma senza aggiungere lobi secondari



ALIMENTAZIONE: triangolo di Tartaglia!

			1			
		1		1		
	1		2		1	
	1	3		3	1	
1		4	6		4	1

Il vantaggio è evidente: no lobi secondari. A parità di numero di elementi, il fascio è più largo quindi meno direttivo.

I coeff. di alimentazione si trovano mediante il sopra riportato triangolo di Tartaglia.

Schiere triangolare

Si parte da una schiera uniforme di N radiazioni:

$A(z) = 1 + z + z^2 + \dots + z^{N-1}$ (coeff. di alimentazione unitari)

Dato questo polinomio, lo si eleva a quadrato; si avrà, come risultato, un polinomio di grado $2N-1$, con coefficienti

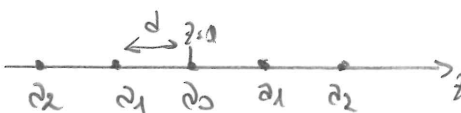
$1, 2, 3, \dots, N, N-1, \dots, 2, 1 \rightarrow$ "taper" con inviluppo triangolare.

Risultato:

- raddoppia il numero degli zeri
- dei $-13dB$ di prima, se ne han ora -26 (il quadrato) $|S_{11}|$
- si ha il doppio degli elementi.
- il fascio è circa $33 \frac{\lambda}{L}$; $G \approx 1,5 \frac{L}{\lambda}$.

Distribuzioni simmetriche

Tutto ciò che abbiamo visto riguarda numeri complessi. Introdotta però un vincolo sulla SIMMETRIA del "topo", si ottiene qualcosa di interessante.

Caso N dispari: dato un elemento centrale, si ha così (N-1): 

quello che si ha, volta per volta, a_1 ;
 $a_0 + a_2 \exp(j\psi) + a_2 \exp(-j\psi)$ essendo una volta " d " e una " $-d$ " $\rightarrow a_0 + 2a_2 \cos(\psi)$

↳ si trova, per N dispari:

$$A(\psi) = a_0 + 2 \sum_{n=1}^{N/2} a_n \cos\left(2n \frac{\psi}{2}\right)$$

per N pari, a_0 non c'è;

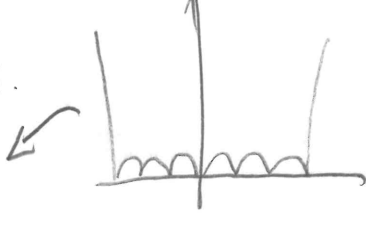
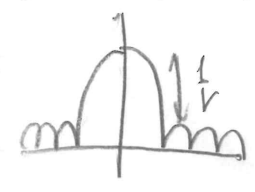
$$A(\psi) = 2 \sum_{n=1}^{N/2} a_n \cos\left[(2n-1) \frac{\psi}{2}\right]$$

Nota: si usa per normalizzare
cioè all'elemento maggiore, o
meglio fare in modo che $\max\{|A(\psi)|\} = 1$

Schiera alla Chebyshev (Dolph-Chebyshev)

Obiettivo: usare la proprietà del ripple per avere lobi secondari uguali.

I polinomi di Chebyshev hanno questo andamento:



vorrebbero una trasformazione per ottenere:

La trasformazione è: ricambiando "iniettante"

$$\psi = kd \cos \theta + \phi$$

per un certo x_0 , ho $T_m(x_0) = r$; r è "di quanto voglio il lobo principale sui secondari"

$T_m(x_0) = r$
Voglio che il $\psi = \phi$ (il massimo) sia per $x = x_0$:

$$\frac{\psi}{2} = \arccos\left(\frac{x}{x_0}\right) \rightarrow x = x_0 \cos\left(\frac{\psi}{2}\right)$$

IDEA: si è visto che: (per esempio per N dispari)

$$A(\psi) = a_0 + 2 \sum_{n=1}^{N/2} a_n \cos\left[2n \frac{\psi}{2}\right]$$

↳ sostituisco, qui, $\frac{\psi}{2} = \arccos\left(\frac{x}{x_0}\right)$:

$$A(\psi) = a_0 + 2 \sum_{n=1}^{N/2} a_n \cos\left[2n \arccos\left(\frac{x}{x_0}\right)\right] = a_0 + 2 \sum_{n=1}^{N/2} a_n T_{2n}(x)$$

per il N pari,

$$A(\psi) = 2 \sum_{n=1}^{N/2} a_n T_{2n-1}(x)$$

Como si progetta la schiera Chladnikov? Dato il numero di elementi, voglio: (N)

$\sum_{n=1}^N a_n T_n(\frac{x}{x_0}) T_{N-1}(x)$ ed equagliro!

QD: ca 6 elementi,

$\sum_{n=1}^3 a_n T_{2n-1}(x) = T_3(x)$

dove: $T_0(x) = 1$; $T_1(x) = x$; $T_{n+1}(x) = 2xT_n(x) - T_{n-1}(x)$

dove x_0 è:

$x_0 = \cosh\left[\frac{L}{N} \text{sechcosh}(r)\right]$ $r = -20 \text{ dB}$ per esempio!

Schiera continua

$I(x)$ è la funzione sviluppo delle denominazioni; un'idea della schiera, se N è elevato, è;

$A(\psi') \approx \int I(x) dx$, $\psi' = \psi \frac{N-1}{2}$

Di solito, per far conti alle buone, si può fare così.

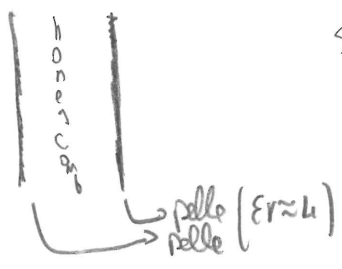
$\sum a_n \exp(jn\psi')$ somma di tante tras. di Fourier traslate di $2\pi n\psi'$; se L forme in realtà è non trascurabile.

↳ C'è si può fare se $d \leq 0.6\lambda$. circa.

Note: talvolta si usano "doppi a strise", in modo da aumentare l'area per la dissipazione del calore.

- RADOME: protezione (opacità o multiplo di $\lambda/2$)
- sandwich: due materiali molto sottili, e qualcosa o in base in mezzo (honeycomb)

si considera, qui, riflessione unica.



Nota: la loro di schiera e diagramme di irradiazione dell'elemento devono avere i massimi più o meno nella stessa zona, se no si "alternano a vicenda"!

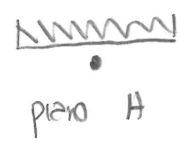
Piano di massa (Balanis, Antenna Theory, sec. 4.7)
 da p. 184

Nel caso della presenza di un piano di massa, si ha sostanzialmente a che fare con un array di 2 elementi: in questo caso, gli elementi sono più distanziati in opposto (principio delle immagini);

$$A(\psi) = 1 - z = 1 - \exp(j\psi) = -\exp(j\frac{\psi}{2}) \left[\exp(j\frac{\psi}{2}) - \exp(-j\frac{\psi}{2}) \right] = -\exp(j\frac{\psi}{2}) \sin|\frac{\psi}{2}|$$

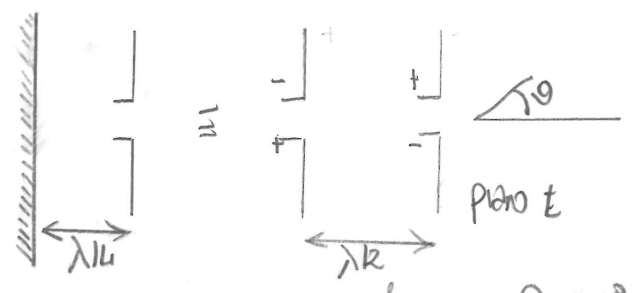
↳ $|A(\psi)| = |\sin(\frac{\psi}{2})|$ $\psi = kd \cos \theta$, θ rispetto endfire
 (ossia, sulla normale al piano)

Si usi $h = \frac{\lambda}{4}$ (distanza dell'elemento dal piano); $d = 2 \frac{\lambda}{4} = \frac{\lambda}{2}$



$$\rightarrow kd \cos \theta = \frac{2\pi f}{c} \frac{c}{2f_0} = \pi \frac{f}{f_0}$$

$$\hookrightarrow |A(\psi)| = \left| \sin\left(\frac{\pi}{2} \frac{f}{f_0} \cos \theta\right) \right|$$



Qual è, per questo, $\theta = 30^\circ$? boh!

$$\theta = 30^\circ = \theta: \sin\left(\frac{\pi}{2} \frac{f}{f_0} \cos \theta\right) = \frac{\sqrt{2}}{2} \rightarrow \frac{\pi}{2} \frac{f}{f_0} \cos \theta = \frac{\pi}{4} \rightarrow \theta: \cos \theta = \frac{1}{2} \rightarrow \theta = 60^\circ$$

Quindi, rispetto a un $\sin \theta$, l'antenna (la schiera) è meno direttiva.

Nota: per il piano H, a posto così; per il piano E, c'è da tenere anche in conto la presenza del diagramma del dipolo!

Nota: si ha una funzione della frequenza f , che capita a $f \neq f_0$?

• se $f > f_0$ $\frac{f}{f_0} > 1$: per $\cos \theta = 1$, si ha più di $\frac{\pi}{2}$ come argomento. Per $x > \frac{\pi}{2}$, si è "oltre il massimo": il massimo sarà circa a $\arccos\left(\frac{f_0}{f}\right) \leftrightarrow \left(\frac{\pi}{2} \frac{f}{f_0} \cos \theta = \frac{\pi}{2} \rightarrow \cos \theta = \frac{f_0}{f}\right)$



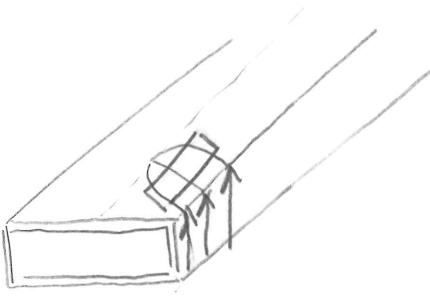
• se $f < f_0$, si parte da un massimo, ma "dopo $\frac{\pi}{2}$ ": il valore iniziale sarà un massimo, ma "più basso".

↳ meglio; nota: non si mette il dipolo troppo vicino altrimenti si ha un cortocircuito al piano di massa!

Antenne a fessura

Un modo per realizzare

schiera è basato sulle fessure su guide d'onda.



fare una fessura tale per cui essa contenga un certo numero di linee di corrente, in modo tale da avere del campo in essa.

Se si fa quanto appena detto le correnti "girano attorno" alla fessura, inducendo sulla medesima un campo, che sarà, essendo le correnti disposte in modo simile a quello della guida "principale" rispetto alla sua bocca, simile al campo della guida stessa: un TE₁₀ circa.

Applico il teorema di equivalenza:

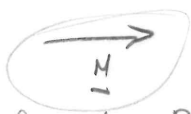
$$M_{ss} = 2 E_s \times \hat{n}$$

→ E_s è non nullo solo sull'apertura!

Possiamo preoccuparci della sola fessura:



Questo è equivalente a un dipolo magnetico che ruota verticalmente.



(regola della mano destra).

Vogliamo progettare una schiera di questi elementi. Per farlo, ricorriamo a un equivalente circuitale a p. distribuiti / concentrati: la fessura avrà una conduttanza di modulo

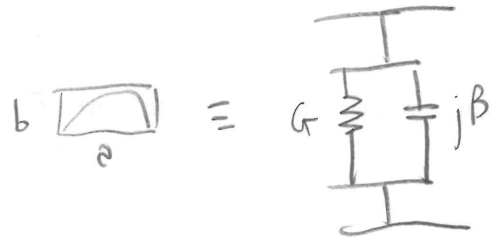
G_{irr}; si ha:

$$P_{irr} = V G_{irr}$$

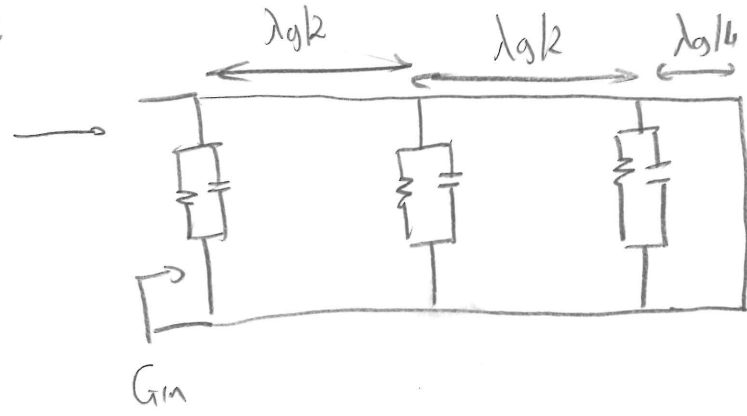
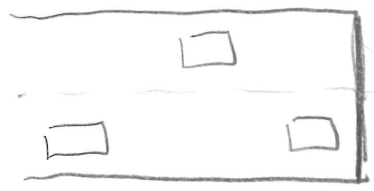
ma si sa, dal TE₁₀, che:

$$P_{irr} \propto \sin^2\left(\frac{\pi}{a} x\right) \Rightarrow G_{irr} \equiv G = G_0 \sin^2\left(\frac{\pi}{a} x\right)$$

"x" è la posizione della fessura sulla guida. G₀ è la conduttanza della prima fessura.



Come si fa la schiera? Così:



Valendo G_m,

$$G_m = \sum_i G_i$$

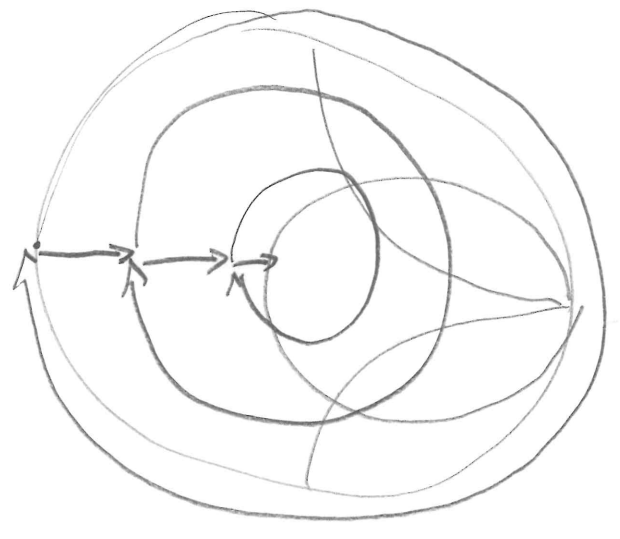
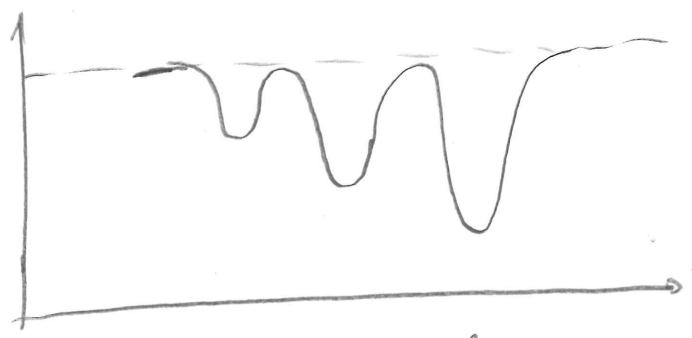
avendo N fessure uguali, basta chiedere $G_i = \frac{G}{N}$!

$$G_i = \frac{G}{N}$$

Ragioniamo sulla tensione:

$$V(z) = V^+ [1 - \Gamma_I(z)]$$

Capita cioè:



la tensione si prossima sul massimo, poiché la discontinuità di impedenza non è una discontinuità che modifica la tensione; il ROS invece si riduce, volta per volta.

Si ricordi però che:

$$V^+ = V_0^+ \exp(-j \times z) \rightsquigarrow \text{con } z = \frac{\lambda}{2}, \frac{2\pi}{\lambda} \frac{\lambda}{2} = \pi = 180^\circ; \text{ la fase, a ogni } \lambda/2, \text{ si inverte e basta!}$$

↳ si "scombinano i morsetti", mettendo una fessura da una parte, una nell'altra, e così via.

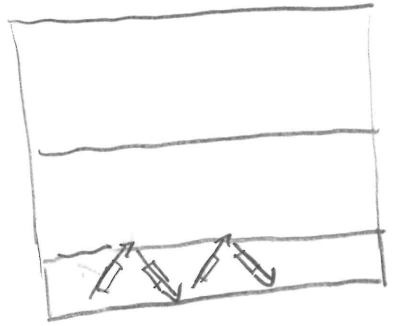
NOTA: si potrebbero distanziare gli elementi λ_g , ed evitare lo scambio di polarità; ma, essendo $\lambda < \lambda_g$, si avrebbero grating lobes.

Soluzione: "allentare λ_g ", riempiendo la struttura di dielettrico.

Có he vantaggi: un migliore allineamento evita di provocare distorsioni al d. di irradiazione.

$$a \approx \lambda_0/2 \text{ (strutture a banda stretta)}; \quad b \approx \frac{a}{10};$$

Strutture a pol. orientate:



In questa, fare le aperture verticali non taglierebbe corrente, quelle orizzontali ne taglierebbero troppo; così si ha ogni volta 2 dipoli orientati all'oposto, e le componenti di polarizzazione verticale si elidono!

Antenne stampate

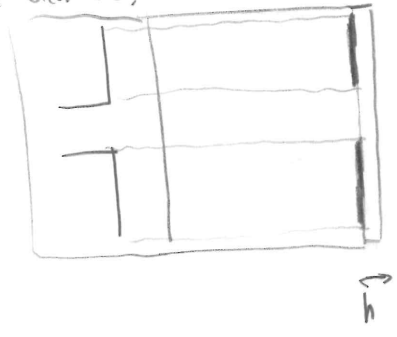
3 tipi di "antenne stampate".

Antenne a supporto dielettrico

Si tratta di antenne in cui il dielettrico lo è da supporto fisso alla metallo raso; il supporto è di spessore h ; $h \ll \lambda$ ($h \approx \frac{1}{10} \lambda$ per es.), e come se la struttura fosse in aria.

Si possono fare dipoli stampati: invece di avere un cilindro, si stampa sul piano. Ciò non ha un piano di massa. Si può dimostrare che ciò coincide a un dipolo di diametro:

$d_{eq} = \frac{W}{2}$; si proietta come il dipolo di solito.

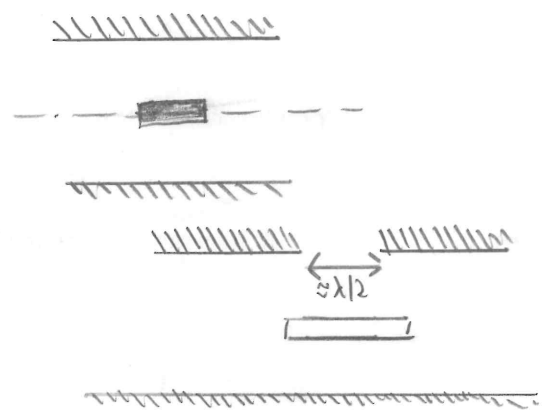


Vantaggio: facile da realizzare

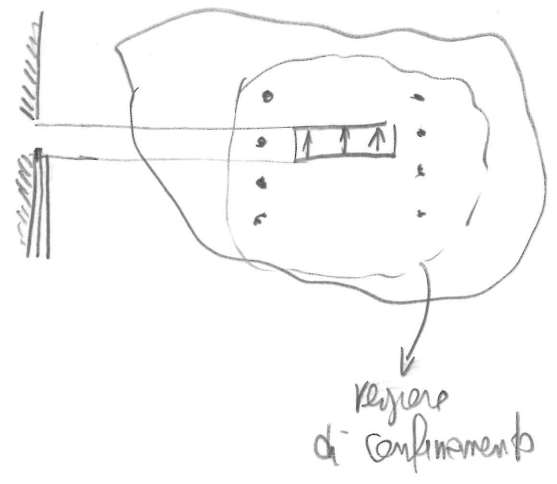
Svantaggio: l'assemblaggio è problematico; si recupera la microstriscia, mettendo un piano di massa sotto dunque facendo un "monopolo stampato su piano di massa": si dimentica in simmetria tramite accoppiamento elettromagnetico.

Antenne stripline

La stripline è una semplice struttura: 2 piani di massa, e in mezzo una pista. Posson essere dielettrici; centrali, per esempio per "tenere su la pista" (suspended stripline), e si dovrà colare uno Emedia.



Per farla lavorare si pratica una fessura su uno dei piani di massa; il campo elettrico tangenziale è non nullo sulla fessura, perpendicolare alla dir. massa; ciò è come un'apertura. Ciò si può dimostrare in cavale, saldando la calza con la parte interna, l'anno su quella superiore: come un generatore.



Per non perturbare il resto della struttura si mettono dei shorting pin: essi fanno in modo che la perturbazione rimanga confinata nella regione segnata.

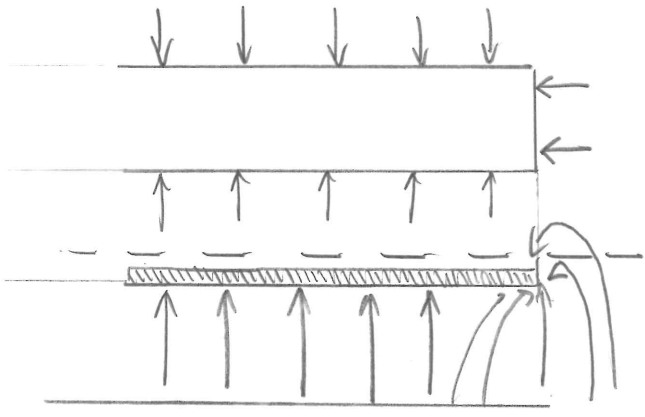
Si cortocircuita il campo rendendolo monodirezionale e i pin son vicini: come una sorta di cavità risonante!

"low profile": utili per esempio negli aerei!

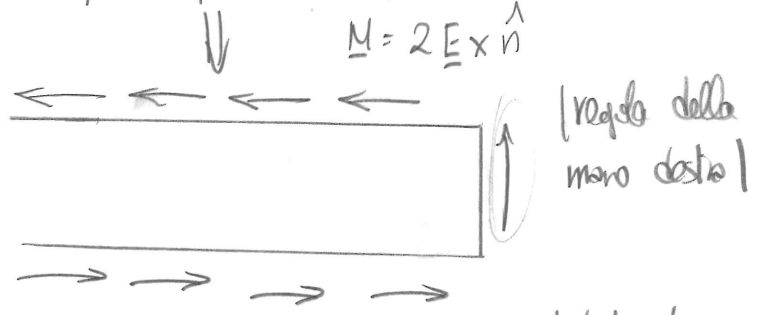
Antenne in microstriscia

La microstriscia è una struttura che supporta un modo qu_{0x-TE} , usando una Effl. "media" tra aria e dielettrico (essendo le linee di campo un po' in aria un po' nell'altro).
 Si ha un piano di massa o AV ; alimentazione sbilanciata.

Il comportamento elettromagnetico di una linea in microstriscia è:



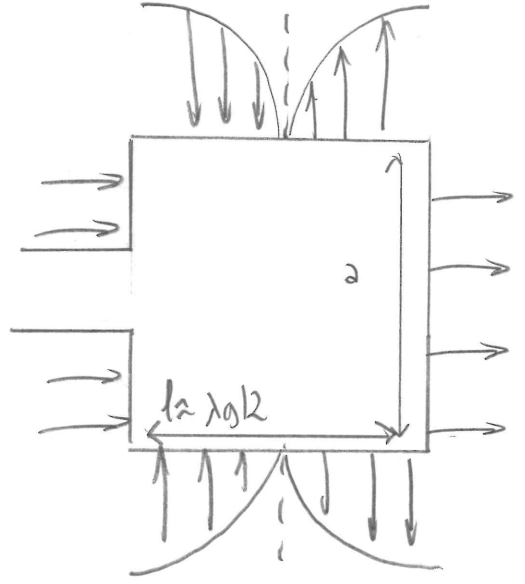
applicando il teorema di equivalenza a questo piano, si vede così:



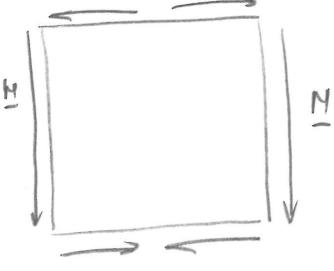
Dal momento che una linea in microstriscia è piuttosto sottile, l'unico contributo di corrente che non si "annulla", quello "verticale", è ridotto. La struttura è leggermente irradiante: la troncatura lo è.

Antenne patch

Si ha qualcosa del genere: lungo l circa lungo $\lambda_g/2$, si ha un comportamento da "linea di trasmissione"; dopo $\lambda_g/4$ da open si vede uno short, poi tornare e campo hanno inversore di segno.



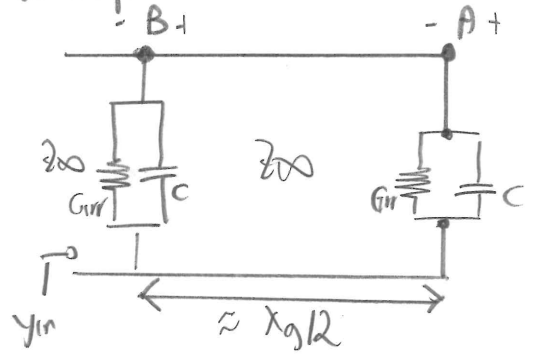
Applicando il th. di eq., si ricava un comportamento di questo tipo: le correnti ai lati orizzontali si elidono, e rimangono le 2 di lati verticali, che si comportano come una schiera di 2 elementi "dipoli magnetici". I due lati orizzontali sono detti "non-radiating edges".



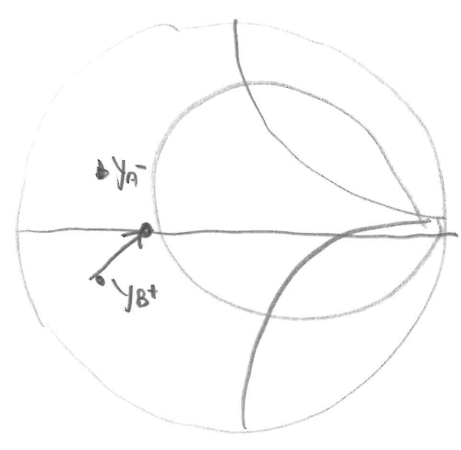
La polarizzazione qui è orizzontale; regola di massima è: il campo elettrico sta nel verso dell'alimentazione.

Il modello circuitale è il seguente:

si continua a scrivere che la linea è circa $\lambda_g/2$, $\lambda_g = \lambda_0 / \sqrt{\epsilon_{eff}}$; perché? Beh, volendo avere una struttura risonante, Y_{in} deve essere reale; $Y_B \in \mathbb{R}$.



All'ingresso si vede il perdello dei due blocchi; su Y_A^- ci sarà qualcosa di capacitivo; essendo i due bipoli (e i relativi modelli circuitali) uguali, devo fare in modo che vedore $Y_B^+ = Y_A^-$, in modo che sommando il circuito concentrato in B_1 in B_2 si veda qualcosa di puramente reale.

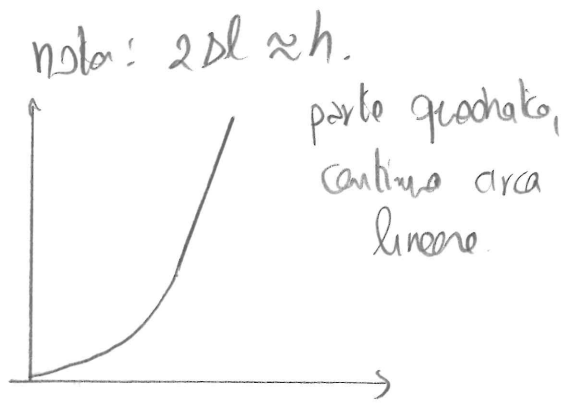


$2l \approx 0.1412 \lambda$, circa sempre (esiste una formula esatta);

↳ devo fare in modo che $l + \underbrace{2l}_{\substack{\text{2 capacità di} \\ \text{Fring} \\ \text{e } G}} = \lambda g/2 = \text{così si "eliminano le reattanze"}$.

Si può calcolare C come:

$$C = \frac{\sqrt{\epsilon_0 \epsilon_r} \Delta l}{c Z_0} \quad c = 3 \times 10^8 \text{ m/s.} \quad G \approx 90 \left(\frac{2}{\lambda}\right)^2$$



Si vede che $P_{irr} = G V^2$, P_{irr} calcolabile con l'integrale del dipolo. Si vede che:

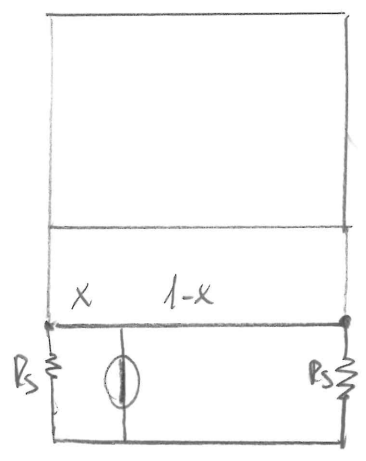
Facciamo due conti: se $\omega/\lambda \approx 1/3$, $G \approx 900 \Omega$, per all'ingresso $900 \Omega // 900 \Omega \approx 450 \Omega$; molto elevata. Come si fa a entrare con una linea ragionevole?

Beh, nessuno ci vieta di "entrare a metà"; se $x = 1-x = \lambda g/4$,

il generatore vede: (Suppongo $Z_0 = 50 \Omega$)
 $R_{sx} = R_{tx} = \frac{(50 \Omega)^2}{900 \Omega} = 2.78 \Omega$

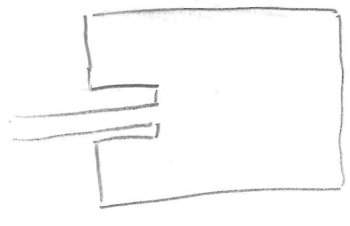
ma, con un certo x e $\lambda/2 - x$, mi mette a posto!

↳ approssimando, la soluzione per entrare con 50Ω è data da $x = 1/4$ del patch.



Per realizzare ciò, 2 tecniche:

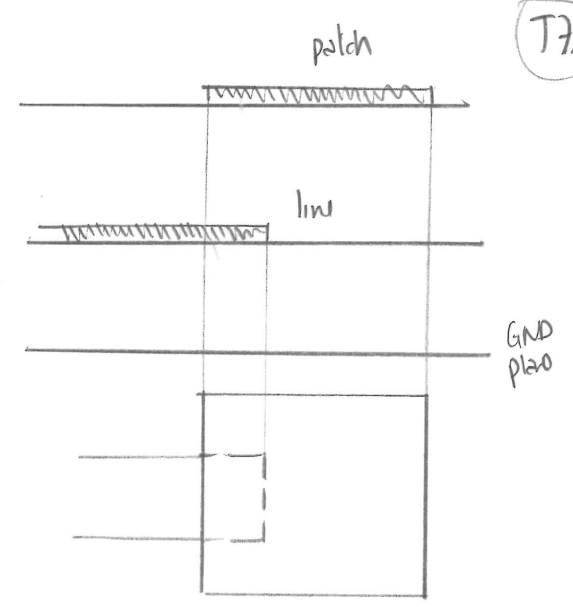
- monolitico: si fa una "recessione": tagli nella microstruttura
- alimentare in coax, facendo passare attraverso il substrato.



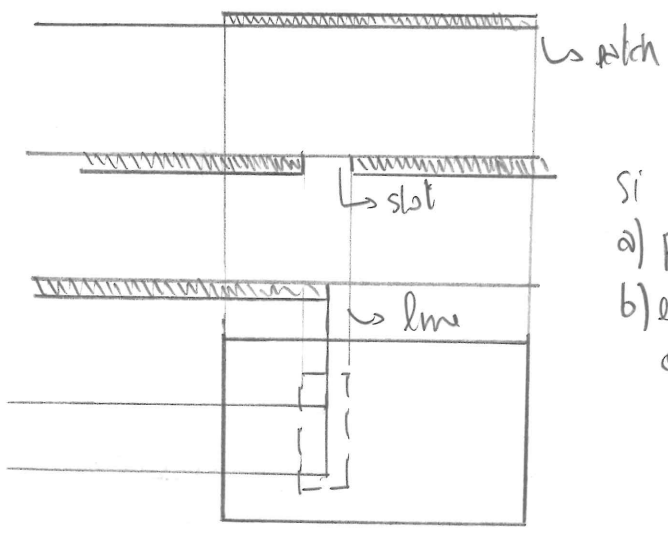
Altre configurazioni

Accoppiamento elettromagnetico: si tronca la linea di alimentazione; il troncamento genera un campo di frangia, che eccita il patch.

Nota: il patch è un po' come una cavità, con sopra e sotto del PEC, a meno del PMC.



Accoppiamento a fessure: si fa qualcosa di questo tipo:



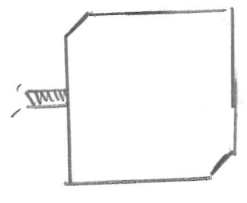
si ha uno slot, che
 a) permette l'accoppiamento
 b) evita perturbazioni del d. di mezza zona dovute alle correnti della linea.

Altri patch:

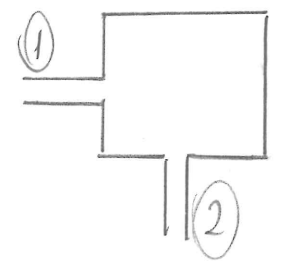
- cerchio: simile al rettangolo
- anulare: dimensioni più ridotte: $\approx \lambda/3$ (vantaggio se si hanno problemi di spazio)

Per la patch circolare:

- Rettangolo "smussato" a 45°



si sfrutta il fatto che il diagramma di onde stazionarie al centro è nullo per dire che $S_{12} = S_{21} = 0$; le due "porte" non parlano, quindi si può "dimenticare" in qualche modo il patch, per dargli la patch circolare.



Ciò si usa sui SAR, per coprire a risonanza delle polarizzazioni che fanno indietro il tipo di monodirezionale.

Volendo allargare la banda, si può mettere un patch parasita di dimensioni leggermente diverse, per avere un'impedenza più costante con f .

Schiere a scansione elettronica

Partendo per esempio da una schiera con fase relativa $\Phi = \phi$ di alimentazione, dunque broadside (per esempio). Si introduce uno sfasamento, $\Phi = (n-1)\Phi$; quando $\Phi = \Phi$ che sia variabile si ha:

$\theta_s = \arcsin\left(-\frac{\Phi}{kd}\right) \rightarrow$ varia l'angolo di scansione.

Si ha una relazione tra Φ o kd ; questa equazione va "accoppiata" con la ben nota:

$K_{dmax} = \frac{N-1}{N} \frac{1}{1+|\sin(\theta_s)|} \rightarrow$ dato θ_s l'angolo di scansione

Chiarire!

Vorriamo capire dunque come fare per effettuare variazioni di fase; la prima idea è uno sfasatore digitale, ossia uno sfasatore che introduce un Φ del tipo:

$\Phi = m \Phi'$ Φ' è un certo sfasamento, "m" un numero intero.

Il caso più comune è quello di avere:

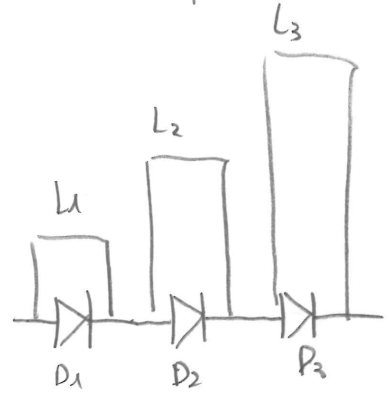
$\Phi' = \frac{2\pi}{2^B}$: B è il "numero di bit dello sfasatore". Qui prendo 2π (range $[0; 2\pi]$), e lo divido in intervalli equispaziati di questo tipo.

Studiamo ora 2 implementazioni di ciò

Sfasatore a diodi

Un'idea per realizzare uno sfasatore è la seguente:

a seconda del bias point del diodo (acceso/spento), si fa passare il segnale



- $L_1 = \lambda/8$
- $L_2 = \lambda/2$
- $L_3 = \lambda/4$

o per evn, o per la microstriscia; si possono così ottenere sfasamenti multipli di $\lambda/4$.

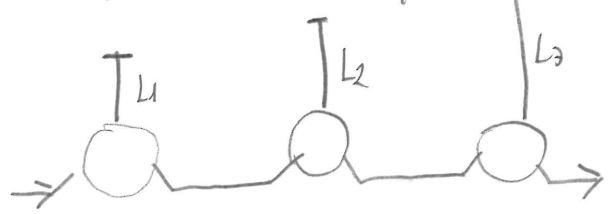
Limiti: potenze / frequenza troppo elevata non si possono usare, a causa di diodi/microstriscia

Sfasatori a circolatori

Idea simile, implementazione diversa;

a seconda della corrente sulla ferrite,

- $L_1 = \lambda/16$
- $L_2 = \lambda/8$
- $L_3 = \lambda/4$



i circolatori saranno in verso orario o antiorario; in verso orario funziona sulle

guide (qua tutto è in guida per tollerare potenze/frequenze elevate), quindi van "avanti e indietro" (si trovano uno short), sfasandosi 2 volte.

Questo sistema si può usare, ma a causa delle ferrite, consuma molto più

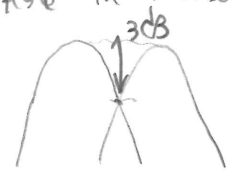
di prime

Determinazione del numero di bit

Come si determina il numero di bit? Beh:

- se ho pochi scatti, da un lato ho sbratori economici, dall'altro pochi fasci, dunque una copertura non "costante"
- se ne ho troppi, gli sbratori costano molto.

Idea: un parametro ottimale è un livello di intersezione tra i fasci di 3 dB; come un lobo sordo di 3 dB, ho un altro fascio.



Dalle formule approssimate,

$$v_{3dB} \approx 0.88 \frac{\lambda}{L}$$

Come noto:

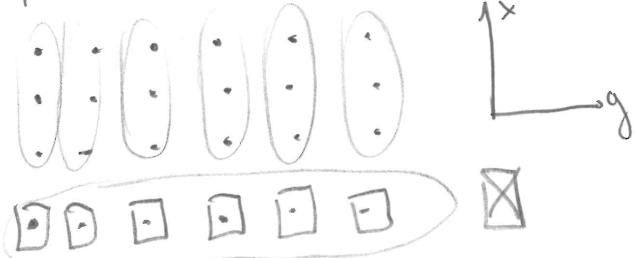
$$\sin \vartheta_s = -\frac{\Phi}{kd} \quad \text{un incremento di questo è: } \Delta \vartheta_s \cdot \frac{\Delta \Phi}{kd} \quad ; \quad kd = \frac{2\pi}{\lambda} d$$

$$\text{dove } \Delta \Phi = \frac{2\pi}{2^B} \quad ; \quad |\Delta \vartheta_s| = \frac{2\pi}{2^B} \frac{\lambda}{2\pi d} = \frac{\lambda}{L}$$

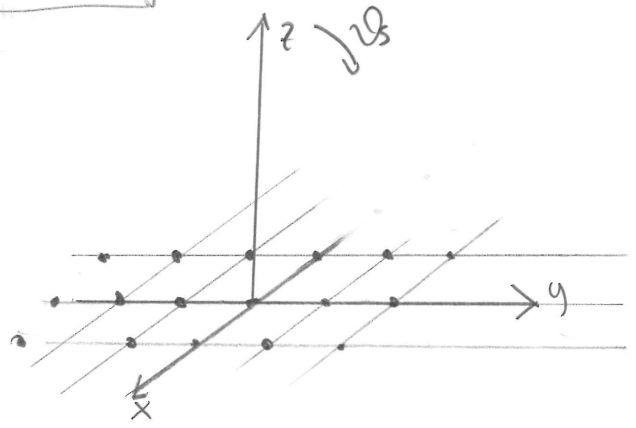
$$\Rightarrow \frac{\lambda}{2^B d} = \frac{\lambda}{L} \Rightarrow L = N d \Rightarrow \boxed{N = 2^B}$$

Schiere di schiere

Si consideri un sistema come questo; questo si può vedere come:



↳ subarrays



Come una schiera di 6 elementi in verticale e 3 orizzontale.

Ragionando in modo simile alla schiera normale, l'integrale di irradiazione si discretizza, diventando:

$$A = \sum_{m,n} A_{mn} \exp(jk \underline{r}' \cdot \hat{R})$$

me qua siamo rispetto al nostro riferimento, sul piano $z=0$!

$$\underline{r}' = (m-1) dx \hat{x} + (n-1) dy \hat{y}$$

dove dx è la distanza "orizzontale" tra 2 elementi, dy quella verticale;

$$\therefore \hat{R} = \hat{x} \sin \vartheta \cos \varphi + \hat{y} \sin \vartheta \sin \varphi + \hat{z} \cos \vartheta \Rightarrow \underline{r}' \cdot \hat{R} = (m-1) dx \sin \vartheta \cos \varphi + (n-1) dy \sin \vartheta \sin \varphi$$

Come visto nelle aperture:

$$u = \sin \theta \cos \alpha; \quad v = \sin \theta \sin \alpha; \quad \Rightarrow \quad \gamma_1 \triangleq k d_x u; \quad \gamma_2 \triangleq k d_y v$$

$$\hookrightarrow A(\gamma_1, \gamma_2) = \sum_{m=1}^M \sum_{n=1}^N a_{mn} \exp(j(m-1)\gamma_1) \exp(j(n-1)\gamma_2)$$

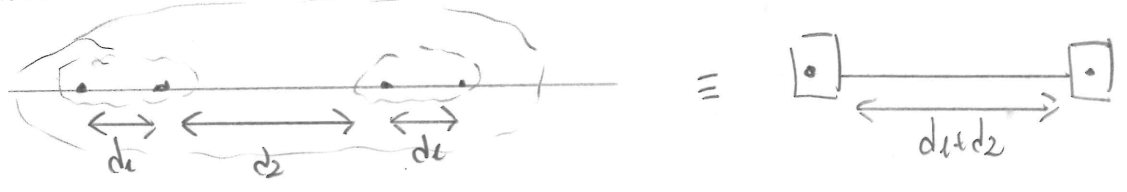
se $a_{mn} = 1$ o comunque se son disaccoppiabili:

$$\hookrightarrow A(\gamma_1, \gamma_2) = \left[\sum_{m=1}^M \exp(j(m-1)\gamma_1) \right] \left[\sum_{n=1}^N \exp(j(n-1)\gamma_2) \right]$$

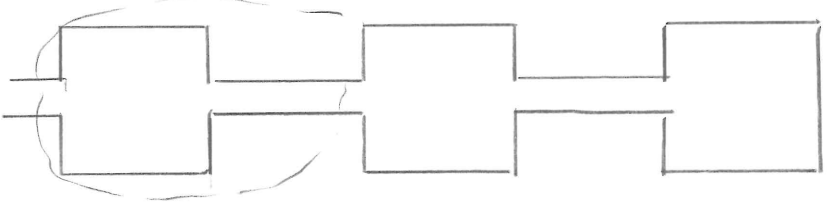
$$= \frac{l}{MN} \frac{\sin\left(M \frac{\gamma_1}{2}\right)}{\sin\left(\frac{\gamma_1}{2}\right)} \frac{\sin\left(N \frac{\gamma_2}{2}\right)}{\sin\left(\frac{\gamma_2}{2}\right)} \Rightarrow \text{qualcosa di simile all'apertura rettangolare.}$$

Nota: volendo garantire l'assenza di grating lobes si può lavorare sulle singole.

Le schiere di schiere non servono solo per studiare schiere planari: un'altra configurazione è:

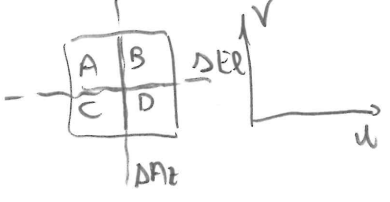


Ciò si può per esempio usare su una schiera di patch di questo tipo:



questo schema è interessante perché abbassa anche l'impedenza!

Quadri helix



ora si può determinare il d. di irradiazione!

Σ : tutti direttori uguali! $\cos\left(\frac{\gamma_1}{2}\right) \cos\left(\frac{\gamma_2}{2}\right)$!

ΔE : A e B uguali (+), C e D idem (-): $\cos\left(\frac{\gamma_1}{2}\right) \sin\left(\frac{\gamma_2}{2}\right)$

$\Delta A Z$: il dede: A e C, B e D: $\cos\left(\frac{\gamma_2}{2}\right) \sin\left(\frac{\gamma_1}{2}\right)$

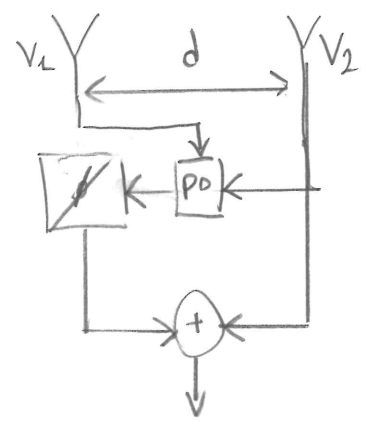
Questa è un'analisi dei d. di irradiazione nei vari modi.

Antenne adattative / smart antennas

Schiere adattative: "sentono" il fascio e autosintonizzano il proprio d. di irradiazione in tal senso, in tal direzione:



Lo schema "ideale" è questo:



si ha che:

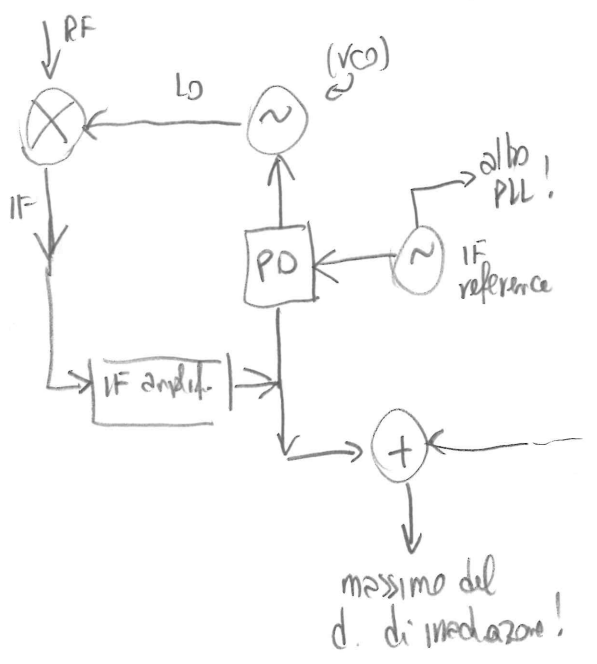
$$V_2 = V_1 \exp(-j \phi), \quad \phi = k d \sin \theta$$

i segnali sono sostanzialmente uguali in modulo, non in fase; in questo modo, con uno sfasatore comandato da un Phase Detector, si mette a posto in automatico.

Problema: questo schema lavora a RF, quindi il segnale a RF non è condizionato, e c'è molto rumore. Uno schema più avanzato e utile sarebbe basato sull'eterodina:

si down converte il segnale, e così si fa la sincronizzazione di fase con un PLL ma allo IF, non a RF!

Questo si fa su ciascuno degli elementi.



Il segnale correttivo ha in modo da portare in fase i 2 radiatori, o meglio V1 e V2, ruotando i fasci:

i fasci:



uno riceve più dell'altro! se annulla e, allora ruota il fascio!

massimo del d. di modulazione!

Misure su antenne

Per caratterizzare un'antenna, è fondamentale conoscere 5 cose:

- quadrupolo massimo
- pluritudine
- $d(\theta, \phi)$
- fase
- adattamento

Le varie misure devono essere tali da avere/embare le condizioni:

$$\begin{cases} R > \frac{2D^2}{\lambda} \\ R >> \lambda \quad (\text{p.es. } 10\lambda) \end{cases}$$

L'ambiente deve essere privo di riflessioni.

Misure di adattamento

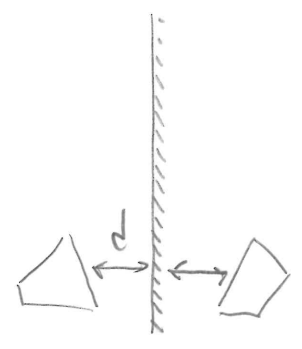
2 tipi di effetti: quello "da modello circuitale", che si risolve con un adattatore, ma anche gli effetti del campo di misura: se "torre metro" della potenza, ho disadattamento. se si ha pareti, si applica il th. dell'immagine, ed è come avere 2 antenne. La potenza ricevuta in quello vero è:

$$\frac{P_R}{P_T} = \frac{\lambda^2 G(\theta)}{4\pi(2d)^2} = |\Gamma_s|^2$$

HO 2 CONTRIBUTI DI DISADATTAMENTO:

$$\Gamma = \Gamma_0 + \Gamma_s \rightarrow \text{la cui fase NON È NOTA!}$$

↳ disadattamento "circuitale".



$$\rightarrow |\Gamma_s| = \frac{\lambda G(\theta)}{8\pi d}$$

Per desensibilizzare la misura di Γ_s :

- uso h molto grande (non sempre possibile)
- uso $G(\theta)$ piccolo: punta rispetto alla parete
- Caratterizzo Γ_s : facendo 3 misure, identico il "cerchio", quindi il mio centro Γ_0 ; Γ_s sarà l'altro.

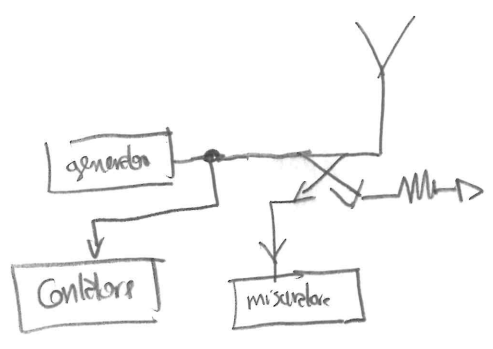
• filtraggio time domain: prendo la misura da Γ (che sarà un fascio $\Gamma(\omega)$), la antitrasformo, e prendo solo i primi picchi: quella più avanti nel tempo sono arrivati dopo perché vengono dalla parete; ritrasformo solo la parte "buona" e ottengo $\tilde{\Gamma} \approx \Gamma_0$



Ci sono normative: da 30 a 1000 MHz, si devono soddisfare: C_1, C_2 da norme.

$$\begin{cases} d > C_1 G(\theta, \phi) \lambda \\ d > C_2 \lambda \rightarrow \text{max. dim. antenna.} \end{cases}$$

Scheme di misure:



Calibro prima calibrando i morsetti, e misuro; collego poi la ANT, e misuro il rapporto tra il segnale ricevuto e quello di rif.

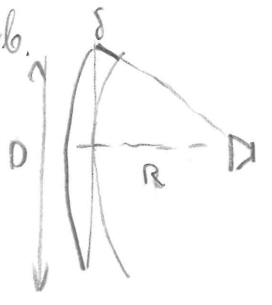
Misure del d. di irradiazione.

Serve una seconda antenna, "sonda"; servono: ipotesi $\begin{cases} \text{campo lontano} \\ \text{no riflessioni} \\ \text{campo uniforme} \end{cases}$

Il campo uniforme serve perché noi misuriamo il rapporto tra campo ricevuto e incidente, quindi quello incidente dobbiamo conoscerlo.

Errore di fase: se $\delta L \ll \lambda/10$, c'è poca distorsione.

$$R^2 + \frac{D^2}{4} = (R + \delta)^2 = R^2 + 2R\delta + \delta^2 \rightarrow R = \frac{D^2}{8\delta} > \frac{D^2}{8\lambda/10} = \frac{2D^2}{\lambda}$$

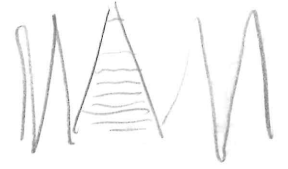


Altezza a cui si posizionano le antenne: angolo θ rispetto all'asse tale per cui $\theta \geq \theta_0$, θ dell'angolo del d. di irr.

$$\theta_0 \approx \frac{\lambda}{D} \Rightarrow \theta = \arctan\left(\frac{h}{\frac{\lambda}{2}}\right) = \arctan\left(\frac{2h}{\lambda}\right) \rightarrow \frac{2h}{\lambda} \gg \frac{\lambda}{D} \rightarrow h > \frac{\lambda R}{2D}$$

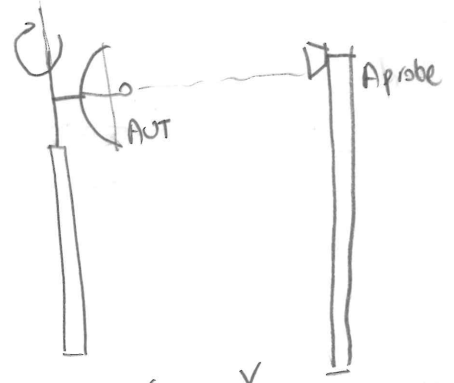
Se ho un'antenna non direttiva (AUT) e interferenza da terreno,

- o mette la probe sul massimo di interferenza (int. costruttiva)
- o uso degli assorbitori di campo sul terreno: elementi differenziati con dissipazione. la punta si adatta all'aria e non meno che l'onda perde si attenua



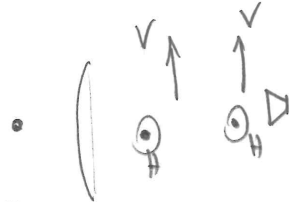
Come si fa la misura?

Si fa ruotare la AUT attorno all'asse del sottopiede, ottenendo $G(\theta)$; ruotando poi attorno all'asse del "paraboloide" si varia θ , e, riprendendo la misura da θ si ottengono vari tagli.



NOTA: quando si ruota θ , lo si deve fare per entrambe le antenne; altrimenti, ho disaccoppiamento di polarizzazione!

Nota: si possono far misure di copolarizzazione e di crosspolarizzazione:



Se entrambe le antenne son Verticali, quando faccio ruotare il θ della AUT, misura con copol. H.

Ver	Ver	copol H
Ver	Horiz.	crosspol H
Hor	Ver	Xpol E
Hor	Hor	copol E

$$\Rightarrow F(\theta, \theta) = F_H(\theta) \cos^2 \theta + F_E(\theta) \sin^2 \theta$$

slant range: invece che il "elevated range", una soluzione è lo slant range; range obliqua.



Il grande vantaggio di ciò è che la misura sul terreno è trascurabile, perché il sistema antenna+immagine è molto vicino, quindi la "schiera" troppo poco direttiva.

Questo si fa soprattutto per motivi economici ed edilizi: meglio costruire 1 torre che 2.

Misure di guadagno

L'equazione di Friis ha una forma del tipo:

$$P_r = P_t + G_T + G_R - d_s \quad G_T = G_T(\theta)$$

Si ha:

$G_T = g_T(\theta) - G_0$ e a noi serve misurare G_0 .
proponiamo alcuni metodi per farlo.

Metodo di sostituzione

Posizionata l'antenna sul massimo si ha: (situazione 1)

$$P_{r1} = P_t + G_{max} + G_s - d_s$$

Sit. 2: sostituisco la LUT con un'antenna nota

$$G_0 P_{r2} = P_t + G_s + G_R - d_s \Rightarrow P_{r1} = P_{r2}$$

$$\rightarrow P_{r1} - G_{max} - G_s + d_s = P_{r2} - G_s - G_R + d_s \rightarrow G_{max} = (P_{r1} - P_{r2}) + G_R$$

Metodo delle 2 antenne

Se non si aveva una terza antenna a disposizione, si considerino 2 antenne uguali:

$$P_{r1} = P_t + 2G - d_s - d_c \rightarrow \text{alt. dei cavi. (Sit. 1)}$$

Si collegano (sit. 2) i cavi tra loro:

$$P_{r2} = P_t - d_c$$

$$\hookrightarrow P_{r1} - P_{r2} = 2G_s - d_s \rightarrow G_s = \frac{1}{2}(P_{r1} - P_{r2}) + d_s \quad (\text{deve essere } > 0)$$

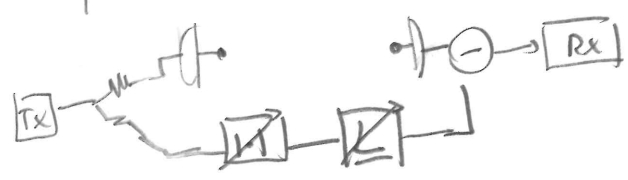
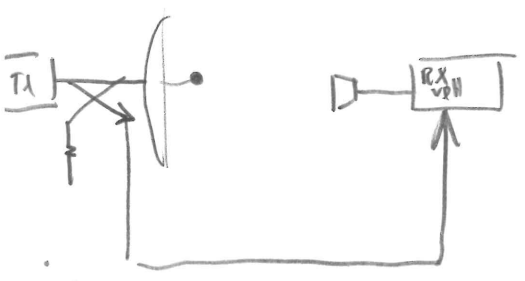
Trucco: non avendo 2 antenne a disposizione, si usi un'antenna + la sua immagine!

$$\Delta r = \frac{G\lambda}{8\pi h} \quad \text{tutto noto tranne } G, \Delta r \text{ filtrato nel tempo.}$$

Misure di fase

Per far le misure di fase si possono usare ricevitori vettoriali; non va però, avere una fase di riferimento; questa si prende con un coupler; ciò è utile, per trovare il centro di fase.

Metodo alternativo: canale di riferimento con sfasatore e attenuatore; si fa la differenza tra i 2 segnali e, quando la si annulla, la fase è quella misurata!



Misure di polarizzazione

Dato un voltmetro vettoriale, con 1 conde di riferimento e 2 ricontori, si misurano in modo e for lo 2, e questo porta all'ellisse di polarizzazione.

Alternativa: spinning dipole!

Un dipolo ha buona pol. lineare; si usa una sonda a dipolo rotante: il dipolo ha buona pol. lineare e così si misura il campo.

Questa è ellittica; se i semiasse coincidono, circolare; se un semiasse è 0, lineare.



Misure al chiuso

Camere anecoiche; pieno di coni \wedge di poliuretano espanso, con all'interno (verso la punta) solo poliuretano, poi andando in giù sempre più grufato (per adattare, quindi evitare riflessioni).

$$\sqrt{\epsilon_r} \approx 1.012 \rightarrow \Gamma \approx -0.1 = -20 \text{ dB}$$

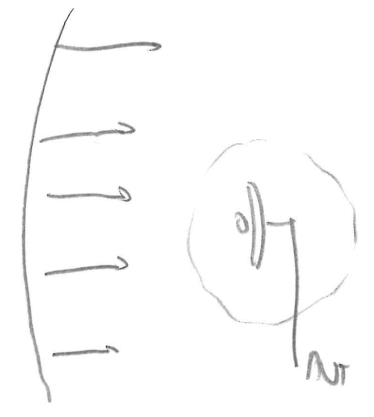
Mq, la camera anecoica può aver picchi: risolve le riflessioni, restano altri problemi!

Metodi del campo range

Idea: far field = onde piane; abbiamo mostrato alla AUT un'onda piana!

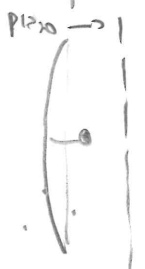
Ciò si fa usando un paraboloide 3-4 volte più grande della AUT: ciò evita di far avere distorsione ai bordi o errore di fase.

Per lo scattering dai bordi, si possono o fare delle serrations (zigzagature), o dei rolling edges; ogni si usano serrations FITTE.



NFFF: Near Field for Field

È un metodo basato sul th. di eq: si consideri un piano e, invece di far ipotesi sul campo che vi è sopra, lo si misuri! Nota il campo sul piano si applica il th. di equivalenza, si fa insieme a \mathbb{Z} surr. Si fa una griglia su questo piano, si determinano i valori del modulo del campo. Passi di $\lambda/4$ non bene.



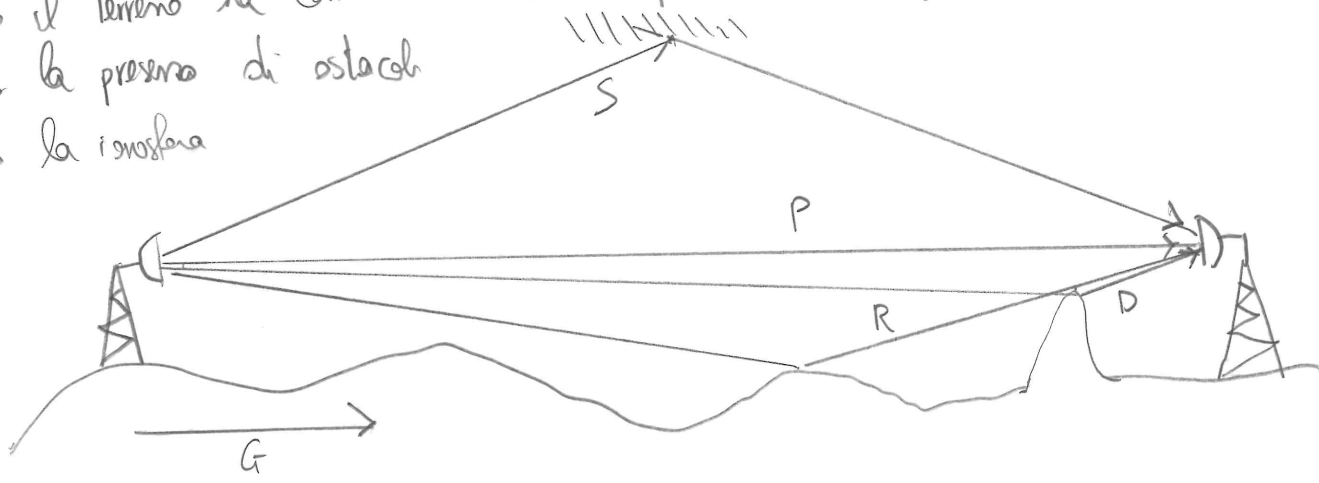
Estensione: farlo anche "dritto", e usare coordinate polari. La sonda ha pol. lineare: faccio 2 misure, e trovo pol. E e A. Centri di rotazione di sonda e AUT devono coincidere: segno delle sorgenti costante.



Propagazione delle onde elettromagnetiche

Quando del campo si propaga da un'antenna a un'altra, le condizioni sono estremamente variabili:

- l'indice di rifrazione n varia col clima
- il terreno ha conducibilità e ϵ_r che dipende dalla stagione, dal clima...
- la presenza di ostacoli
- la ionosfera



Ci sono 5 contributi fondamentali:

- P: campo primario
- R: campo riflesso sul terreno
- D: campo diffratto (scattered) da ostacoli
- G: onda di terra
- S: sky wave (onda di cielo): ionosfera

Analizziamo i contributi nel dettaglio.

Campo diretto

È il campo che vi sarebbe se le antenne fossero nello spazio libero. È il contributo principale, quando le antenne sono in vista ottica. È il contributo della formula di Friis:

$$\frac{P_r}{P_t} = \frac{\lambda^2 G_r G_t}{(4\pi D)^2} \quad \text{ricordando che } G = \frac{4\pi}{\lambda^2} A \Rightarrow \frac{P_r}{P_t} = \frac{\lambda^2 \left(\frac{4\pi}{\lambda^2}\right)^2 A_r A_t}{(4\pi D)^2} = \frac{A_r A_t}{(D \lambda)^2}$$

Spesso questa si mostra in dB.

Altra formula FONDAMENTALE: come noto,

$$|E| = \frac{IEI^2}{z_0}; \quad |E| = \frac{P_t G_t}{4\pi R^2}; \quad z_0 = 120\pi$$

Si vede che, $P_t \uparrow \rightarrow$ aumenta, λ decresce, P_r aumenta!

$$\hookrightarrow |E| = \sqrt{z_0 |S|} = \sqrt{\frac{P_t G_t z_0}{4\pi R^2}} \approx 5.5 \sqrt{\frac{P_t G_t}{R}} \quad \left(\text{formule che valgono in far field} \right)$$

dove si definisce ERP (Equivalent Isotropic Radiated Power) la:

$$ERP = P_T \times G_T$$

la potenza che il radiatore isotropico dovrebbe avere per generare lo stesso campo nello spazio.

ERP: Effective Radiated Power: ERP-2 dB: è la potenza irradiata da un dipolo a mezz'onda, per aver campo uguale (il dipolo mezz'onda ha Gx2,1dB).

Campo riflesso.

Come detto i contributi di campo ricevuti sono moltiplici: c'è l'onda riflessa, l'onda diretta, etc. Si ha:

$$\frac{E}{E_0} \approx \underbrace{1}_{\text{onda primaria}} + \underbrace{R \exp(j\Delta)}_{\text{onda riflessa}} + \underbrace{(1-R) \exp(j\Delta)}_{\text{onda di terra}}$$

- R = coeff. di riflessione (Γ)
- A: attenuazione dell'onda superficiale
- Δ : differenza di fase tra i cammini di onda diretta e riflessa.

R (o Γ che sia) è dipendente dai coefficienti di Fresnel: il problema è di incidenza obliqua, quindi, se l'incidenza è radente ($\theta \approx 90^\circ$), $\Gamma \approx 1$.
 Se $\Gamma \approx 1$, l'onda di terra è trascurabile.



Studiamo la geometria del problema:

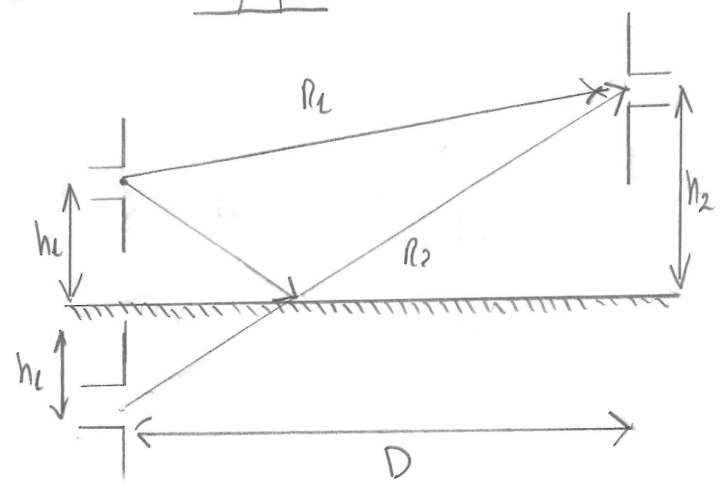
si ha:

$$R_1 = \sqrt{D^2 + (h_2 - h_1)^2} = D \sqrt{1 + \frac{(h_2 - h_1)^2}{D^2}}$$

$$R_2 = \sqrt{D^2 + (h_2 + h_1)^2} = D \sqrt{1 + \frac{(h_2 + h_1)^2}{D^2}}$$

$$\hookrightarrow R_1 - R_2 = D \left[\sqrt{1 + \left(\frac{h_2 - h_1}{D}\right)^2} - \sqrt{1 + \left(\frac{h_2 + h_1}{D}\right)^2} \right] \quad \sqrt{1+x} \approx 1 + \frac{x}{2}$$

$$\hookrightarrow \approx D \left[\left(1 + \frac{1}{2} \left(\frac{h_2 - h_1}{D}\right)^2 \right) - \left(1 + \frac{1}{2} \left(\frac{h_2 + h_1}{D}\right)^2 \right) \right] = \frac{1}{2} D \frac{4 h_1 h_2}{D^2} = \frac{2 h_1 h_2}{D} = \Delta$$



Il campo totale è:

$$E_{\text{totale}} = E_{\text{primario}} + E_{\text{riflesso}} = E_{\text{primario}} \left(1 + \frac{E_{\text{riflesso}}}{E_{\text{primario}}} \right) \approx E_{\text{primario}} \left(1 + \Gamma \exp(-jk\Delta) \right) =$$

dove, dai grafici, $\Gamma = -1$

$$\hookrightarrow = \exp(-jk\frac{\Delta}{2}) E_{\text{primario}} \left[\exp(jk\frac{\Delta}{2}) - \exp(-jk\frac{\Delta}{2}) \right] = 2 E_{\text{primario}} \exp(-jk\frac{\Delta}{2}) \sin\left(k\frac{\Delta}{2}\right) =$$

$K = \frac{2\pi}{\lambda}$; $E_{primario} = S_{iS} \frac{\sqrt{P_T G_T}}{D}$

$E_{Totale} = S_{iS} \frac{\sqrt{P_T G_T}}{D} 2 \sin\left(\frac{2\pi h_1 h_2}{\lambda D}\right)$

dove talvolta il seno è approssimabile con l'argomento.

NOTA IMPORTANTE: se approssimo il seno, \Rightarrow

$\frac{P_R}{P_T} = \frac{G_T G_R \lambda^2}{(4\pi R)^2}$ di solito; OR:

$E_{totale} \approx S_{iS} \frac{\sqrt{P_T G_T}}{D^2} \frac{4 h_1 h_2 \pi}{\lambda}$

$\frac{P_R}{P_T} \propto G_T G_R \frac{\lambda^2}{(4\pi)^2 R^4} \left(\frac{4\pi h_1 h_2}{\lambda R}\right)^2$
 $\propto R^{-4}$ (modello pessimistico) che non conta lo scattering laterale.

\Rightarrow \hookrightarrow D deve di decrescere!

Come mai? Colpa del seno: il campo varia di intensità a causa del seno dell'deviazione, che lo variare l'interferenza. Scegliendo un h idoneo, però, posso aumentare la potenza, scegliendo un punto in cui il campo ha interferenza costruttiva.

L'int. costruttiva c'è per il massimo del seno: $\sin(x) = 1, x = \frac{\pi}{2}$

$\hookrightarrow \frac{\pi}{2} = \frac{2 h_1 h_2}{\lambda D} \rightarrow h_2 = \frac{\lambda R}{4 h_1}$

Nota: se un'antenna è vicina a terra, il modello funziona: si generano infatti delle correnti indotte che irradiano (interessante specie per l'antenna in tx). L'altezza dell'antenna vera: si ha una antenna effettiva (NON efficace!):

$h_{effettiva} = \sqrt{h_0^2 + h^2}$ h_0 ha una formula.

Concetti al ILS

ILS: Instrumental Landing System: si ha un'antenna (di solito dipolo) a 6 metri di altezza, $\lambda \approx 2 \div 3$ m. $h \gg \lambda$, dunque il sistema dipolo + terreno è una schiera con molti gaping

lobes: $A = \sin \frac{\psi}{2}$ $\psi = K d \sin \theta$ $\rightarrow \sin \theta_0 \approx \frac{\lambda}{d} \Rightarrow \theta_0 \approx 10^\circ$
 $d = 12$ m $\lambda = 2$ m

Questo è lo zero più basso; l'aereo deve far in modo tale da "stare nello zero" per atterrare.



Propagazione Troposferica

L'atmosfera terrestre è divisa in vari strati; di questi, la troposfera è quello più basso, dove però quindi l'atmosfera è ricca di gas; ciò nonostante, la propagazione in troposfera ha delle particolarità; a seconda dell'altitudine, i gas sono più o meno rarefatti, quindi l'indice di rifrazione n è non omogeneo.

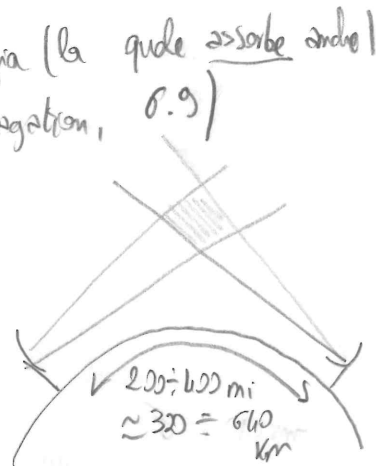
I fenomeni cui le onde elettromagnetiche sono soggette sono in sostanza 3:

- assorbimento
- diffusione da precipitazioni
- rifrazione

L'assorbimento è dovuto all'interazione tra gas e onde; è variabile con f onde se solo sopra i 10 GHz (assorbimento prima da vapore d'acqua, poi da ossigeno) vi sono dei picchi. Questi "picchi" sono tali da attenuare molto il campo: volendo propagare solo in regioni limitate, ciò si potrebbe pure sfruttare, anche se di solito ciò è sventato.

La diffusione (scattering) ha vari contributi: uno può essere la pioggia (la quale assorbe onde, 0.9), uno è il troposcatter (riferimento: Collin - Antennas and radio wave propagation).

Idea: propagare sopra l'orizzonte mediante il seguente trucco: si hanno 2 antenne, non in vista, i cui fasci "overlappano" a una quota di 3-8 km da terra; qui si ha un fenomeno di scattering dovuto a irregolarità/turbolenze, quindi nuvole più dense. Avendo antenne con guadagni elevati, dunque molto grandi, si riesce a captare lo scattering con l'antenna in ricezione.



$f \in [200 \text{ MHz} \div 10 \text{ GHz}]$:

- 200 MHz: se no le antenne sa troppo grossa
- 10 GHz: sopra, le perdite diventano troppo ingenti.

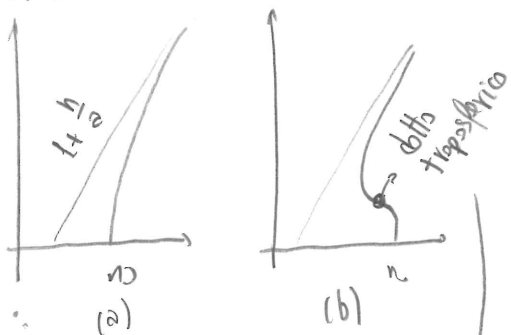
Sopra i 10 km, l'aria è troppo rarefatta per fare scattering non trascurabile.

Altro effetto: la rifrazione da atmosfera. Come accennato, la troposfera ossia l'atmosfera fino a 10 km, è non omogenea: varia con l'altitudine; a basse altitudini si ha più umidità, quindi un n maggiore.

Ciò che si fa è usare un indice di rifrazione modificato con l'altitudine: $n' = n + \frac{h}{4}$

vale la rel.: $\frac{dr}{ds} = \frac{dn'}{dh} \rightarrow \frac{r_1 - r_2}{2} = n(h_1) - n(h_0) \rightarrow ???$

L'andamento di $n(h)$ è iperbolico:



(a) è un caso di condizioni normali di atmosfera e buona umidità. L'effetto è che, poiché (ott. geom.) il raggio tende ad abbassarsi verso la zero e n maggiore, si può considerare un raggio della Terra equivalente $R' = KR, K \approx \frac{4}{3}, R = 6380 \text{ km}$.

(b): superrefrazione: a causa di una forte umidità al suolo o di afflussi di masse d'aria fredda che sfilano dal suolo l'aria calda, n' cambia di segno, e le normali al fronte d'onda sono molto incurvate.

onde VHF e UHF non propagano a lunghissima distanza: parte dell'onda diventa cilindrica e si attenua meno.

Propagazione ionosferica

La parte superiore della atmosfera, quella con molto gas rarefatto, ha più probabilità di essere ionizzata: meno particelle, meno "incontri", dunque meno possibilità di ricombinazione di elettroni o ioni. Uno ione ha carica eguale e opposta all'elettrone, ma massa pari a quella del nucleo, quindi molto maggiore: nella nostra approssimazione, solo gli elettroni saranno eccitati da una forza tale da farli partecipare alla conduzione!

Considero il bilanciamento delle forze:

$$\underline{F} = m \underline{\ddot{v}} = \underline{J} - \underline{\nu} m \underline{v} \quad \nu \text{ frequenza di collisione}$$

$$\underline{a} = \frac{d\underline{v}}{dt}; \quad \underline{J} = -e \underline{E}; \quad \Rightarrow \quad m \frac{d\underline{v}}{dt} = -e \underline{E} - \underline{\nu} m \underline{v}$$

$$\xrightarrow{\text{FS}} \quad j m \omega \underline{v}(\omega) = -e \underline{E} - \nu m \underline{v}(\omega) \quad \rightarrow \quad \underline{v}(\omega) [j m \omega + \nu m] = -e \underline{E}$$

Si ha, per l'elettrone in moto, una corrente di convezione \underline{J} : $\rightarrow \underline{v} = \frac{-e \underline{E}}{m(j\omega + \nu)}$

$$\underline{J} = e \underline{v} \Rightarrow N e \underline{v} \quad (N \text{ elettroni})$$

Dall'eq. del rotore:

$$\nabla \times \underline{H} = j \omega \epsilon \underline{E} + \underline{J} = j \omega \epsilon \underline{E} + N e \underline{v} = j \omega \epsilon \underline{E} + N e \frac{-e \underline{E}}{m(j\omega + \nu)}$$

$$\rightarrow \nabla \times \underline{H} = \left[j \omega \epsilon_0 + \frac{N e^2}{m(j\omega + \nu)} \right] \underline{E} = j \omega \tilde{\epsilon}_r \epsilon_0 \underline{E}; \text{ dove!}$$

$$\tilde{\epsilon}_r = \left[1 + \frac{N e^2}{j \omega m \epsilon_0 (j \omega + \nu)} \right] = \left[1 + \frac{N e^2}{m \epsilon_0 (-\omega + j \nu)} \right] = \left[1 - \frac{N_0^2}{m \omega \epsilon_0 (\omega - j \nu)} \right]$$

se definisco $\omega_p^2 \triangleq \frac{N e^2}{m \epsilon_0}$

$$\rightarrow \tilde{\epsilon}_r = \left[1 - \frac{\omega_p^2}{\omega(\omega - j \nu)} \right]$$

ipotesi di plasma freddo: $|\omega| \gg |\nu| \Rightarrow \tilde{\epsilon}_r \approx \left[1 - \frac{\omega_p^2}{\omega^2} \right]$

A queste condizioni, ω_p è:

$$\omega_p^2 = \frac{N e^2}{m \epsilon_0} = \frac{f_p^2}{4 \pi^2} \rightarrow f_p = \sqrt{\frac{4 \pi^2 e^2}{m \epsilon_0} N} \approx 9 \sqrt{N}$$

Cosa capita al plasma, al raggio di ω ?

- per ω molto grande, il plasma si comporta in pratica come lo spazio libero;
- per ω piccole (ma in cui valga ancora l'ipotesi di plasma freddo), ϵ_r diminuisce fino a diventare negativo!

Perché $k = \omega \sqrt{\mu \epsilon} = k_0 \sqrt{\epsilon_r}$, si ha un termine puramente immaginario! Solo attenuativo: ONDA EVANESCENTE.

↳ quanto vale il coefficiente di riflessione?

$\Gamma = \frac{z_2 - z_1}{z_2 + z_1}$ ma, se uno dei 2 è immaginario, si ha: $\frac{z_2 - jz}{z_2 + jz} \Rightarrow$ modulo unitario!

La ionosfera, a questa condizione, è uno specchio!

Nota: ciò non tiene in conto la presenza del campo magnetico terrestre! Se si tiene in conto, la ϵ della ionosfera diventerebbe dia-dica, $\underline{\epsilon}$, introducendo anisotropie. Un'onda piana si scomporrebbe in 2 modi: "onda ordinaria" o "onda straordinaria", che generano interferenze, fading (onde α p circolari, con rotazione, v_f diverse/opposte) \Rightarrow effetto Faraday

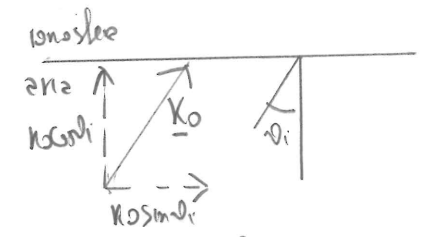
Nota: la ionosfera non è un "passaggio brusco", dunque ω_p non è costante! Esistono vari strati di ionosfera, che dipendono dall'altitudine z . A seconda dell'altitudine l'aria è più o meno rarefatta, quindi variano N e ν .

Ci son strati F₁, E₁, D₁; F è in F₁/F₂, e son quelli più alti; E è poco più basso; D è lo strato più basso, ed è quindi quello con minore interazione con la radiazione solare: qui molte le collisioni sono frequenti! $\nu \approx \omega$: D è uno strato di plasma caldo.

$\tilde{\epsilon}_{ricordo} = 1 - \frac{\omega_p^2}{\omega(\omega - j\nu)}$ e, se $\nu > \omega$, $\frac{\omega_p^2}{-j\omega\nu}$ sia attenuazione, sia propagazione! $k \in \mathbb{C}$.

L'incidenza sulla ionosfera sarà obliqua; si può approssimare a brusca la ds: contributo, e dire che:

$\begin{cases} k_{to} = k_0 \sin \vartheta_i \\ k_{zs} = k_0 \cos \vartheta_i \end{cases}$



per le condizioni al contorno,

$k_{to} = k_{tl}$

A noi non interessa propagare nel plasma, ma riflettere: $k_{zr} = \emptyset$!

$\hookrightarrow k_{zr} = \emptyset \Rightarrow k_{tl} = k_{tr} = k_0 \sin \vartheta_i = k_0 \sqrt{\epsilon_r}$

devo al quadrato e ho:

$\sin^2 \vartheta_i = 1 - \frac{\omega_p^2}{\omega^2} \rightarrow \frac{\omega_p^2}{\omega^2} = \cos^2 \vartheta_i \Rightarrow$

Questa è la max. freq. che posso usare per incidere obliquamente e riflettere! ≈ 2 MHz.
 Nota: non posso "andare troppo vicino", perché per incidenza normale tocca la ionosfera!
 $\omega = \omega_p \sec(\vartheta_i)$
 (MUF)

Onda di terra

L'onda di terra nasce dalla situazione "antenne a un'altezza h dal suolo piccolo rispetto λ ". Dal momento che, inoltre, il terreno non è un PEC, parte dell'energia è trasmessa al terreno e vi si propaga. Si tratta di un'onda cilindrica ($\frac{1}{\sqrt{r}}$), o si mantiene per distanze brevi (dalle alla ionosfera, solo per distanze lunghe).

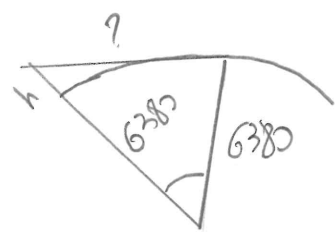
Il fattore di attenuazione dipende da: frequenza, terreno polarizzazione.

$\rightarrow R = \frac{\sin \theta - z}{\sin \theta + z} \rightarrow$ il Γ del terreno.

Per sfruttare questo, servono grafici di progetto (4.13): a seconda di f , si può con essi fare un link budget, con $P_{tx} = 1kW = 60dBm$. L'antenna è un monopolo (l'unica: se non le antenne/lengths non esagerate).

Formula "dell'orizzonte".

Come si può valutare la distanza dell'orizzonte? Si ha un triangolo di questo tipo:



Collegamento su terra sferica

Il problema della propagazione su terra sferica è non banale: si deve anche tener conto degli effetti di diffrazione da sfere. La diffrazione permette la propagazione del campo anche senza la condizione di vista ottica, a patto di conoscere l'attenuazione!



Quando le altezze sono sotto un certo limite, il grafico non si può più usare (4.15), e se ne deve usare un altro: (4.16). 4.16 è "indipendente" dall'altezza delle antenne, ma bisogna conoscere gli orizzonti! 3 distanze: da A_1 all'orizzonte, da A_2 all'orizzonte, e la

distanza tra i 2 orizzonti.

$d_{horizon} = \sqrt{2 \times R_{terra} \times h_{antenna}}$

Diffrazione - Teoria di Fresnel

Si immagini di trovarsi in vista ottica, ma in una città; l'ambiente urbano è ricco di ostacoli. La vista ottica non è una condizione sufficiente per non avere perdite a causa della presenza di elementi diffrangenti.

Il fatto che un ostacolo sia effettivamente "fastidioso", si determina studiando le zone di Fresnel.

Gli ellissoidi di Fresnel sono i luoghi dei punti per cui la somma delle distanze dai fuochi, più multipli di $\lambda/2$, son costanti:

$$R_1 + R_2 = R + m \frac{\lambda}{2}$$

Se vi son ostacoli nell'ellissoide con $m=1$, allora vi sono problemi.

Determiniamo il raggio di un ellissoide di Fresnel:

b.

$$\left(\frac{D}{2} + \frac{\lambda}{4}\right)^2 = \left(\frac{D}{2}\right)^2 + b^2$$

$$\hookrightarrow \left(\frac{D}{2}\right)^2 + \left(\frac{\lambda}{4}\right)^2 + 2 \frac{D}{2} \frac{\lambda}{4} = \left(\frac{D}{2}\right)^2 + b^2$$

se $\lambda^2 \approx \phi$

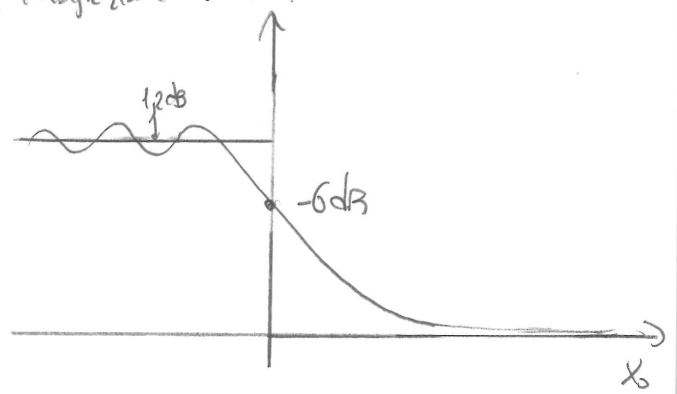
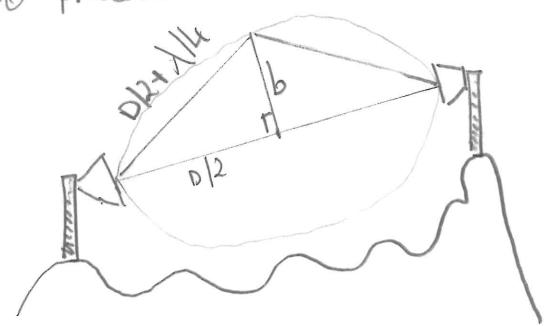
$$b^2 \approx \frac{D\lambda}{4} \rightarrow b \approx \frac{\sqrt{\lambda D}}{2}$$

Cosa capita?

- se l'ostacolo è fuori del 1° ellissoide di Fresnel, tutto bene;
- se l'ostacolo è esattamente sulla congiungente, ho 6 dB di attenuazione: è (per il th. di equivalenza), mettere qualcosa (una sup. metallica) che "dimena le onde", riduce di 6 dB la potenza, perché l'intervallo di integrazione è di fatto dimezzato.

Considerando x_0 la posizione dell'ostacolo rispetto alla congiungente ($x_0 < 0$: ostacolo non in vista ottica), si ha così: si pensa di aver uno step, ma non è così.

Le oscillazioni sono dovute al contributo di diffrazione interferente: questo si ha se l'ostacolo è nella prima zona di Fresnel.



L'intervallo per cui la fase è stazionaria, si dimostra è proprio la prima zona di Fresnel; modificando il campo qui, si modifica violentemente l'integrale. Le oscillazioni sono interpretabili con la diffrazione ai bordi: gli effetti del II° ordine.

Diffrazione da spigolo vno

Per $x \rightarrow x_0$, come si può vedere dai diagrammi, $L \rightarrow 6 \text{ dB}$. (4.18)

d_2 è la distanza minore tra ostacolo e una delle 2 antenne.

"h": la clearance! "x0"!

Data configurazione simmetrica, si deve tener conto di diff. multiple.

Per studiare la copertura esistono in realtà grafici del CIR (4.20), che permettono di determinare il campo a una certa distanza nel 50% dei casi.

Sh : ripple del terreno, scartando il 10% di più alti e più bassi (dei "relief tabulati"). Maggiore è Sh , più ostacoli ha proprio il.

Li sui grafici con curve.

Complementi

Metodo di fase stazionaria

Prima di tutto, definiamo l'obiettivo: stimare integrali del tipo:

$$\int_a^b A(x) \exp(j\phi(x)) dx$$

Nella letteratura, si parla di "valutazione asintotica", dal momento che la forma è del tipo:

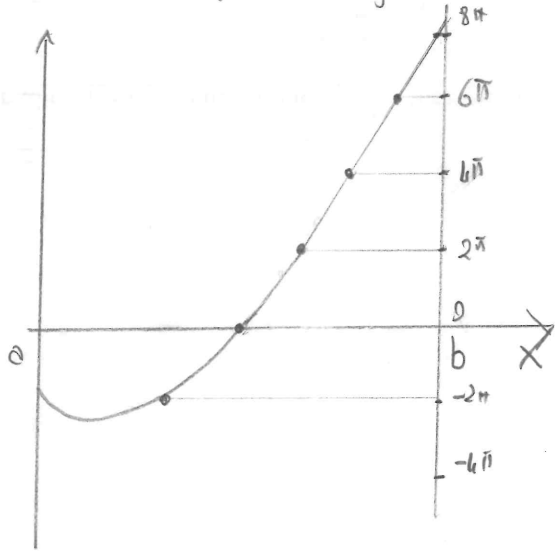
$$I(k) = \int_a^b A(x) \exp(jk\phi(x)) dx, \quad k \in \mathbb{R}, \quad k \rightarrow \infty$$

↳ questi sono i problemi che ci interessano. Ciò deriva, per esempio, dalle espressioni per il calcolo del campo irradiato.

Se $k \rightarrow \infty$, si ha la seguente situazione:

- $k\phi(x)$, dunque la fase, varia molto rapidamente
 - $A(x)$ varia lentamente.
- Quando $k = \frac{2\pi f}{c}$, queste ipotesi sono ragionevoli.

Si consideri un andamento della fase in questo intervallo, di questo tipo: si hanno 2 tipi di andamenti: o punti stazionari per la fase (derivata nulla), o andamenti lineari.



Dalla linearità dell'integrale, posso suddividere l'intervallo di integrazione in diversi contributi, per esempio su multipli di 2π

Per un certo sottointervallo $[x_1, x_2]$, si ha $\phi(x) \approx d(x-x_1)$, $d = \frac{2\pi}{x_2-x_1}$

Procediamo: introduciamo un cambio di variabile: $\psi = d(x-x_1)$, così che per:

$$dx = \frac{1}{d} d\psi$$

↳ l'integrale diventa $\frac{1}{d} \int_0^{2\pi} \exp(j\psi) d\psi = \phi$

Dove la fase è lineare, si non tanti vettori, che finiscono per tornare al punto di partenza: ove la fase è lineare, il contributo all'integrale è nullo.

Ora studiamo la seconda situazione: un punto a fase stazionaria.

Se la fase è stazionaria, per studiarne il comportamento approssimato, dobbiamo fare uno sviluppo di Taylor al 1° ordine (infatti la stazionarietà implica $f' = 0$!).

Dato x_s il punto stazionario per la fase,

$$\varphi(x) \sim \beta(x-x_s)^2$$

$$\hookrightarrow \int_{x_n}^{x_{n+1}} \exp(i\beta(x-x_s)^2) dx \quad \text{ponendo } x-x_s = \xi, \quad dx = d\xi, \quad \text{e si ha:}$$

$$\hookrightarrow \int_{\xi_n}^{\xi_{n+1}} \exp(i\beta\xi^2) d\xi \quad \xrightarrow{\text{Torno a } x \text{ per bellezza}} \quad = \int_{x_n}^{x_{n+1}} \exp(i\beta x^2) dx$$

Ora, si immagini che l'approssimazione valga da $-\infty$ a $+\infty$: gli altri contributi di fase sono trascurabili. Si può estendere l'integrazione a:

$$\Rightarrow \int_{-\infty}^{+\infty} \exp(i\beta x^2) dx$$

Modifico la forma di questo:

$$= 2 \int_0^{\infty} \exp(i\beta x^2) dx = 2 \lim_{x \rightarrow \infty} \int_0^x \exp(i\beta t^2) dt = 2 \lim_{x \rightarrow \infty} \int_0^x [\cos(\beta t^2) + j \sin(\beta t^2)] dt$$

Essendo x grande ciò si può approssimare con gli integrali di Fresnel; le funzioni integrali tendono comunque a raggiungere il regime con una certa rapidità.

Interpretiamo fisicamente tutto ciò: i contributi principali all'integrale sono quelli in cui la fase è stazionaria.

D'altra parte, si sa che l'integrale di irradiazione è interpretabile con il principio di

Huygens-Fresnel: lavorando sull'integrale di irradiazione però si vede che il punto di stazionarietà è dove c'è la normale della superficie, il punto da cui passa il raggio: il contributo di ottica geometrica.

Domande: cosa accade in a e b ? Si parla di "punti di stazionarietà del II° ordine": generano campo ma non come quello di ottica geometrica, bensì di scattering.

Metodo dei Momenti

Si consideri di dover risolvere il seguente problema:

$$Lf = g \quad \text{dove } g \text{ è un termine noto, } f \text{ un'incognita, } L \text{ un operatore lineare.}$$

Per esempio:

$$L = \nabla \times \nabla \times E - k^2 E = \square J$$

Idea: data la funzione f incognita, la esprime in una base di funzioni ad-hoc (a seconda del problema):

$$f \approx \sum_{n=1}^N a_n f_n \quad \xrightarrow{\text{per la linearità}} \quad \sum_{n=1}^N a_n Lf_n = g$$

Si introduce ora un altro set di funzioni, detto "funzioni peso", w_m , e si fa ciò: per ogni "m" (quanti m servono è da vedersi).

$$\langle w_m | \sum_{n=1}^N a_n f_n \rangle = \langle w_m | g \rangle \quad \forall m \in 1; M$$

Se $M=N$ ho tante equazioni quante bastano.

$$\begin{bmatrix} \langle w_1 | Lf_1 \rangle & \langle w_1 | Lf_2 \rangle \\ \langle w_2 | Lf_1 \rangle & \dots \end{bmatrix} \begin{bmatrix} a_1 \\ a_2 \\ \vdots \end{bmatrix} = \begin{bmatrix} \langle w_1 | g \rangle \\ \langle w_2 | g \rangle \\ \vdots \end{bmatrix}$$

Per i campi elettromagnetici, si ha per esempio lo EHE:

$$E(r) = -\gamma \omega \mu \int_{r'} G(r-r') \cdot J_e(r') dr' \quad \text{dove } G(r) = \left[\nabla^2 + \frac{\nabla \nabla}{k_0^2} \right] \phi(r), \quad \phi(r) = \frac{\exp(-jkr)}{r}$$

Ciò che si può fare è analizzare un'antenna a filo queste equazioni, e semplificarle per poi risolvere.

Si limitiamo il dominio a L dimensioni,

$$\rightarrow -j \frac{\omega \mu_0}{k_0^2} \int_0^L \left(k_0^2 + \frac{\partial^2}{\partial z^2} \right) \frac{\exp(-j k_0 |r-r'|)}{|r-r'|} I(z') dz' = -E_z$$

$$\text{dove } |r-r'| = \sqrt{(z-z')^2 + a^2}$$

↓
raggio del filo

Il campo impresso si può vedere come $V \delta(z-z_0)$

$$\hookrightarrow -j \frac{\omega \mu_0}{k_0^2} \int_0^L \left(k_0^2 + \frac{\partial^2}{\partial z^2} \right) \phi(z-z') I(z') dz' = \underbrace{\delta(z-z_0)}_{\hookrightarrow} V$$

generazione di tensione concentrata su una certa sezione.

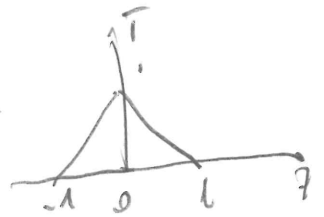
Si divide il filo in un certo numero di tratti più corti, introducendo una matrice di impedenza generalizzata: $\underline{z} \underline{I} = \underline{V}$

Soluzione Galerkin: divide in N sezioni l'intervallo $[0, L]$; considero $I(z)$

espanso come:

$$I(z) \approx \sum_{n=1}^{N-1} I_n T_n(z), \quad T_n(z) = \begin{cases} 1-|u|, & |u| \leq 1 \\ 0, & |u| > 1 \end{cases}$$

$$u = \frac{z}{l} - n$$



$$\hookrightarrow \sum_{n=1}^{N-1} I_n d \left[T \left(\frac{z}{l} - n \right) \right] \approx E_{i,z}(z)$$

$$\hookrightarrow \forall m, \sum_{n=1}^{N-1} I_n d \left[T \left(\frac{z}{l} - n \right) \right] T_m(z) = E_i(z) T_m(z)$$

Si ottiene un'equazione nella forma $\underline{V} = \underline{z} \underline{I}$, dove

$$z_{mn} = \int_0^L T_m(z) d \left[T_n(z) \right] dz$$

$$E_{i,z} = \int_0^L T_m(z) E_{i,z}(z) dz$$

se poi $E_{i,z}(z) = V \delta(z-z_0)$, il secondo integrale è molto semplificato.

$$S_i = \frac{P_T G_T}{4\pi R^2} ; P_{scat} = \sigma S_i ; S_r = \frac{P_{scat} A_r}{4\pi R^2} ; P_r = S_r A_{eq} \quad A_{eq} = \frac{\lambda^2}{4\pi} G_T$$

$$G_T \frac{P_r}{P_T} = \frac{\sigma}{4\pi R^2} P_T G_T \frac{\lambda^2}{4\pi} G_T \frac{1}{4\pi R^2} = \frac{\lambda^2 \sigma G_T^2}{16\pi^3 R^4}$$

Delta p - resolution: $\Delta p = n \frac{2\pi}{\lambda} h - \frac{2\pi}{\lambda} h = 2m\pi$

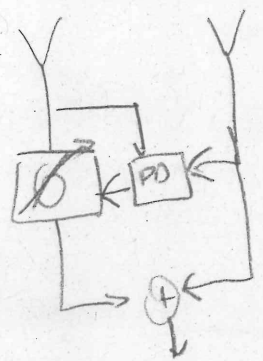
Delta p ble do la diff. v bre sia $\frac{2\pi}{\lambda} \rightarrow h = \frac{\lambda}{n-1}$

$$h \frac{2\pi}{\lambda} n - h \frac{2\pi}{\lambda} = 2m\pi$$

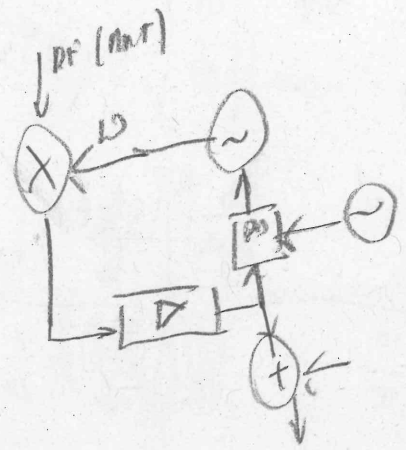
$$j\omega C z_0 = h \omega (m\pi)$$

$$E_{in} = j \frac{z_0}{2\lambda} \frac{\exp(-j\omega t)}{R} I \sin \theta$$

$$E_{out} = -j \frac{z_0}{2\lambda} \frac{\exp(-j\omega t)}{R} I K z_0 A \sin \theta$$



also:



$$\frac{\omega}{2} = \omega \cos \theta \frac{\lambda}{z_0}$$

$$|S_{11}|^2 = \left| \frac{P_r}{P_T} \right| ; P_r = S_r A_r ; \boxed{S_r = S_T = \frac{P_T G_T}{4\pi R^2}} \Rightarrow \Delta r = \left| \frac{\lambda G_T}{4\pi R} \right|^2$$